

การคัดแยกเกรดยางพาราแผ่นรมควันโดยใช้วิธีการประมวลผลด้วยภาพ

**GRADE CLASSIFICATION OF RIBBED SMOKED SHEETS
USING IMAGE PROCESSING**



วรุฒิ กิ่งหัน

วิทยานิพนธ์นี้เป็นส่วนหนึ่งของการศึกษาตามหลักสูตร
ปริญญาวิศวกรรมศาสตรมหาบัณฑิต สาขาวิชาวิศวกรรมเครื่องกล

คณะวิศวกรรมศาสตร์

มหาวิทยาลัยเทคโนโลยีราชมงคลธัญบุรี

ปีการศึกษา 2557

ลิขสิทธิ์ของมหาวิทยาลัยเทคโนโลยีราชมงคลธัญบุรี

การคัดแยกเกรดยางพาราแผ่นรมควันโดยใช้วิธีการประมวลผลด้วยภาพ

วรุฒิ กังหัน



วิทยานิพนธ์นี้เป็นส่วนหนึ่งของการศึกษาตามหลักสูตร
ปริญญาวิศวกรรมศาสตรมหาบัณฑิต สาขาวิชาวิศวกรรมเครื่องกล
คณะวิศวกรรมศาสตร์
มหาวิทยาลัยเทคโนโลยีราชมงคลธัญบุรี
ปีการศึกษา 2557

หัวข้อวิทยานิพนธ์	การตัดแยกกรดขางพาราแผ่นรมควัน โดยใช้วิธีการประมวลผลด้วยภาพ
ชื่อ-นามสกุล	นายวรวิทย์ กังหัน
สาขาวิชา	วิศวกรรมเครื่องกล
อาจารย์ที่ปรึกษา	อาจารย์มนูศักดิ์ จานทอง, Dr.-Ing.
ปีการศึกษา	2557

คณะกรรมการสอบวิทยานิพนธ์

.....ประธาน
กรรมการ (อาจารย์พิพัฒน์ ปราโมทย์, Ph.D.)

..... กรรมการ
(อาจารย์เกียรติศักดิ์ ศรีตระกูลชัย, Ph.D.)

.....กรรมการ
(อาจารย์ปรัชญา เปรมปราณีรัตน์, Ph.D.)

.....กรรมการ
(อาจารย์มนูศักดิ์ จานทอง, Dr.-Ing.)

คณะวิศวกรรมศาสตร์ มหาวิทยาลัยเทคโนโลยีราชมงคลธัญบุรี อนุมัติวิทยานิพนธ์ฉบับนี้
เป็นส่วนหนึ่งของการศึกษาตามหลักสูตรปริญญาโท

.....คณบดีคณะวิศวกรรมศาสตร์
(ผู้ช่วยศาสตราจารย์ศิวกร อ่างทอง, Ph.D.)

วันที่.....เดือน.....พ.ศ.2558

หัวข้อวิทยานิพนธ์	การตัดแยกเกรดยางพาราแผ่นรมควัน โดยใช้วิธีการประมวลผลด้วยภาพ
ชื่อ-นามสกุล	นายวรวิทย์ กังหัน
สาขาวิชา	วิศวกรรมเครื่องกล
อาจารย์ที่ปรึกษา	อาจารย์มนูศักดิ์ จานทอง, Dr.-Ing.
ปีการศึกษา	2557

บทคัดย่อ

ยางพาราถือเป็นพืชเศรษฐกิจที่สำคัญอย่างหนึ่งของประเทศไทย เพื่อให้ได้มาซึ่งผลิตภัณฑ์ที่มีคุณภาพต้องผ่านกระบวนการผลิตในภาคอุตสาหกรรมในหลายขั้นตอน ในปัจจุบันขั้นตอนการตัดแยกเกรดยางพาราโดยไม่มีการนำเทคโนโลยีใดที่จะนำมาใช้ทดแทนผู้เชี่ยวชาญในการแบ่งเกรดยางพาราแผ่นรมควัน ในการตัดแยกโดยใช้สายตาของมนุษย์มีโอกาสดเกิดความผิดพลาดขึ้นได้สูงเนื่องจากช่วงสายตาของมนุษย์ในแต่ละบุคคลไม่เท่ากัน

วิทยานิพนธ์ฉบับนี้เป็นการศึกษาการตัดแยกเกรดมาตรฐานยางพาราแผ่นรมควัน โดยนำเทคนิคการประมวลผลทางภาพมาช่วยในการตัดแยกโดยสกัดสิ่งสกปรกบนแผ่นยางจากภาพ ขั้นตอนแรกภาพแผ่นยางจะถูกเปลี่ยนเป็นภาพระดับสีเทา จำนวน 4 รูปแบบ จากช่องสัญญาณ สีแดง (R) สีเขียว (G) สีน้ำเงิน (B) และ สีเทา (Gray) เพื่อใช้เป็นตัวแทนของสกัดคุณลักษณะเด่น จากนั้นนำภาพระดับสีเทามาผ่านกระบวนการเปลี่ยนเป็นภาพขาวดำเพื่อวิเคราะห์สิ่งสกปรก

การทดลองใช้ภาพยางพาราแผ่นรมควันขนาดกว้าง 46 เซนติเมตร ความยาว 90 เซนติเมตร และความหนา 3 มิลลิเมตร ระดับพิกเซล 591x1141 พิกเซล จำนวน 94 แผ่นในการทดสอบเพื่อตรวจสอบความถูกต้องในการตัดแยกเกรดยางพาราแผ่นรมควัน จากผลการทดลองแสดงให้เห็นว่าที่ภาพที่ถูกแปลงด้วยระดับสี G สามารถตัดเกรดได้ดีที่สุดโดยค่าความถูกต้องคิดเป็นร้อยละของการตัดเกรด ยางแผ่นรมควันชั้น 1 (RSS1) ยางแผ่นรมควันชั้น 2 (RSS2) ยางแผ่นรมควันชั้น 3 (RSS3) ยางแผ่นรมควันชั้น 4 (RSS4) และ ยางแผ่นรมควันชั้น 5 (RSS5) มีค่าเป็น 62.5% 42.86% 31.58% 50% และ 72.73% ตามลำดับ

คำสำคัญ: ประมวลผลด้วยภาพ เกรดยางพาราแผ่นรมควัน สกัดคุณลักษณะเด่น

Thesis Title	Grade Classification of Ribbed Smoked Sheets using Image Processing
Name-Surname	Mr. Worawut Kunghun
Program	Mechanical Engineering
Thesis Advisor	Mr. Manusak Janthong, Dr.-Ing.
Academic Year	2014

ABSTRACT

The rubber is considered to be one important economic plant of Thailand. To achieve high quality product, it needs to follow through many steps of production process in the industrial sector. Nowadays, the classification procedure of rubber grades does not have any technology that can replace specialists for classifying rubber smoked sheets (RSS). Classification by human eye is prone to high chance of errors because of the fluctuation of eyesight of specialists.

The objective of the thesis is to study the classification of ribbed smoked sheets (RSS) by utilizing the image processing technique to extract the feature from the images. In the first step, the image of the ribbed sheet will be turned into the gray-scale image. After that, the gray-scale images obtained from each indexed image (R, G, B and Gray) will be changed to the binary images for analysis of dirt on the ribbed sheet.

In the experimental result, 94 sample images of the ribbed smoked sheets with size of 46-cm width and 90-cm long and 3-mm thick, converted to image with 591 x 1141-pixels, are used for testing the accuracy by percentage of grade classification of ribbed smoked sheets (RSS). The experimental results show that the binary image, transformed from G index, is the best for grade classification and its accuracy of the RSS1, RSS2, RSS3, RSS4 and RSS5 grades are 62.5%, 42.86%, 31.58%, 50% and 72.73%, respectively.

Keywords: image processing, grades of ribbed smoked sheets, feature extraction

กิตติกรรมประกาศ

วิทยานิพนธ์นี้สำเร็จลุล่วงไปได้ด้วยความช่วยเหลืออย่างยิ่งของ ดร.มนูศักดิ์ จานทอง ซึ่งได้ให้คำปรึกษาแนะนำ และหาแนวทางแก้ปัญหาที่เกิดขึ้นในระหว่างการทำงานวิจัยโดยตลอดผู้วิจัยขอกราบขอบพระคุณอย่างสูง และขอขอบคุณทาง สหกรณ์กองทุนสวนยางอำเภอป่องทอง จำกัด 341 หมู่ 1 ตำบลป่องทอง อำเภอป่องทอง จังหวัดชลบุรี 20270 ที่ช่วยเหลือในด้านการเก็บข้อมูลและทดลองผลรวมถึงสิ่งทีอำนวยความสะดวกระหว่างการปฏิบัติงานวิจัยในแต่ละขั้นตอนเป็นอย่างดี รวมทั้งเพื่อนร่วมงานทุกท่านที่ให้ความช่วยเหลือด้วยดีตลอด ท้ายนี้ผู้วิจัยใคร่ขอกราบขอบ พระคุณ บิคา มารดา ที่สนับสนุนการศึกษาของผู้วิจัย และคอยให้กำลังใจเสมอมาทำให้สามารถฝ่าฟันอุปสรรค นานับประการจนสำเร็จ

วารุณี กังหัน



สารบัญ

	หน้า
บทคัดย่อภาษาไทย.....	(3)
บทคัดย่อภาษาอังกฤษ.....	(4)
กิตติกรรมประกาศ.....	(5)
สารบัญ.....	(6)
สารบัญตาราง.....	(8)
สารบัญภาพ.....	(9)
บทที่ 1 บทนำ.....	13
1.1 ความเป็นมาและความสำคัญของปัญหา.....	13
1.2 วัตถุประสงค์ในการวิจัย.....	15
1.3 ขอบเขตของการวิจัย.....	15
1.4 คำจำกัดความในการวิจัย.....	16
1.5 ประโยชน์ที่คาดว่าจะได้รับ.....	17
บทที่ 2 ทฤษฎีและงานวิจัยที่เกี่ยวข้อง.....	18
2.1 วรรณกรรมที่เกี่ยวข้อง.....	18
2.2 มาตรฐานยางพาราแผ่นรมควัน.....	24
2.3 การประมวลผลภาพ และ image processing toolbox.....	30
2.4 unsharp mask.....	38
2.5 กล้องเว็บแคมที่ใช้สำหรับเก็บภาพในงานวิจัย.....	39
บทที่ 3 วิธีการวิจัยและทดลอง.....	41
3.1 ศึกษาเทคนิคการคัดแยกเกรดยางพาราแผ่นรมควัน.....	41
3.2 สร้างเครื่องมือเพื่อเก็บตัวอย่างยางพาราแผ่นรมควัน.....	43
3.3 การปรับปรุงภาพก่อนนำไปวิเคราะห์.....	44
3.4 สร้างเครื่องมือเพื่อสกัดคุณลักษณะของยางพาราแผ่นรมควัน.....	48
3.5 สกัดคุณลักษณะของยางพาราแผ่นรมควันในแต่ละเกรด.....	50

สารบัญ (ต่อ)

	หน้า
บทที่ 4 ผลการทดลอง	61
4.1 ทดลองเปรียบเทียบสิ่งสกปรกบนแผ่นยางในระดับสี R จำนวน 94 แผ่น	62
4.2 ทดลองเปรียบเทียบสิ่งสกปรกบนแผ่นยางในระดับสี G จำนวน 94 แผ่น	63
4.3 ทดลองเปรียบเทียบสิ่งสกปรกบนแผ่นยางในระดับสี B จำนวน 94 แผ่น	64
4.4 ทดลองเปรียบเทียบสิ่งสกปรกบนแผ่นยางในระดับสี Gray จำนวน 94 แผ่น	65
4.5 เปรียบเทียบค่า ค่าเฉลี่ย และค่าการกระจาย ของสิ่งสกปรกบนแผ่นยางในระดับสี R, G, B และ Gray จำนวน 94 แผ่น	66
4.6 ผลการทดลองใช้โปรแกรมในการแยกเกรดยางพาราแผ่นรมควันทั้งหมด 50 แผ่น	66
4.7 ผลการทดลองใช้โปรแกรมในการแยกเกรดยางพาราแผ่นรมควันทั้งหมด 50 แผ่น โดยได้ จากการสุ่มตัวอย่าง	69
4.8 ผลการทดลองใช้โปรแกรมในการแยกเกรดยางพาราแผ่นรมควันทั้งหมด 68 แผ่น โดยได้ จากการสุ่มตัวอย่างยางพาราเกรด RSS3 จำนวน 38 แผ่น และยางพาราเกรด RSS4 จำนวน 30 แผ่น โดยนำมาปรับปรุงช่วงของสิ่งสกปรกที่ระดับสี G	73
4.9 ผลการทดลองตรวจสอบความใสบนแผ่นยางของเกรด RSS1, RSS2, RSS3, RSS4 และ RSS5	73
บทที่ 5 สรุปผลงานวิจัยและข้อเสนอแนะ	82
5.1 สรุปผลงานวิจัย	82
5.2 ข้อเสนอแนะ	83
บรรณานุกรม	85
ภาคผนวก	87
ภาคผนวก ก ตัวอย่างยางพาราแผ่นรมควันจำนวน 94 แผ่นสำหรับการวิเคราะห์	88
ภาคผนวก ข แบบเครื่องมือเก็บภาพระบบปิดสำหรับงานวิจัย	102
ภาคผนวก ค ผลสิ่งสกปรกที่สกัดจากยางพาราแผ่นรมควันตัวอย่าง 94 แผ่น	111
ภาคผนวก ง ผลงานตีพิมพ์เผยแพร่	114
ประวัติผู้เขียน	130

สารบัญตาราง

	หน้า
ตารางที่ 2.1	มาตรฐานยางแผ่นรมควันชั้น 1 - 3 (ไม่อัดก้อน) 29
ตารางที่ 3.1	จำนวนภาพตัวอย่างยางพาราแผ่นรมควัน RSS1, RSS2, RSS3, RSS4 และ RSS5 สำหรับการใช้ในการวิเคราะห์ 52
ตารางที่ 4.1	สรุปผลการวิเคราะห์พื้นที่สกรปรกของแผ่นยางจำนวน 94 แผ่นของระดับสี R 62
ตารางที่ 4.2	สรุปผลการวิเคราะห์พื้นที่สกรปรกของแผ่นยางจำนวน 94 แผ่นของระดับสี G 63
ตารางที่ 4.3	สรุปผลการวิเคราะห์พื้นที่สกรปรกของแผ่นยางจำนวน 94 แผ่นของระดับสี B 64
ตารางที่ 4.4	สรุปผลการวิเคราะห์พื้นที่สกรปรกของแผ่นยางจำนวน 94 แผ่นของระดับสี Gray 65
ตารางที่ 4.5	สรุปเปรียบเทียบค่า ค่าเฉลี่ย และค่าการกระจาย ของสิ่งสกรปรกบนแผ่นยาง ในระดับสี R, G, B และ Gray จำนวน 94 แผ่น 66
ตารางที่ 4.6	ผลการทดลองโดยใช้โปรแกรมในการคัดแยกที่ระดับสี R 68
ตารางที่ 4.7	ผลการทดลองโดยใช้โปรแกรมในการคัดแยกที่ระดับสี G 68
ตารางที่ 4.8	ผลการทดลองโดยใช้โปรแกรมในการคัดแยกที่ระดับสี B 69
ตารางที่ 4.9	ผลการทดลองโดยใช้โปรแกรมในการคัดแยกที่ระดับสี Gray 69
ตารางที่ 4.10	ผลการทดลองโดยใช้โปรแกรมในการคัดแยกที่ระดับสี R 71
ตารางที่ 4.11	ผลการทดลองโดยใช้โปรแกรมในการคัดแยกที่ระดับสี G 71
ตารางที่ 4.12	ผลการทดลองโดยใช้โปรแกรมในการคัดแยกที่ระดับสี B 72
ตารางที่ 4.13	ผลการทดลองโดยใช้โปรแกรมในการคัดแยกที่ระดับสี Gray 72
ตารางที่ 4.14	ผลการทดลองโดยใช้โปรแกรมในการคัดแยกที่ระดับสี G โดยมีการปรับปรุง ช่องของ สิ่งสกรปรก..... 73

สารบัญภาพ

	หน้า
ภาพที่ 1.1 ตัวอย่างยางพาราแผ่นรมควัน RSS 1 ,RSS 2 , RSS 3, RSS 4 และ RSS 5	13
ภาพที่ 1.2 กระบวนการผลิตยางแผ่น	14
ภาพที่ 1.3 กระบวนการแยกยางพาราแผ่นรมควันโดยใช้กำลังคน.....	14
ภาพที่ 2.1 ส่วนประกอบของเครื่องคัดขนาดมาตรฐานสับประรด.....	19
ภาพที่ 2.2 แสดงขั้นตอนในการสกัดคุณลักษณะจากภาพ.....	20
ภาพที่ 2.3 ขั้นตอนการพัฒนาโปรแกรม	21
ภาพที่ 2.4 การวิเคราะห์ระบบ.....	22
ภาพที่ 2.5 แสดงขั้นตอนของการจำแนกลักษณะพิเศษเฉพาะของภาพพระเครื่อง.....	23
ภาพที่ 2.6 โครงสร้างของการจำแนกชนิดพระเครื่อง	25
ภาพที่ 2.7 แสดงภาพยางแผ่นรมควัน	24
ภาพที่ 2.8 กระบวนการผลิตยางแผ่นรมควัน	25
ภาพที่ 2.9 ตัวอย่างยางแผ่นรมควันชั้น 1.....	26
ภาพที่ 2.10 ตัวอย่างยางแผ่นรมควันชั้น 2.....	27
ภาพที่ 2.11 ตัวอย่างยางแผ่นรมควันชั้น 3.....	27
ภาพที่ 2.12 ตัวอย่างยางแผ่นรมควันชั้น 4.....	28
ภาพที่ 2.13 ตัวอย่างยางแผ่นรมควันชั้น 5.....	28
ภาพที่ 2.14 การมองเห็นสีของวัตถุจากตา	30
ภาพที่ 2.15 การผสมสีแบบบวก	31
ภาพที่ 2.16 สีปฐมภูมิแบบลบ.....	32
ภาพที่ 2.17 ลักษณะค่าในแต่ละจุดภาพของภาพระดับสีเทา.....	33
ภาพที่ 2.18 Pixel coordinate.....	34
ภาพที่ 2.19 indexed image	35
ภาพที่ 2.20 RGB image.....	35
ภาพที่ 2.21 intensity image	36
ภาพที่ 2.22 Binary image	36
ภาพที่ 2.23 schema for unsharp masking, (a) original image (b) the image after unsharp masking....	39

สารบัญภาพ (ต่อ)

	หน้า
ภาพที่ 2.24 กล้องเว็บแคม logitech HD webcam C310	39
ภาพที่ 3.1 ขนาดแผ่นยางมาตรฐาน กว้าง 38-46 เซนติเมตร และความยาว 80-90 เซนติเมตร	41
ภาพที่ 3.2 ลักษณะยางพาราแผ่นรมควันที่เกิดฟองอากาศ	41
ภาพที่ 3.3 ลักษณะยางพาราแผ่นรมควันที่เกิดรอยไหม้บนยาง	42
ภาพที่ 3.4 ลักษณะยางพาราแผ่นรมควันที่เกิดสิ่งสกปรก เช่น ทราาย เนื้อไม้ อื่นๆ	42
ภาพที่ 3.5 ความใสของยางพาราแผ่นรมควัน	42
ภาพที่ 3.6 ส่วนประกอบ โครงสร้างเครื่องเก็บภาพระบบปิด	43
ภาพที่ 3.7 เครื่องมือเก็บภาพยางพาราแผ่นรมควัน	44
ภาพที่ 3.8 Unsharp mask process	45
ภาพที่ 3.9 ภาพยางพาราแผ่นรมควันก่อนกระบวนการ Gray level	45
ภาพที่ 3.10 ภาพยางพาราแผ่นรมควันหลังกระบวนการ Gray level	46
ภาพที่ 3.11 แสดงการแปลงค่า pixel โดยใช้ความสว่าง (brightness) ในระดับ Gray level ที่เกิดขึ้นในรูปภาพมาแสดงผลในรูปแบบ Matrix	46
ภาพที่ 3.12 ภาพยางพาราแผ่นรมควันก่อนการปรับปรุงกระบวนการ unsharp mask	47
ภาพที่ 3.13 ภาพยางพาราแผ่นรมควันหลังการปรับปรุงกระบวนการ unsharp mask	47
ภาพที่ 3.14 ผังการวิเคราะห์ระบบ	48
ภาพที่ 3.15 การประมวลผลของซอฟต์แวร์	49
ภาพที่ 3.16 สกัดคุณลักษณะของยางพาราแผ่นรมควันในแต่ละเกรด	50
ภาพที่ 3.17 ตัวอย่างยางพาราแผ่นรมควันชั้น 1	50
ภาพที่ 3.18 ตัวอย่างยางพาราแผ่นรมควันชั้น 2	51
ภาพที่ 3.19 ตัวอย่างยางพาราแผ่นรมควันชั้น 3	51
ภาพที่ 3.20 ตัวอย่างยางพาราแผ่นรมควันชั้น 4	51
ภาพที่ 3.21 ตัวอย่างยางพาราแผ่นรมควันชั้น 5	51
ภาพที่ 3.22 ตัวอย่างยางพาราแผ่นรมควัน RSS1, RSS2, RSS3, RSS4 และ RSS5	52
ภาพที่ 3.23 ภาพตัวอย่างยางพาราแผ่นรมควันชั้น 5 ของระดับสี RGB	53
ภาพที่ 3.24 ภาพตัวอย่างยางพาราแผ่นรมควันชั้น 5 ของระดับสี R	53

สารบัญภาพ (ต่อ)

	หน้า
ภาพที่ 3.25 ภาพตัวอย่างยางพาราแผ่นรมควันชั้น 5 ของระดับสี G.....	53
ภาพที่ 3.26 ภาพตัวอย่างยางพาราแผ่นรมควันชั้น 5 ของระดับสี B.....	54
ภาพที่ 3.27 ภาพตัวอย่างยางพาราแผ่นรมควันชั้น 5 ของระดับสี Gray.....	54
ภาพที่ 3.28 ภาพตัวอย่างยางพาราแผ่นรมควันชั้น 5 โดยผ่านการใช้กระบวนการ unsharp mask ของระดับสี RGB	55
ภาพที่ 3.29 ภาพตัวอย่างยางพาราแผ่นรมควันชั้น 5 โดยผ่านการใช้กระบวนการ unsharp mask ของระดับสี R.....	55
ภาพที่ 3.30 ภาพตัวอย่างยางพาราแผ่นรมควันชั้น 5 โดยผ่านการใช้กระบวนการ unsharp mask ของระดับสี G.....	56
ภาพที่ 3.31 ภาพตัวอย่างยางพาราแผ่นรมควันชั้น 5 โดยผ่านการใช้กระบวนการ unsharp mask ของระดับสี B.....	56
ภาพที่ 3.32 ภาพตัวอย่างยางพาราแผ่นรมควันชั้น 5 โดยผ่านการใช้กระบวนการ unsharp mask ของระดับสี Gray.....	57
ภาพที่ 3.33 ภาพตัวอย่างยางพาราแผ่นรมควันชั้น 5	57
ภาพที่ 3.34 ภาพตัวอย่างยางพาราแผ่นรมควันชั้น 5 โดยผ่านการใช้กระบวนการแปลงเป็น ภาพขาวดำของระดับสี R	58
ภาพที่ 3.35 ภาพตัวอย่างยางพาราแผ่นรมควันชั้น 5 โดยผ่านการใช้กระบวนการแปลงเป็น ภาพขาวดำของระดับสี G	58
ภาพที่ 3.36 ภาพตัวอย่างยางพาราแผ่นรมควันชั้น 5 โดยผ่านการใช้กระบวนการแปลงเป็น ภาพขาวดำของระดับสี B	69
ภาพที่ 3.37 ภาพตัวอย่างยางพาราแผ่นรมควันชั้น 5 โดยผ่านการใช้กระบวนการแปลงเป็น ภาพขาวดำของระดับสี Gray	69
ภาพที่ 3.38 เปรียบเทียบจำนวนจุดถึงสกปรก (หน่วยพิกเซล) เป็นพื้นที่ (หน่วยตารางเซนติเมตร).....	60
ภาพที่ 4.2 กราฟผลการวิเคราะห์พื้นที่สกปรกของแผ่นยางเกรด RSS1,RSS2,RSS3,RSS4 และRSS5 จำนวน 94 แผ่นของระดับสี G	63

สารบัญภาพ (ต่อ)

หน้า

ภาพที่ 4.3	กราฟผลการวิเคราะห์พื้นที่สกรปรกของแผ่นยางเกรด RSS1,RSS2,RSS3,RSS4 และRSS5 จำนวน 94 แผ่นของระดับสี B	64
ภาพที่ 4.4	กราฟผลการวิเคราะห์พื้นที่สกรปรกของแผ่นยางเกรด RSS1,RSS2,RSS3,RSS4 และRSS5 จำนวน 94 แผ่นของระดับสี Gray	65
ภาพที่ 4.5	ความเข้มข้นของฮิสโตแกรม (histogram) แทนค่าความใสของยางพาราแผ่นยางเกรด RSS1 จำนวน 8 แผ่นของระดับสี B	74
ภาพที่ 4.6	เฉลี่ยความเข้มข้นของฮิสโตแกรม (histogram) แทนค่าความใสของยางพาราแผ่นยางเกรด RSS1 จำนวน 8 แผ่นของระดับสี B	74
ภาพที่ 4.7	ความเข้มข้นของฮิสโตแกรม (histogram) แทนค่าความใสของยางพาราแผ่นยางเกรด RSS2 จำนวน 7 แผ่นของระดับสี B	75
ภาพที่ 4.8	เฉลี่ยความเข้มข้นของฮิสโตแกรม (histogram) แทนค่าความใสของยางพาราแผ่นยางเกรด RSS2 จำนวน 7 แผ่นของระดับสี B	76
ภาพที่ 4.9	ความเข้มข้นของฮิสโตแกรม (histogram) แทนค่าความใสของยางพาราแผ่นยางเกรด RSS3 จำนวน 38 แผ่นของระดับสี B	77
ภาพที่ 4.10	เฉลี่ยความเข้มข้นของฮิสโตแกรม (histogram) แทนค่าความใสของยางพาราแผ่นยางเกรด RSS3 จำนวน 38 แผ่นของระดับสี B	77
ภาพที่ 4.11	ความเข้มข้นของฮิสโตแกรม (histogram) แทนค่าความใสของยางพาราแผ่นยางเกรด RSS4 จำนวน 30 แผ่นของระดับสี B	78
ภาพที่ 4.12	เฉลี่ยความเข้มข้นของฮิสโตแกรม (histogram) แทนค่าความใสของยางพาราแผ่นยางเกรด RSS4 จำนวน 30 แผ่นของระดับสี B	79
ภาพที่ 4.13	ความเข้มข้นของฮิสโตแกรม (histogram) แทนค่าความใสของยางพาราแผ่นยางเกรด RSS5 จำนวน 11 แผ่นของระดับสี B	80
ภาพที่ 4.13	เฉลี่ยความเข้มข้นของฮิสโตแกรม (histogram) แทนค่าความใสของยางพาราแผ่นยางเกรด RSS5 จำนวน 11 แผ่นของระดับสี B	80

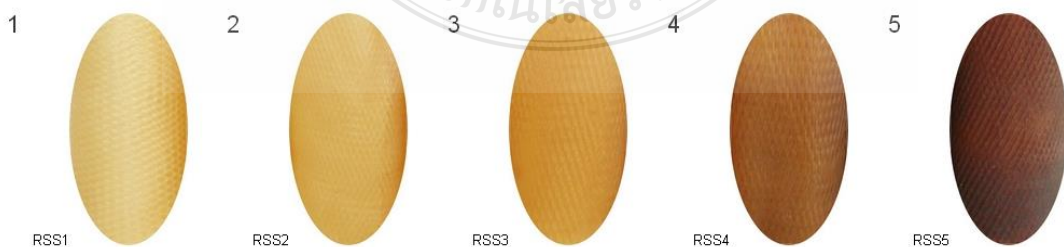
บทที่ 1

บทนำ

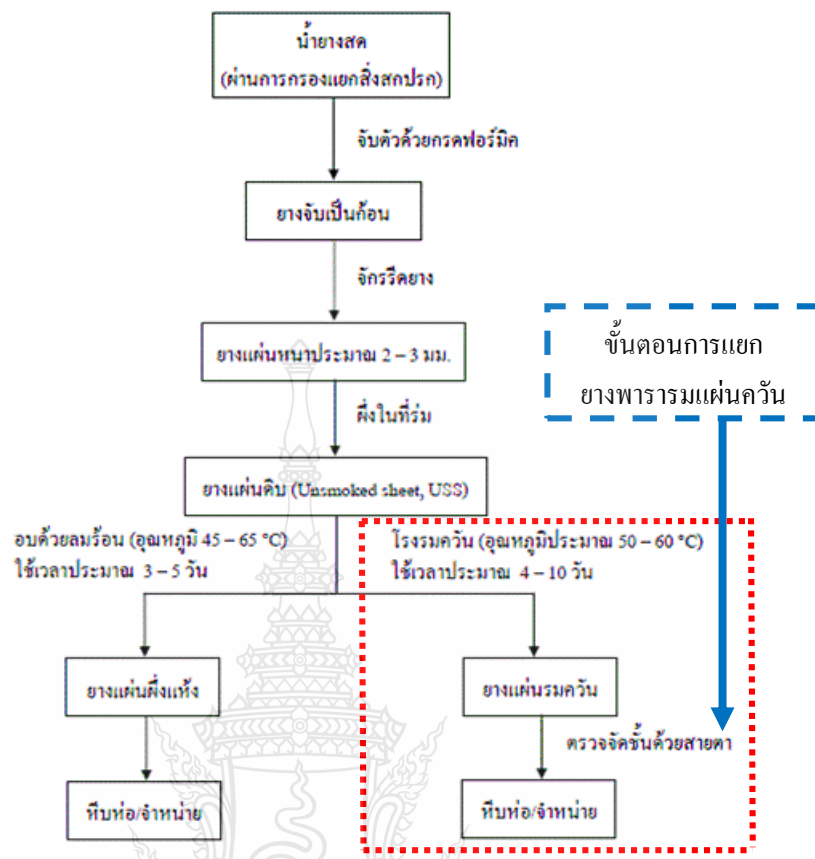
1.1 ความเป็นมาและความสำคัญของปัญหา

ยางพารา (*heveabrasiliensis muell*) เป็นพืชอุตสาหกรรมที่สำคัญของประเทศไทย และภูมิภาคอาเซียน และส่งออกอันดับหนึ่งของโลก โดยมีพื้นที่ปลูกยางสำรวจโดยกรมวิชาการเกษตร พบว่ามีพื้นที่ปลูกยาง 18.76 ล้านไร่ [1] ก่อให้เกิดกิจกรรมต่อเนื่องทั้งภาคการผลิต ภาคอุตสาหกรรม และภาคการตลาด กรมวิชาการเกษตรโดยสถาบันวิจัยยาง เป็นหน่วยงานหลักในการค้นคว้าวิจัยและพัฒนายางพารารวมทั้งการประสานงานระหว่างประเทศกับหน่วยงานที่เกี่ยวข้อง จึงรวบรวมข้อมูลผลการค้นคว้าวิจัย และพัฒนาทุกด้านทั้งด้านการผลิตยาง เศรษฐกิจและการตลาด การแปรรูปยางอุตสาหกรรมผลิตยาง อุตสาหกรรมไม้ยาง ตลอดจนการควบคุมพระราชบัญญัติ และหน่วยงานที่เกี่ยวข้องกับยางพาราทั้งในประเทศ และองค์การยางระหว่างประเทศ

การควบคุมการซื้อขายยางพาราในประเทศไทยเป็นหน้าที่ของกรมวิชาการเกษตร โดยสถาบันวิจัยยางเป็นผู้กำหนดมาตรฐานยางพาราในการคัดแยกเกรดยางพาราแผ่นรมควันซึ่งยางพาราในประเทศไทยมีการแบ่งเกรดมาตรฐาน โดยกำหนดจากข้อบังคับตามพระราชบัญญัติควบคุมยาง พ.ศ. 2542 [1] โดยการคัดแยกเกรดยางพาราแผ่นรมควันมีการแบ่งเกรดยางพาราแผ่นรมควัน 5 เกรด คือ 1) ยางแผ่นรมควันชั้นที่ 1 (RSS 1) 2) ยางแผ่นรมควันชั้นที่ 2 (RSS 2) 3) ยางแผ่นรมควันชั้นที่ 3 (RSS 3) 4) ยางแผ่นรมควันชั้นที่ 4 (RSS 4) 5) ยางแผ่นรมควันชั้นที่ 5 (RSS 5) ในขั้นตอนการคัดแยกเกรดจะเป็นเจ้าหน้าที่ของกรมวิชาการเกษตรโดยสถาบันวิจัยยาง เป็นคนกลางในการคัดแยก แต่ในการซื้อขายยางพาราแผ่นรมควันในประเทศไทยโดยจะแยกเกรดออกเป็น 3 ชั้นในการซื้อขายโดยชั้นที่ 1 จะประกอบไปด้วย ยางแผ่นรมควันชั้นที่ 1 (RSS 1) ยางแผ่นรมควันชั้นที่ 2 (RSS 2) และยางแผ่นรมควันชั้นที่ 3 (RSS 3) ชั้นที่ 2 ยางแผ่นรมควันชั้นที่ 4 (RSS 4) และชั้นที่ 3 ยางแผ่นรมควันชั้นที่ 5



ภาพที่ 1.1 ตัวอย่างยางพาราแผ่นรมควัน RSS 1, RSS 2, RSS 3, RSS 4 และ RSS 5 [1]



ภาพที่ 1.2 กระบวนการผลิตยางแผ่น [1]



ภาพที่ 1.3 กระบวนการแยกยางพาราแผ่นรมควันโดยใช้กำลังคน [2]

จากกระบวนการผลิตยางแผ่นดัง ภาพที่ 1.2 ในปัจจุบันขั้นตอนการตัดแยกเกรดยางพาราแผ่นรมควันโดยการใช้สายตาในการคัดแยกดัง ภาพที่ 1.3 คนที่จะคัดแยกได้ต้องได้รับการฝึกอบรมกับสถาบันวิจัยยาง อย่างน้อย 2-3 เดือนและต้องทดลองงานจริงจะเห็นได้ว่าคนที่จะสามารถคัดแยกเกรดยางพาราได้นั้นต้องเสียค่าใช้จ่ายและเวลาเพื่อฝึกอบรมจากเจ้าหน้าที่ ในการคัดแยกเกรดยางพาราแผ่นรมควัน และจากการที่ได้ลงสำรวจและเก็บข้อมูล สหกรณ์กองทุนสวนยางอำเภอบ่อทอง จำกัด 341 หมู่ 1 ตำบลบ่อทอง อำเภอบ่อทอง จังหวัดชลบุรี 20270 และพ่อค้าคนกลางใน อำเภอบ้านนาสาร จังหวัดสุราษฎร์ธานี ซึ่งเป็นหน่วยงานและรับซื้อในการคัดแยกยางพาราแผ่นรมควัน ได้พบว่า การคัดแยกด้วยการใช้สายตามีโอกาสเกิดความผิดพลาดขึ้นได้ เนื่องจากตัวผู้คัดแยก สภาพแวดล้อมรอบข้างเป็นต้น และในปัจจุบันยังไม่มีเทคโนโลยีใดที่จะนำมาใช้ทดแทนผู้เชี่ยวชาญในการแบ่งเกรดยางพาราแผ่นรมควัน

ด้วยเหตุนี้ ผู้ทำวิทยานิพนธ์จึงศึกษา และคิดค้นเทคนิคการคัดแยกเกรดมาตรฐานยางพาราแผ่นรมควัน โดยใช้เทคนิคการประมวลผลด้วยภาพ เพื่อนำมาพัฒนาเป็นเครื่องมือเพื่อช่วยในการคัดแยกเกรดยางพาราแผ่นรมควันที่สามารถคัดแยกให้ได้ตรงกับมาตรฐานยางพาราแผ่นรมควัน

1.2 วัตถุประสงค์ในการวิจัย

1.2.1 เพื่อศึกษาเทคนิคการคัดแยกเกรดมาตรฐานยางพาราแผ่นรมควัน

1.2.2 เพื่อศึกษาการใช้ข้อมูลภาพและเทคนิคการประมวลผลทางภาพมาช่วยในการคัดแยกเกรดมาตรฐานยางพาราแผ่นรมควัน

1.3 ขอบเขตของการวิจัย

1.3.1 ใช้กล้องเว็บแคมเป็นตัวเก็บข้อมูลภาพของแผ่นยางพารารมควัน

1.3.2 ใช้หลักการการประมวลผลทางภาพมาช่วย

1.3.3 ในการถ่ายภาพแผ่นยางพารารมควันจะทำการควบคุมปริมาณแสงอยู่ในช่วง 700-800 ลักซ์

1.3.4 ใช้ขนาดมาตรฐานยางพาราแผ่นรมควัน จากกรมวิชาการเกษตร คือ กว้าง 38-46 เซนติเมตร และความยาว 80-90 เซนติเมตร

1.3.5 การแบ่งเกรดแผ่นยางพาราแผ่นรมควันแบ่งตามมาตรฐานกรมวิชาการงานเกษตรคือ มาตรฐานยางแผ่นรมควันชั้น 1, มาตรฐานยางแผ่นรมควันชั้น 2, มาตรฐานยางแผ่นรมควันชั้น 3, มาตรฐานยางแผ่นรมควันชั้น 4, และมาตรฐานยางแผ่นรมควันชั้น 5

1.3.6 ในการตัดเกรดของแผ่นยางพารารมควันจะไม่คำนึงถึงความชื้น และความหนาของยางพาราแผ่นรมควัน

1.3.7 เก็บข้อมูล และทดลองผล ณ สหกรณ์กองทุนสวนยางอำเภอปอทอง จำกัด เป็นพื้นที่ต้นแบบในงานวิจัย

1.4 คำจำกัดความในการวิจัย

1.4.1 ยางพาราแผ่นรมควัน หมายถึง การนำยางแผ่นที่ผ่านการรีดดอกเรียบร้อยแล้ว ไปรมควันในโรงรมควัน โดยมีวัตถุประสงค์เพื่อให้ยางแผ่นที่รมควันนั้นแห้งสนิท ยางแผ่นที่ผ่านการรมควันแล้วเรียกว่า ยางแผ่นรมควัน (ribbed smoked sheet, RSS)

1.4.2 มาตรฐานยางแผ่นรมควันชั้น 1 คือ

1.4.2.1 ต้องไม่มีราหรือมีราแห้งเล็กน้อย เฉพาะผิวของแผ่นยางที่ใช้ห่อคุณสมบัติของแผ่นยาง

1.4.2.2 คุณสมบัติของแผ่นยางแห้ง, เนื้อแข็ง, ไม่มีจุดพอง, ไม่มีกรวดทราย, ไม่มีสิ่งปนเปื้อน, ไม่มีตำหนิใด ๆ, สะอาด และไม่มีราสนิม

1.4.2.3 ตำหนิที่ยอมรับได้มีฟองอากาศขนาดหัวเข็มหมุด กระจายอยู่ทั่วแผ่นมีจุดดำ ๆ ของเปลือกไม้ เล็กน้อย

1.4.2.4 ตำหนิที่ยอมรับไม่ได้ยางเหนียวแฉิม, ยางเนื้ออ่อนยางแกลไฟ, ยางไหม้, ยางอ่อนรมควัน, ยางแถมรมควัน และยางทึบ

1.4.3 มาตรฐานยางแผ่นรมควันชั้น 2

1.4.3.1 มีราสนิมได้เล็กน้อย หรือมีราแห้งที่แผ่นยางที่ใช้ห่อแต่ไม่เกิน 5 % ของตัวอย่างที่ตรวจ

1.4.3.2 คุณสมบัติของแผ่นยาง, แห้ง, เนื้อแข็ง, ไม่มีจุดพอง, ไม่มีกรวดทราย, ไม่มีสิ่งปนเปื้อน, สะอาด และไม่มีตำหนิใด ๆ

1.4.3.3 ตำหนิที่ยอมรับได้คือ มีฟองอากาศขนาดเล็ก, มีจุดดำ ๆ ของเปลือกไม้ เล็กน้อย

1.4.3.4 ตำหนิที่ยอมรับไม่ได้ คือ ยางเหนียวแฉิม, ยางเนื้ออ่อน, ยางแกลไฟ, ยางไหม้, ยางอ่อนรมควัน, ยางแถมรมควันและยางทึบ

1.4.4 มาตรฐานยางแผ่นรมควันชั้น 3

1.4.4.1 มีราสนิมได้เล็กน้อย หรือมีราแห้งที่แผ่นยางที่ใช้ห่อแต่ไม่เกิน 10 % ของตัวอย่างที่ตรวจ

1.4.4.2 คุณสมบัติของแผ่นยางคือ แข็ง, เนื้อแข็ง, ไม่มีจุดพอง, ไม่มีกรวดทรายไม่มีสิ่งปนเปื้อน, ดำหนึ่ที่ยอมรับได้, มีรอยด่างเล็กน้อย, มีจุดดำๆของเปลือกไม้เล็กน้อย, มีฟองอากาศขนาดเล็ก

1.4.4.3 ดำหนึ่ที่ยอมรับไม่ได้คือ ยางเหนียวเยิ้ม, ยางเนื้ออ่อน, ยางแก่ไฟ, ยางไหม้, ยางอ่อนรมควัน, ยางแถมรมควัน, ยางทึบ

1.4.5 การประมวลผลภาพ (image processing) เป็นกระบวนการจัดการและวิเคราะห์สารสนเทศของรูปภาพ โดยใช้คอมพิวเตอร์ในการประมวลผล ซึ่งกระบวนการต่าง ๆ

1.5 ประโยชน์ที่คาดว่าจะได้รับ

1.5.1 ได้เครื่องมือคัดแยกเกรดมาตรฐานยางพาราแผ่นรมควัน

1.5.2 สามารถแยกเกรดมาตรฐานยางพาราแผ่นรมควันได้อย่างถูกต้อง และแม่นยำตามเกณฑ์มาตรฐานของกรมวิชาการเกษตร

1.5.3 สามารถนำไปใช้ในการตรวจสอบคุณภาพยางพาราแผ่นรมควันได้

1.5.4 เพื่อใช้เป็นข้อมูลใช้ในการศึกษา และวิจัยเครื่องมือคัดแยกเกรดมาตรฐานยางพาราแผ่นรมควันต่อไป

บทที่ 2

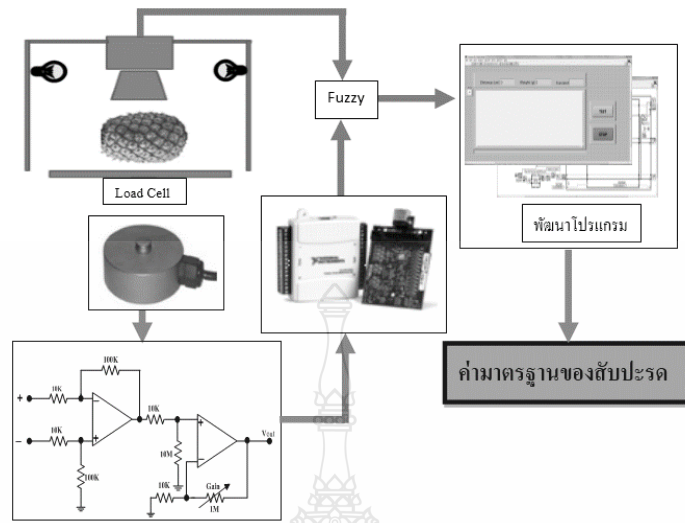
เอกสารและงานวิจัยที่เกี่ยวข้อง

วิทยานิพนธ์ฉบับเป็นการศึกษาการคัดแยกเกรดมาตรฐานยางพาราแผ่นรมควันโดยใช้วิธีการประมวลผลด้วยภาพ ซึ่งมีงานวิจัย และทฤษฎีที่เกี่ยวข้องที่สำคัญสามารถแบ่งเป็นเรื่องต่างๆ ได้ดังนี้

2.1 วรรณกรรมที่เกี่ยวข้อง

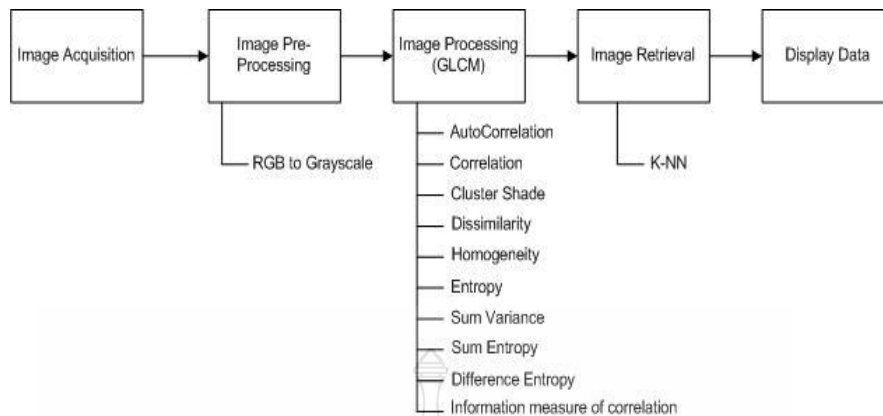
ในการศึกษาวิจัยเกี่ยวกับการ คัดแยกเกรดมาตรฐานยางพาราแผ่นรมควันโดยใช้วิธีการประมวลผลด้วยภาพ ผู้วิจัยได้ศึกษาเอกสาร และงานวิจัยที่เกี่ยวข้อง เพื่อใช้เป็นข้อมูลโดยรวบรวมและเรียบเรียงสาระสำคัญไว้ดังต่อไปนี้

นายจิรายุทธ พัดประดิษฐ์และ นายธนศ สือเสาวลักษณ์ และคณะ [3] ได้ศึกษางานวิจัย เครื่องคัดขนาดคุณภาพผลัดบับประรดด้วยการประมวลผลภาพ ปริญญานิพนธ์นี้มีวัตถุประสงค์เพื่อสร้าง เครื่องมือและ โปรแกรมที่ใช้ในการคัดขนาดมาตรฐานสับประรด การคัดขนาดมาตรฐานสับประรดมี ปัจจัยในการประเมินขนาดมาตรฐาน ลักษณะคือ น้ำหนัก ได้แบ่งออกเป็น 10 ชั้น โดยแบ่งเป็นชั้น A, B, C, D, E, F, G, H, I, J และขนาด ได้แบ่งออกเป็น 2 ชั้นคุณภาพ โดยแบ่งออกเป็น ชั้นคุณภาพ 1 และ ชั้นคุณภาพ 2 เครื่องมือที่ใช้คัดขนาดสับประรดประกอบด้วยกล้องเว็บแคม โหลดเซลล์ และกล่อง ควบคุมแสงโดยใช้โปรแกรม labview ในการประมวลผล โปรแกรมได้แบ่งออกเป็น 2 ส่วน คือส่วนที่ใช้หาขนาด กับ น้ำหนัก ส่วนที่ใช้หาขนาดจะใช้กล้องเว็บแคมเป็นอุปกรณ์ในการหาขนาดสับประรด ร่วมกับ vision assistance toolkit ใน โปรแกรม labview และส่วนที่ใช้หาน้ำหนัก จะใช้โหลดเซลล์ยี่ห้อ Kyowa Type LM – 10 k Ω class N เป็นอุปกรณ์ในการหาน้ำหนัก โดยจะใช้โหลดเซลล์ต่อเข้ากับ NI-DAQ USB 6008 ร่วมกับ โปรแกรม labview และนำ โปรแกรมทั้ง 2 ส่วนมาประมวลผลเพื่อหาขนาด สับประรด ซึ่งโปรแกรมจะประมวลผลออกมาเป็นค่ามาตรฐานตามกระทรวงเกษตร สับประรดที่ใช้ในการทดลองมีขนาดเส้นผ่านศูนย์กลาง 8.65cm ถึง 15.4 cm จากผลการทดลองที่ได้ของเครื่องคัดขนาด สับประรด โดยพบว่าเครื่องคัดขนาดสับประรด มีค่าความแม่นยำในการคัดขนาดสับประรดเท่ากับ 87.5 % และค่าผิดพลาดเท่ากับ 12.5 % เมื่อเทียบกับขนาดของสับประรดจริง



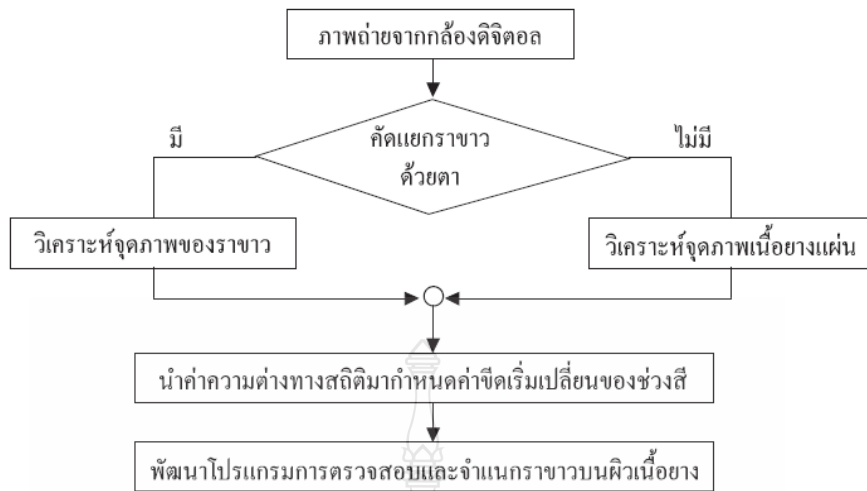
ภาพที่ 2.1 ส่วนประกอบของเครื่องคัดขนาดมาตรฐานสับประรด [3]

นายปฐมพล พิภทอง และนายพยุง มีสัจ และคณะ [4] ได้ศึกษางานวิจัย การค้นคืนข้อมูล พระเครื่องจากภาพดิจิทัลโดยเทคนิคการสกัดคุณลักษณะและวิธีเพื่อนบ้านใกล้สุด งานวิจัยนี้มีวัตถุประสงค์เพื่อพัฒนาระบบสืบค้นข้อมูลพระเครื่องจากภาพดิจิทัลโดยใช้เทคนิควิธีเพื่อนบ้านใกล้สุด (K-nearest neighbor) ในการค้นคืน ภาพพระเครื่องจะถูกถ่ายด้วยกล้องดิจิทัลในสภาวะที่มีการควบคุม เช่น การควบคุมระยะห่างระหว่างตัวกล้องถ่ายภาพและดอกไม้ ความเข้มของแสงในการถ่ายภาพ เป็นต้น งานวิจัยนี้จะเน้นการค้นคืนข้อมูลพระเครื่องชนิดเนื้อผง คุณสมบัติต่างๆที่ใช้ในการสกัดข้อมูลภาพต้นแบบจะใช้การวิเคราะห์โครงร่างพื้นผิวของภาพด้วยเมทริกซ์ระดับเทา (gray-level co-occurrence matrices GLCM) เพื่อเก็บค่าทางสถิติที่ได้จากการวิเคราะห์โครงร่างพื้นผิวภาพ 10 รูปแบบ งานวิจัยนี้ได้ทำการทดสอบระบบโดยใช้พระเครื่องชนิดเนื้อผงทั้งหมดจำนวนมากกว่า 40 แบบ มีภาพทั้งสิ้น มากกว่า 1,400 ภาพ โดยมีข้อมูลที่เก็บเป็นภาพต้นแบบจำนวน 800 ภาพ จากนั้นใช้ภาพที่ถ่ายในรูปแบบเดียวกันจำนวน 400 ภาพ และภาพที่วางพระในทิศทางต่างกันอีกจำนวน 200 ภาพซึ่งได้ผลของการประเมินประสิทธิภาพของระบบในแง่ความแม่นยำ (precision) เท่ากับ และ ค่าความครบถ้วน (recall) เท่ากับ



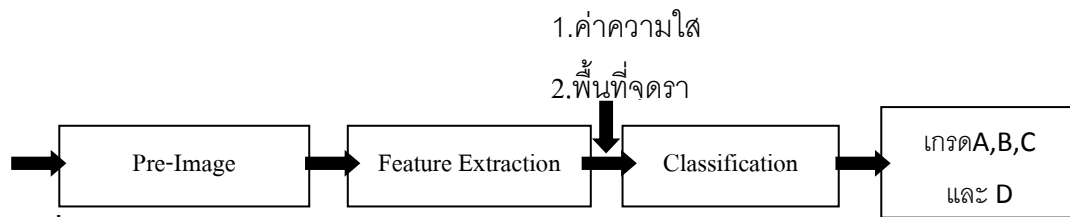
ภาพที่ 2.2 แสดงขั้นตอนในการสกัดคุณลักษณะจากภาพ [4]

นายสิทธิโชค อุ่นแก้ว และคณะ [5] ได้ศึกษางานวิจัย การศึกษาวิธีการตรวจสอบราชาวบนผิวเนื้อยางแผ่น โดยใช้วิธีการประมวลผลภาพ การศึกษานี้ได้นำเสนอเครื่องมือตรวจสอบราชาวบนผิวเนื้อยางแผ่น ซึ่งใช้ในการจำแนกยางแผ่นที่มีราชาว ออกจากยางแผ่นดีหรือยางแผ่นไม่มีราชาวบนผิวเนื้อยางแผ่นเป็นการประยุกต์หลักการทางด้านการประมวลผลภาพดิจิทัล (digital image processing) มาใช้ในงานด้านการตรวจสอบคุณภาพสินค้าทางการเกษตรที่มีปริมาณ มากๆ และยากต่อการจำแนกแทนการใช้สายตามนุษย์ที่มีความจำกัดในการทำงานนาน ๆ โดยมีกล้องถ่ายภาพดิจิทัล (digital camera) ทำหน้าที่เสมือนตามนุษย์ที่เป็นเครื่องมือในการมองเห็น (machine vision) แล้วส่งไปยังหน่วยประมวลผลที่มีเครื่องคอมพิวเตอร์เป็นตัวประมวลผลด้วยเทคนิควิธีหรือขั้นตอนวิธี (algorithm) ทางด้านการประมวลผลภาพดิจิทัล จากนั้นจะทำการแสดงผลการจำแนกออกมาให้ทราบต่อไป เครื่องตรวจสอบราชาวบนผิวเนื้อยางแผ่นนี้มีชุดการทำงานแบ่งออกเป็น 4 ส่วน คือ ส่วนของชุดควบคุมความเข้มแสงสว่าง ส่วนนำเข้าข้อมูลภาพ (image acquisition) ส่วนประมวลผลใช้ไมโครคอมพิวเตอร์ (microcomputer) และส่วนแสดงผลใช้การแสดงผล ผ่านจอคอมพิวเตอร์ ผลจากการพัฒนาต้นแบบเครื่องมือตรวจสอบราชาวบนผิวเนื้อยางแผ่น สามารถจำแนกยางแผ่น ได้ถูกต้องดี มากประมาณ 97.50% และความเร็วในการตรวจสอบได้เร็วมากใกล้เคียงกับการตรวจสอบด้วยสายตามนุษย์ จึงทำให้สามารถนำเทคนิควิธีนี้ไปใช้ในการสร้างและพัฒนาเครื่องตรวจสอบและคัดแยกยางแผ่นอัตโนมัติต่อไปได้



ภาพที่ 2.3 ขั้นตอนการพัฒนาโปรแกรม [5]

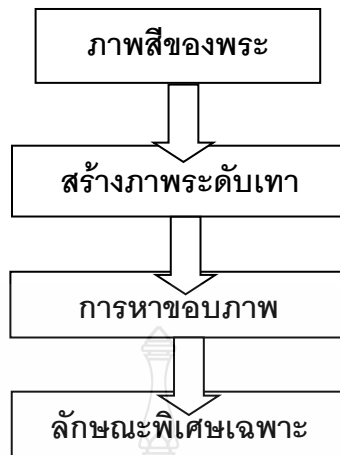
นายปรัชญา บำรุงกุล และคณะ [6] ได้ศึกษางานวิจัย ระบบคัดแยกคุณภาพยางพาราโดยการประมวลผลภาพ ในปัจจุบันการคัดแยกคุณภาพของแผ่นยางพาราใช้ผู้เชี่ยวชาญซึ่งมีอยู่น้อย การศึกษาปัญหาวิจัยนี้นำเสนอระบบคัดแยกคุณภาพแผ่นยางโดยใช้การประมวลผลภาพ ในระบบที่นำเสนอนี้ แผ่นยางถูกบันทึกภาพโดยการให้แสงจากด้านล่าง แล้วภาพที่ได้จะนำไปผ่านกระบวนการการประมวลผลภาพ เพื่อหาลักษณะเด่นในการคัดแยกคุณภาพแผ่นยาง เนื่องจากตามมาตรฐานการคัดแยกแผ่นยางนั้นจะดูจากความใส และปริมาณจุดดำที่เกิดจากรา การศึกษาปัญหาวิจัยนี้จึงใช้การประมวลผลภาพเพื่อให้ได้ลักษณะเด่นที่เป็นตัวแทนของคุณสมบัติทั้งสองนี้ ในขั้นแรกภาพของแผ่นยางจะถูกเปลี่ยนให้เป็นภาพระดับเทา ก่อน แล้วจึงนำไปหาค่าผลรวมของระดับความเข้มของภาพเพื่อใช้เป็นตัวแทนของความใส สำหรับการวัดปริมาณจุดดำดำนั้น ทำได้โดยการนำภาพระดับเทาไปผ่านการเปลี่ยนเป็นภาพขาวดำ จำนวนพื้นที่จุดดำที่ได้เป็นตัวแทนของปริมาณจุดดำดำในแผ่นยาง การแยกเกรดของแผ่นยางเป็น 4 เกรด ทำการเปรียบเทียบเกณฑ์ที่ได้จากการเรียนรู้จากผู้เชี่ยวชาญ วิธีที่นำเสนอได้รับการทดสอบกับตัวอย่างแผ่นยางจำนวน 100 ตัวอย่าง โดยสามารถคัดแยกได้ถูกต้อง 89% เมื่อเทียบการคัดแยกโดยผู้เชี่ยวชาญ



ภาพที่ 2.4 การวิเคราะห์ระบบ [6]

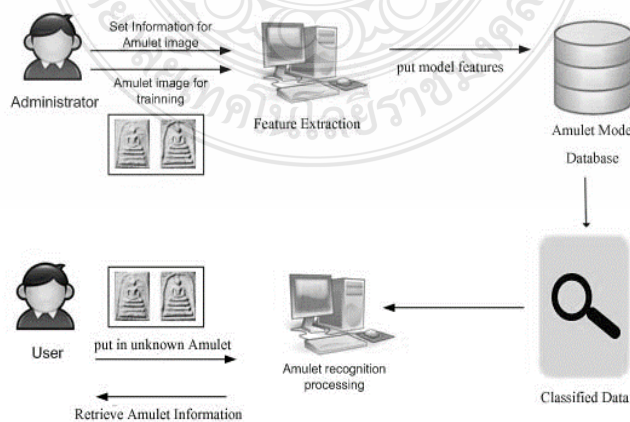
นายชาติ กอบัวแก้ว และคณะ [7] ได้ศึกษางานวิจัย การจำแนกพระผงโดยการเปรียบเทียบลักษณะพิเศษ การวิจัยครั้งนี้มีวัตถุประสงค์เพื่อสร้าง และทดสอบประสิทธิภาพ ของระบบการจำแนกพระผง โดยเริ่มต้นจากการนำภาพพระผงจากภาพถ่ายด้านหน้าขององค์พระมาปรับขนาด แล้วนำภาพดังกล่าวเข้ามาสู่ระบบ ทำการเลือกพิมพ์ทรงของพระผงซึ่งแยกประเภทออกเป็น 4 พิมพ์ทรงได้แก่ ทรงสี่เหลี่ยม ทรงสามเหลี่ยม ทรงสองเหลี่ยมหัวมน และไม่มีเหลี่ยมหรือทรงกลม จากนั้นนำภาพเข้าสู่กระบวนการหาเส้นขอบตามลักษณะพิเศษเฉพาะของพิมพ์ทรงและพุทธศิลป์และขั้นตอนสุดท้ายจะเป็นการเปรียบเทียบลักษณะพิเศษเฉพาะของพิมพ์ทรงและพุทธศิลป์ของพระผงที่ นำมาทดสอบกับลักษณะพิเศษเฉพาะของพระผงที่ฝึกให้ระบบรู้จำแล้วจัดเก็บไว้เป็นแม่แบบ ผู้วิจัยได้ทำการทดลอง โดยใช้ภาพพระผงจำนวน 400 ภาพ มาทำการทดสอบการ จำแนกของระบบเปรียบเทียบกับภาพพระผงที่จัดเก็บไว้เป็นแม่แบบจำนวน 140 ภาพ รวมจำนวนการทดลองทั้งสิ้น 1300 ครั้ง พบว่าการเพิ่มประสิทธิภาพการจำแนกของระบบ สรุปได้ดังนี้

1. ขนาดภาพสีนำเข้าที่จะนำมาใช้กับระบบสำหรับพิมพ์ทรงสี่เหลี่ยม ทรงสามเหลี่ยม ทรงสองเหลี่ยมหัวมนและทรงไม่มีเหลี่ยมที่ไม่ใช่ทรงกลมควรมีขนาด 60x80 พิกเซล และทรงกลม ควรมีขนาด 70x70 พิกเซล
2. เมตริกซ์ที่เหมาะสมสำหรับการคำนวณหาลักษณะพิเศษควรมีขนาด 11x3
3. ค่าสัมประสิทธิ์สหสัมพันธ์ (correlation coefficient) ที่ทดลองแล้วพบว่ามีประสิทธิภาพในการจำแนกมากที่สุด คือ 0.8 ซึ่งระบบสามารถจำแนกได้ถูกต้องร้อยละ 93.50 และเป็นค่าเดียวที่สามารถจำแนกภาพ พระผงซึ่งเป็นพิมพ์ทรงเดียวกัน ซึ่งมีพุทธศิลป์แตกต่างกันไม่มากนัก มาเป็นผลในการจำแนกด้วยนอกจากนี้ยังพบว่าระบบสามารถจำแนกพระผงที่มีลักษณะพิมพ์ทรงเดียวกันแต่ไม่ได้เป็นภาพที่ใช้ฝึกให้ระบบรู้จำได้ค่อนข้างมีประสิทธิภาพ เพราะสามารถค้นพบภาพในฐานข้อมูล ร้อยละ 79.00 ซึ่งสามารถจำแนกได้ถูกต้องร้อยละ 100 โดยใช้เวลาน้อยในการจำแนกเพียงภาพละ 10 วินาที และระบบยังสามารถจำแนกพระผงที่อยู่ในสภาพที่ไม่สมบูรณ์เพียงเล็กน้อยได้อีกด้วย



ภาพที่ 2.5 แสดงขั้นตอนของการจำแนกลักษณะพิเศษเฉพาะของภาพพระเครื่อง [7]

ร้อยโท ปฐมพล พิภทอง [8] การจำแนกพระเครื่องด้วยเทคนิคการสกัดคุณลักษณะเด่นแบบพื้นผิวโดยการใช้วิธี K-nearest neighbor ระบบจำแนกชนิดพระเครื่องมีประโยชน์มากสำหรับการบ่งชี้และการจดจำชนิดพระเครื่องในฐานะข้อมูลหรือในอินเทอร์เน็ต ในเอกสารนี้เราค้นคว้าระบบการจำแนกรูปแบบพระเครื่อง โดยใช้พื้นผิวของพระเครื่อง ในกระบวนการดึงคุณลักษณะเด่นของพื้นผิวพระเครื่องใช้ การวิเคราะห์โครงสร้างพื้นผิวของภาพด้วยเมทริกซ์ระดับเทา (gray-level co-occurrence matrices GLCM) ด้วย 10 เครื่องมือคือ autocorrelation, correlation, cluster shade, dissimilarity, homogeneity, entropy, sum variance, sum entropy, Difference Entropy และ Information measure of correlation ในกระบวนการจำแนก k-nearest neighborhood ถูกใช้สำหรับการจำแนกชนิดพระเครื่อง ผลการทดสอบในการดึงคุณลักษณะเด่นด้วย 10 เครื่องมือและ การจำแนกโดยใช้ k-nearest neighborhood แสดงการปฏิบัติได้ดีในระบบการจำแนกชนิดพระเครื่อง



ภาพที่ 2.6 โครงสร้างของการจำแนกชนิดพระเครื่อง [8]

2.2 มาตรฐานยางพาราแผ่นรมควัน



ภาพที่ 2.7 แสดงภาพยางแผ่นรมควัน [2]

ยางแผ่นรมควัน (ribbed smoked sheets, RSS) ประเทศไทยเป็นประเทศที่มีการผลิตยางแผ่นรมควันมากเป็นอันดับ 1 ของโลกยางแผ่นรมควันแยกได้เป็น 5 ประเภทคือ ยางแผ่นรมควันชั้น 1, ชั้น 2, ชั้น 3, ชั้น 4 และ ชั้น 5 โดยการแบ่งเกรดนั้น จะใช้คุณภาพของยางแต่ละแผ่นเป็นเกณฑ์โดยที่มาตรฐานของยางแผ่นรมควันของประเทศไทยนั้นกำหนด เออยางแผ่นรมควันชั้น 3 เป็นเกณฑ์ในการตัดสิน ซึ่งยางแผ่นรมควันชั้น 3 คุณภาพเท่ากับยางแท่ง STR 20 ยางแผ่นรมควันคุณภาพดีกว่าก็พิจารณาให้เป็นยางแผ่นรมควันชั้น 1 หรือ 2 แต่ถ้าคุณภาพเลวกว่าก็พิจารณาให้เป็นยางแผ่นรมควันชั้น 4, 5 หรือเป็นยางดำชั้น (burok) สิ่งสำคัญที่จะช่วยกำหนดว่ายางนั้นควรอยู่ชั้นไหนคือ

1. ฟองอากาศและสิ่งสกปรกซึ่งภาษาของการคัดชั้นยาง เรียกว่า จุดและแฉ้ม
2. สีและความสม่ำเสมอของสี ไม่มีราสีแดง
3. ไม่มีสิ่งปลอมปน
4. การใช้น้ำและน้ำกรดถูกส่วน

ยางแผ่นรมควันชั้น 3 เป็นยางที่แห้งรมควันสุกสม่ำเสมอ เหนียวแน่นดียืดหยุ่นดีไม่มีจุดและแฉ้ม สิ่งเจือปนอื่นๆ เป็นตำหนิมากจนเป็นที่รังเกียจ คือ รวมกันแล้วไม่เกิน 10% ของแผ่นคุณภาพเหมือนยางแท่ง STR 20 ยางแผ่นที่ดีควรมีลักษณะดังนี้

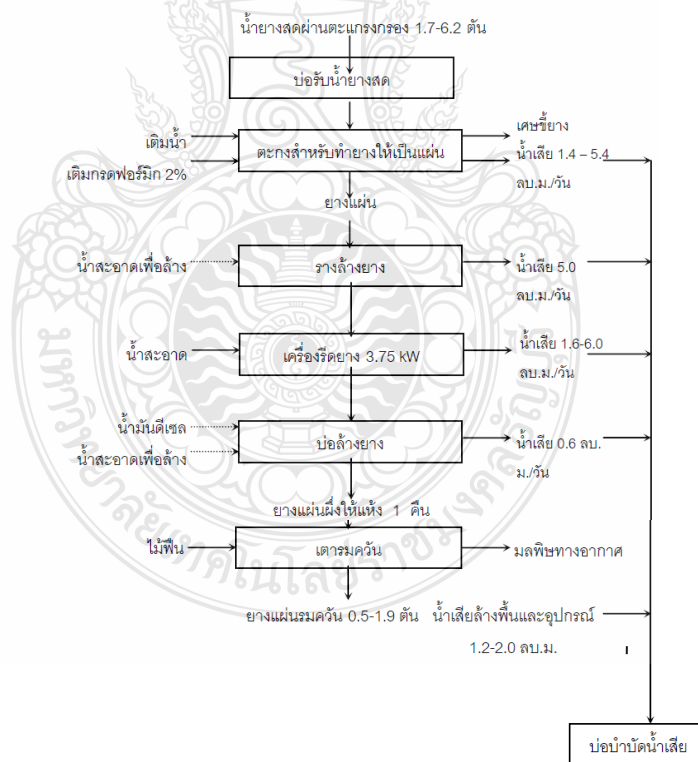
1. ยางแผ่นบางสม่ำเสมอ ความหนาไม่เกิน 3 มิลลิเมตร
2. ขนาดของแผ่นยางกว้าง 38-46 เซนติเมตร ยาว 80-90 เซนติเมตร
3. น้ำหนัก 0.8-1.2 กิโลกรัม/แผ่น

4. สะอาด ไม่มีเชื้อรา สิ่งสกปรก และฟองอากาศเจือปน
5. รูปทรงเป็นสี่เหลี่ยมผืนผ้า ไม่คอดกั้วสี่มุมสม่ำเสมอ ถายดอกเห็นเด่นชัด
6. ความชื้นในแผ่นยางไม่ควรเกิน 2%
7. มีความยืดหยุ่นดี

กระบวนการผลิตยางพาราแผ่นรมควัน โดยมีขั้นตอนดังต่อไปนี้

การรับน้ำยาง ทำการรวบรวมน้ำยางสดจากสมาชิกสหกรณ์แต่ละคน โดยชั่งน้ำหนักน้ำยางสด พร้อมทั้งเก็บตัวอย่างน้ำยางสดเพื่อวิเคราะห์หาร้อยละของเนื้อยางแห้ง โดยมีวิธีเมโทรแลค และเทน้ำยางสดลงสู่บ่อรับน้ำยางสดผ่านตะแกรงกรองขนาด 40-60 (mesh) เพื่อกรองแยกสิ่งสกปรกออกน้ำยางสด ซึ่งในขั้นตอนนี้มีการกระเด็นและหกหล่นของน้ำยางสด ทำให้มีการสูญเสียยางและสิ้นเปลืองน้ำในการล้างพื้น

การทำความสะอาดเครื่องมือและอุปกรณ์สำหรับการทำยางแผ่นอุปกรณ์และเครื่องใช้ทุกอย่าง ในการทำยางแผ่นเช่น ตะแกรงกรอง ตะกงทำยางแผ่นเครื่องรีดยางจำเป็นต้องสะอาดอยู่เสมอเนื่องจากจะทำให้ได้ผลิตภัณฑ์ที่สะอาดและมีคุณภาพดี



ภาพที่ 2.8 กระบวนการผลิตยางแผ่นรมควัน [1]

การทำยางให้เป็นแผ่น ในการผลิตยางแผ่นรมควัน จะต้องมีการเจือจางน้ำยางสด เพื่อให้ได้เนื้อยางแห้งประมาณ 15-18% โดยทำการเจือจางน้ำยางสดด้วยน้ำ ซึ่งจะต้องมีการคำนวณปริมาณน้ำที่ใช้ในการผสมเจือจาง ในอัตราส่วนผสมน้ำยางสดกับน้ำ คือ 3:2 ซึ่งอัตราส่วนผสมเปลี่ยนแปลงได้ขึ้นอยู่กับขึ้นอยู่กับปริมาณเนื้อยางแห้ง เช่น กรณีฝนตกขณะเก็บน้ำยาง น้ำยางอาจจะเจือจางทำให้ปริมาณเนื้อยางแห้งลดลง (หรือน้ำยางผสมน้ำปริมาตรประมาณ 215 ลิตรต่อตะแกรง) และเติมกรดฟอร์มิคความเข้มข้น 2% ในอัตราส่วน 0.4-0.6 ของเนื้อยางแห้ง (หรือปริมาตรประมาณ 8.2 ลิตรต่อตะแกรง) เพื่อให้ยางจับตัวกันเป็นก้อน ทำการกวนผสมให้เข้ากันซึ่งในการกวนจะมีฟองเกิดขึ้นและต้องทำการดักฟองออกให้หมด เพราะยางแผ่นที่ได้จะมีรอยจุดฟองอากาศทำให้ยางแผ่นรมควันที่ได้มีคุณภาพต่ำ และทำการใส่แผ่นเสียบให้ครบทั้งไว้ 2-3 ชั่วโมงเพื่อให้ยางแข็งตัว เมื่อยางแข็งตัวค่อยๆดึงแผ่นเสียบออกจากตะแกรง และนำแผ่นยางที่ได้ไปล้างในรางล้างยางการรีดยาง นำยางแผ่นที่ผ่านการล้างแล้วมารีดด้วยเครื่องรีดยางซึ่งประกอบด้วยลูกกลิ้งผิวเรียบ 4-5 คู่ และลูกกลิ้งลายดอกอีก 1 คู่ สุดท้ายเพื่อรีดให้ยางมีความหนา ประมาณ 2-3 มิลลิเมตร ในกระบวนการนี้มีการสเปรย์น้ำ เพื่อหล่อลื่นในขณะที่รีดยาง จากนั้นล้างน้ำอีกครั้งและนำไปทิ้งลมเป็นเวลา 1 วัน การรมควันยาง นำยางแผ่นที่ทิ้งลมแล้วไปอบรมควันในห้องอบที่มีอุณหภูมิประมาณ 50 ถึง 60 องศาเซลเซียส โดยความร้อนและควันที่ใช้ในการรมยางให้แห้งได้จากการเผาไม้ฟืนในเตาเผา ซึ่งสามารถควบคุมการลุกไหม้ของไม้ฟืนเพื่อให้ได้ความร้อนตามต้องการโดยการเปิด หรือปิดช่องให้อากาศเข้าทางประตูใส่ฟืน โดยความร้อนและควันจากเตาเผา จะถูกส่งมาตามท่อซีเมนต์ปล่อยควันสู่ห้องอบ โดยทั่วไปใช้ระยะเวลาในการรมควันประมาณ 4-12 วัน ทั้งนี้ขึ้นอยู่กับคุณภาพและความชื้นของยางแผ่นดิบจนแผ่นยางสุกได้ผลิตภัณฑ์ที่เรียกว่า ยางแผ่นรมควัน

การคัดเกรดยางการคัดแยกเกรด ยางแผ่นรมควัน ไม่มีมาตรฐานการตรวจสอบคุณภาพยางที่แน่นอน การกำหนดชั้นขนาดต่างๆกระทำโดยใช้สายตาในการพิจารณา ซึ่งต้องอาศัยความชำนาญและประสบการณ์พอสมควร ทั้งนี้สามารถจำแนกยางแผ่นรมควันได้เป็น 5 ชั้นดังนี้



RSS1

ภาพที่ 2.9 ตัวอย่างยางแผ่นรมควันชั้น 1

ยางแผ่นรมควันชั้น 1 แผ่นยางต้องแห้งและสะอาด ไม่มีเมล็ดทรายหรือสิ่งเจือปนบนแผ่นยาง ไม่มีสนิมหรือราขึ้นบนยางแผ่นยางอาจรมควันไม่สม่ำเสมอเล็กน้อยได้แต่ต้องไม่มีสีคล้ำจนเกินไป และไม่เหนียวตรงจุดใดจุดหนึ่ง บนผิวยางแผ่นที่ใช้ห่อก้อนยางหรือตรงผิวก้อนของยางที่อยู่ติดกับยางที่ใช้ห่อ อาจมีราแห้งปะปนอยู่กับยางแผ่นรมควันข้างเล็กน้อย มีฟองอากาศเล็กๆ ขนาดเท่าหัวเข็มหมุดกระจายอยู่เล็กน้อยได้



ภาพที่ 2.10 ตัวอย่างยางแผ่นรมควันชั้น 2

ยางแผ่นรมควันชั้น 2 แผ่นยางต้องแห้งและสะอาด ไม่มีตำหนิากรอยเปื้อนหรือฟอง ไม่มีเมล็ดทรายหรือสิ่งเจือปนบนแผ่นยาง อาจมีฟองอากาศ สีของยางแผ่นรมควันอาจไม่สม่ำเสมอได้ บนผิวยางแผ่นที่ใช้ห่อก้อนยางหรือตรงผิวก้อนของยางที่อยู่ติดกับยางที่ใช้ห่ออาจมีราสนิม หรือราแห้งปะปนอยู่ปริมาณเล็กน้อยแต่ไม่เกินร้อยละ 5 ของตัวอย่างที่ตรวจ สีของยางแผ่นรมควันอาจไม่สม่ำเสมอได้



ภาพที่ 2.11 ตัวอย่างยางแผ่นรมควันชั้น 3

ยางแผ่นรมควันชั้น 3 แผ่นยางต้องแห้ง สีอาจไม่ใส มีฟองอากาศเล็กๆ มีเศษผงสิ่งสกปรกหรือเศษเปลือกต้นยางปะปนได้เล็กน้อย แต่ต้องไม่มีรอยฟอง ไม่มีเมล็ดทรายหรือสิ่งสกปรกขณะห่อก้อนยางบนยางแผ่นที่ใช้ห่อ หรือภายในยางแผ่นอาจมีราสนิมหรือราแห้ง ราแดงขึ้นได้เล็กน้อยแต่ไม่เกินร้อยละ 10 ของตัวอย่างที่ตรวจ ไม่มีจุดรมควันที่ไม่แห้ง หรือจุดเหนียวบนยางแผ่นยางอาจมีสีคล้ำบ้างแต่สีต้องไม่ทึบจนดำ



ภาพที่ 2.12 ตัวอย่างยางแผ่นรมควันชั้น 4

ยางแผ่นรมควันชั้น 4 ยางแผ่นต้องแห้ง มีฟองอากาศเศษผงสิ่งสกปรก หรือเศษเปลือกต้นยางขนาดกลางปะปนอยู่บนยางแผ่นบ้าง มีรอยเปื้อนจางๆ เหนียวเล็กน้อยบนยางแผ่นที่ใช้ห่อหรือภายในยางแผ่นอาจมีราสนิมหรือราแห้ง ราแดงขึ้นได้เล็กน้อยแต่ไม่เกินร้อยละ 20 ของตัวอย่างที่ตรวจ ไม่มีตำหนิจากรอยพุพอง ไม่มีเม็ดทรายหรือสิ่งสกปรกอื่นปน ยางแผ่นอาจมีสีคล้ำได้แต่สีต้องไม่ทึบจนดำแบบถูกไฟไหม้



ภาพที่ 2.13 ตัวอย่างยางแผ่นรมควันชั้น 5

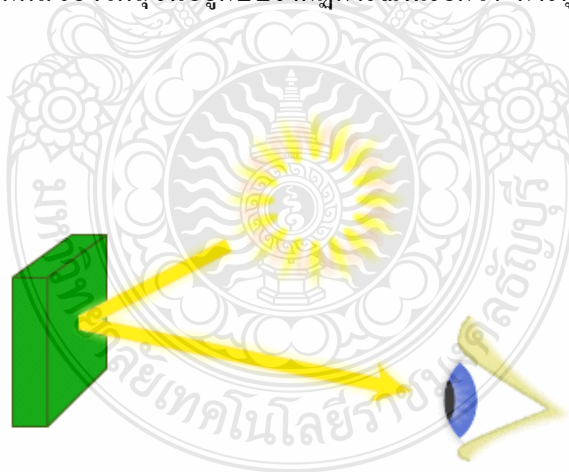
ยางแผ่นรมควันชั้น 5 ยางแผ่นต้องแห้ง มีฟองอากาศเศษผงสิ่งสกปรกหรือเศษเปลือกต้นยางค่อนข้างใหญ่ มีรอยพองเล็กๆ รอยเปื้อน สีคล้ำ บนยางแผ่นที่ใช้ห่อหรือภายในยางแผ่นอาจมีราสนิมหรือราแห้ง ราแดงขึ้นได้เล็กน้อยแต่ไม่เกินร้อยละ 30 ของตัวอย่างที่ตรวจมีราแห้ง แผ่นยางต้องไม่พุพองมากและไม่เหนียวจนเกินไป นอกจากสิ่งปะปนที่กล่าวมาแล้ว ยางแผ่นต้องไม่มีเม็ดทรายหรือสิ่งสกปรกอื่นๆ ยางแผ่นอาจมีสีคล้ำได้แต่สีต้องไม่ทึบจนไหม้ดำ สามารถสรุปได้ดัง ตารางที่ 2.1

ตารางที่ 2.1 มาตรฐานยางแผ่นรมควันชั้น 1 - 3 (ไม่อัดก้อน) [1]

สมบัติ	ชั้น 1	ชั้น 2	ชั้น 3
การขึ้นรา	ต้องไม่มีรา หรือมีราแห้งเล็กน้อย เฉพาะผิวของแผ่นยางที่ใช้ห่อ	มีราสนิมได้เล็กน้อยหรือมีราแห้งที่แผ่นยางที่ใช้ห่อ แต่ไม่เกิน 5% ของตัวอย่างที่ตรวจ	มีราสนิมได้เล็กน้อยหรือมีราแห้งที่แผ่นยางที่ใช้ห่อ แต่ไม่เกิน 10% ของตัวอย่างที่ตรวจ
สมบัติของยางแผ่น	ยางทุกแผ่นจะต้องมีสมบัติดังนี้คือ - แห้ง - เนื้อแข็ง - ไม่มีจุดพอง - ไม่มีกรวดทราย - ไม่มีสิ่งปนเปื้อน - ไม่มีตำหนิใดๆ - สะอาด - ไม่มีราสนิม	ยางทุกแผ่นจะต้องมีสมบัติดังนี้คือ - แห้ง - เนื้อแข็ง - ไม่มีจุดพอง - ไม่มีกรวดทราย - ไม่มีสิ่งปนเปื้อน - ไม่มีตำหนิใดๆ - สะอาด	ยางทุกแผ่นจะต้องมีสมบัติดังนี้คือ - แห้ง - เนื้อแข็ง - ไม่มีจุดพอง - ไม่มีกรวดทราย - ไม่มีสิ่งปนเปื้อน
ตำหนิที่ยอมรับได้	- มีฟองอากาศขนาดหัวเข็มหมุดกระจายอยู่ทั้งแผ่น - มีจุดดำๆของเปลือกไม้เล็กน้อย	- มีฟองอากาศขนาดเล็ก - มีจุดดำๆของเปลือกไม้เล็กน้อย	- มีฟองอากาศขนาดเล็ก - มีจุดดำๆของเปลือกไม้เล็กน้อย - มีรอยดำงเล็กน้อย
ตำหนิที่ยอมรับไม่ได้	- ยางเหนียวเยิ้ม - ยางเนื้ออ่อน - ยางแก่ไฟ - ยางไหม้ - ยางอ่อนรมควัน - ยางแก่รมควัน - ยางทึบ	- ยางเหนียวเยิ้ม - ยางเนื้ออ่อน - ยางแก่ไฟ - ยางไหม้ - ยางอ่อนรมควัน - ยางแก่รมควัน - ยางทึบ	- ยางเหนียวเยิ้ม - ยางเนื้ออ่อน - ยางแก่ไฟ - ยางไหม้ - ยางอ่อนรมควัน - ยางแก่รมควัน - ยางทึบ

2.3 การประมวลผลภาพ และ image processing toolbox

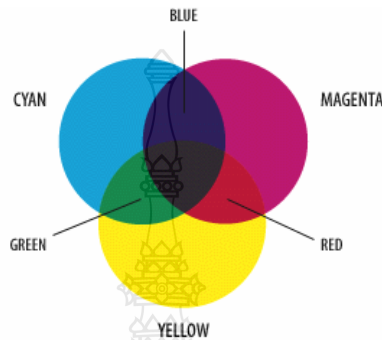
ใช้วิธีการประมวลผลจากภาพดิจิทัล โดยใช้เทคนิคการสกัดคุณลักษณะ (feature extraction) มีขั้นตอนการทำงาน 5 ขั้นตอนหลักคือ การรับข้อมูลภาพเข้ามาในระบบ การเตรียมภาพก่อนทำการประมวลผล (preprocessing) การประมวลผลภาพ (image processing) จากนั้นนำค่าที่ได้มาทำการค้นหาข้อมูล (image retrieval) ขั้นตอนสุดท้าย คือการแสดงผลข้อมูล (display information) ที่ได้จากการค้นหาข้อมูลจากภาพ โดย ทฤษฎีสี ในศตวรรษที่ 17 นิวตันพบว่าลำแสงสีขาวของแสงแดดประกอบด้วยรังสีแสงสว่างที่มีสีต่างกันหลายสีเพราะเมื่อให้แสงแดดส่องผ่านแท่งปริซึมแสงจะกระจายออกเป็นสีรุ้งเรียกว่าสเปกตรัมแต่เมื่อนำเอาสเปกตรัมเหล่านั้นมาผ่านแท่งปริซึม อันที่ 2 แสงที่จะได้จะกลายเป็นแสงสีขาวเหมือนเดิม เขาจึงสรุปว่าสีรุ้งทั้ง 7 ในสเปกตรัมเป็นสีปฐมภูมิถ้าปล่อยแสงที่มีความยาวคลื่นเดียวเช่น 650 nm ที่มีปริมาณมากพอกระทบ เรตินาในลูกตาความรู้สึกลึกลับที่ต่างจากสีอื่นจะเกิดขึ้นและสิ่งเร้านั้นจะบอกว่ามีกำลังมองเห็นเป็นสี “แดง” ดังนั้นสีจึงแสดงออกมาในรูปของความรู้สึกรหรือเรื่องราวของการมองเห็นซึ่งเกิดจากการกระทำของพลังงานที่ความยาวคลื่นใด ๆ ที่กระทำต่อเรตินาของตาคนปกติ ความยาวแตกต่างของความยาวคลื่นจะทำให้เกิดความรู้สึกลึกลับที่ต่างกันของการมองเห็นสีวัตถุจะมองดูแตกต่างกันเมื่ออยู่ภายใต้แสงสีที่ต่างกัน สีของวัตถุจะขึ้นอยู่กับธรรมชาติของแสงที่ตกกระทบวัตถุนั้นการสะท้อนแสงวัตถุและคุณสมบัติในการตอบสนองของตาผู้สังเกตสีของวัตถุขึ้นอยู่กับปรากฏการณ์ที่เรียกว่า การดูดกลืนแบบเลือก



ภาพที่ 2.14 การมองเห็นสีของวัตถุจากตา [3]

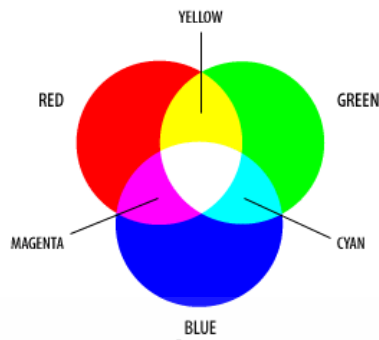
การดูดกลืนแบบเลือกเป็นผลของสีวัตถุที่แยกอนุภาคของแสงที่ส่องสว่างวัตถุนั้นส่วนหนึ่งของรังสีจะถูกกลืนไว้แล้วสะท้อนส่วนที่เหลือออกไปเช่น วัตถุที่มีสีเขียวเมื่อถูกส่องด้วยแสงแดดวัตถุนั้นจะถูกกลืนพลังงานในช่วงอินฟราเรดสีเขียวและสะท้อนแสงสีเขียวเข้าตาเราจึงมองเห็นวัตถุนั้นเป็นสี

เขียวเป็นต้น ทฤษฎีการผสมสี แบบลบบริวเตอร์ได้ทดลองเกี่ยวกับสีต่าง ๆ และพบว่าสีหลักอยู่ 3 สี ที่สามารถนำมาผสมกันเพื่อทำให้เกิดสีรุ้งทั้ง 7 ที่นิวตันได้พบในสเปกตรัมของแสงแดด สีทั้ง 3 ที่บริวสเตอร์เรียกว่าสีปฐมภูมิหรือแม่สีของวัตถุคือ สีแดงเข้ม (magenta) สีเหลือง (yellow) และสีน้ำเงินเขียว (cyan) สีเหล่านี้เรียกว่า สีปฐมภูมิแบบลบ



ภาพที่ 2.15 การผสมสีแบบบวก [3]

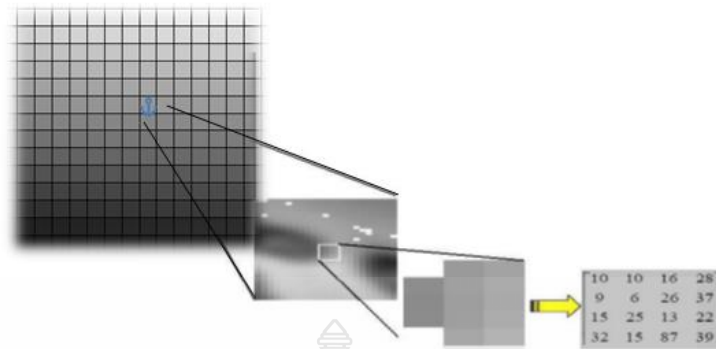
ถ้าเอาสีปฐมภูมิแบบลบคู่ใดคู่หนึ่ง มาผสมกันจะเกิดสีทุติยภูมิแบบลบขึ้นมาอีก 3 สี คือ สีแดง (red) เขียว (green) และสีน้ำเงิน (blue) ดังภาพที่ 2.15 แต่เมื่อเอาสีปฐมภูมิทั้ง 3 มาผสมรวมกันในสัดส่วนที่เท่ากันจะได้สีดำ การผสมสีแบบนี้พบได้ในสีน้ำ – สีย้อมทั่วไป ทฤษฎีการผสมสีแบบบวกในศตวรรษที่ 19 โทมัส ยังได้บัญญัติทฤษฎีที่ว่าแสงสีขาวประกอบด้วยสีปฐมภูมิ 3 สี คือ สีแดง เขียว และน้ำเงิน สีปฐมภูมิเหล่านี้สามารถผสมกันเพื่อทำให้เกิดสีรุ้งทั้ง 7 ในสเปกตรัมได้ ทฤษฎีนี้ได้รับการยืนยันจากเฮลมโฮลซ์และ แมกซ์เวลล์ เฮลมโฮลซ์ ได้ขยายงานทดลองของยังได้ระบุว่า ภายในลูกตาคนเรามีใยประสาทเกี่ยวกับการมองเห็น 3 กลุ่มแต่ละกลุ่มจะมีความรู้สึกไวต่อแสงปฐมภูมิในแต่ละช่วงต่างกันคือ กลุ่มที่ 1 ไวต่อแสงสีแดง ส่วนกลุ่มที่ 2 ไวต่อแสงสีเขียว และส่วนกลุ่มที่ 3 ไวต่อแสงสีน้ำเงินโดยคิดว่าแสงที่มีสีอยู่ระหว่างสีปฐมภูมิเหล่านี้สมองจะตีความหมายออกมาว่าเป็นสีอะไรตามทฤษฎีนี้แสงสีขาวจะเกิดจากการเร้าความรู้สึกของใยประสาททั้ง 3 กลุ่มเท่า ๆ กันในเวลาเดียวกันซึ่งสามารถใช้อธิบาย การรวมกันของสีทางสเปกตรัมได้อีกด้วยการรวมกันของสีของแสง เรียกว่า ขบวนการผสมสีแบบบวกซึ่งตรงข้ามกับทฤษฎีสีของบริวเตอร์



ภาพที่ 2.16 สีปฐมภูมิแบบลบ [3]

2.3.1 คำจำกัดความของภาพ

ภาพ (image) ประกอบด้วยกลุ่มของวัตถุที่กำหนดบริเวณต่าง ๆ ซึ่งสามารถแยกส่วนภาพออกเป็นบริเวณต่าง ๆ ตามบริเวณที่สนใจ (region of interest) ได้ หน่วยพื้นฐานของภาพ เรียกว่า จุดภาพ (pixel) โดยจุดภาพหมายถึง จุดภาพในรูปภาพที่รวมกันเป็นภาพขึ้น มีตำแหน่งพิกัด (x, y) และค่าความเข้ม (intensity) ของภาพ โดยภาพหนึ่งมีจุดภาพมากมาย และแต่ละภาพที่สร้างขึ้นมีความหนาแน่นของจุดภาพ หรือความละเอียด (ความคมชัด) ที่แตกต่างกันไป จึงใช้ในการบอกคุณสมบัติของภาพจอภาพ หรือ อุปกรณ์แสดงผลภาพได้ ภาพสี (color image) ภาพในระบบสี RGB คือเมตริกซ์ ซึ่งแสดงค่าความเข้มของแสงสีแดง (R) 8 บิต สีเขียว (G) 8 บิต และ สีน้ำเงิน (B) 8 บิต ดังนั้นภาพสีในระบบ RGB จะมีจำนวนบิตต่อจุดภาพทั้งหมด 24 บิต ทำให้สามารถแสดงสีได้ถึง 16,777,216 สี ภาพระดับสีเทา (grayscale image) จะอยู่ในรูปแบบของความเข้มแสงในแต่ละจุดภาพ โดยจะมีระดับความเข้มสีเทาคือ 0-255 (8 bit) โดยสีดำจะแทนด้วยค่าตัวเลข 255 สีขาวจะแทนด้วยค่าของตัวเลขคือ 0 รวมทั้งสิ้น 256 ระดับสีถึงแม้ว่าภาพระดับสีเทามีความซับซ้อนมากกว่าภาพ ขาว – ดำ แต่ภาพระดับ สีเทาสามารถให้ข้อมูลได้กว้างขวางมากกว่า ภาพ ขาว – ดำ เนื่องจากภาพระดับสีเทาเกิดจากการแปลงภาพสีในระบบ RGB มาเป็นภาพระดับสีเทา



ภาพที่ 2.17 ลักษณะค่าในแต่ละจุดภาพของภาพระดับสีเทา [3]

โดยใช้สูตรทางคณิตศาสตร์ ดังสมการที่ (2.1)

$$\text{Gray} = 0.299 \times R + 0.587 \times G + 0.114 \times B \quad (2.1)$$

Gray = ค่าความเข้มของสีเทาโดยจะมีค่าระหว่าง 0-255

R = ค่าความเข้มของสีแดงโดยจะมีค่าระหว่าง 0-255

G = ค่าความเข้มของสีเขียวโดยจะมีค่าระหว่าง 0-255

B = ค่าความเข้มของสีน้ำเงินโดยจะมีค่าระหว่าง 0-255

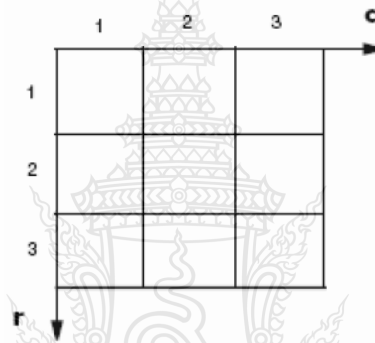
ภาพระดับสีเทา (intensity image or monochrome image or gray image) ภาพระดับสีเทาเป็นภาพที่แสดงค่าความเข้มแสง ณ แต่ละตำแหน่งของจุดภาพภายในภาพ ซึ่งภาพในแต่ละภาพจะมีลักษณะเป็นโทนสีเทา (gray scale) โดยค่าความเข้มแสงที่สามารถแสดงได้ (gray level) จะขึ้นอยู่กับจำนวนบิตที่ใช้แทนภาพในแต่ละภาพได้จาก $L = 2^k$ เมื่อ L คือ ระดับสีเทา และ k คือ ค่าจำนวนบิตที่ใช้แทนภาพ เช่น ภาพระดับสีเทาขนาด 8 บิตสามารถแสดงค่าระดับสีเทาได้ทั้งหมด 256 ระดับ และค่าที่เป็นไปได้คือ (0-255) ภาพระดับสีเทา (gray level image) หมายถึง ภาพที่มีค่าความสว่างของแต่ละจุดภาพอยู่ในช่วงสีดำ สีเทา เรื่อยไปจนถึงสีขาวซึ่งเป็นค่าความสว่างมากที่สุดสำหรับค่าของระดับสีเทานั้น ปกติแล้วจะเป็นกำลังของ 2 ซึ่งโดยทั่วไปที่ใช้จะเป็น 8 บิต (256 ระดับ) หรืออาจใช้จำนวนบิตมากหรือน้อยกว่านี้ขึ้นอยู่กับความละเอียดของภาพที่ความต้องการว่ามากหรือน้อยเพียงใด

2.3.2 Image and The Image processing toolbox

การสกัดคุณลักษณะพิเศษจากภาพ (feature extraction) เป็นวิธีหาจุดเด่นของภาพ เพื่อลดขนาดข้อมูล (dimension) ของภาพ และนำมาเป็นตัวแทนของภาพ โดยกระบวนการแปลงความข้อมูลภาพ ในการ

วิเคราะห์ภาพใช้ข้อมูล 3 ประเภท ได้แก่ 1) ข้อมูลเชิงความถี่ (spectral) คือ ค่าเฉลี่ยการเปลี่ยนแปลงของโทนสี (tone) ในช่วงของความถี่ต่างๆ 2) ข้อมูลเชิงพื้นผิว (textural) คือ การกระจายเชิงพื้นที่ของการเปลี่ยนแปลงโทนสีภายในช่วงความถี่ที่ต่างกัน 3) ข้อมูลเชิงเนื้อหา (contextual) คือ ผลที่ได้มาจากการประมวลผลภาพ ซึ่งความแตกต่างระหว่างข้อมูลเชิงความถี่และข้อมูลเชิงพื้นผิว คือ ข้อมูลเชิงความถี่เน้นไปที่ค่าการหาค่าสีเทาของจุดภาพ ส่วนข้อมูลเชิงพื้นผิวเน้นไปที่การหาค่าระดับเทาซ้ำๆ ที่เกิดการเปลี่ยนแปลงในโครงร่างของภาพ โดยมีการเปลี่ยนแปลงตามระยะทางอย่างรวดเร็วในโครงร่างที่ละเอียด และเปลี่ยนแปลงอย่างช้าๆ ในโครงร่างที่หยาบ สำหรับการวิเคราะห์โครงร่างของภาพ

2.3.2.1 Pixel coordinate



ภาพที่ 2.18 Pixel coordinate [17]

ชนิดของภาพ (Type of image) มีทั้งหมด 4 แบบ คือ

- 1) binary image ภาพขาว-ดำ
- 2) intensity image ภาพมีสีเทา
- 3) indexed image ภาพสี
- 4) RGB image ภาพสี

ส่วนประกอบของ pixel coordinate คือ ส่วนแรก r (the row) หรือแถว ซึ่งนับเพิ่มตามแนวลง ส่วนที่สอง c (the column) ซึ่งนับเพิ่มไปทางขวา

2.3.2.2 image type in the image processing toolbox

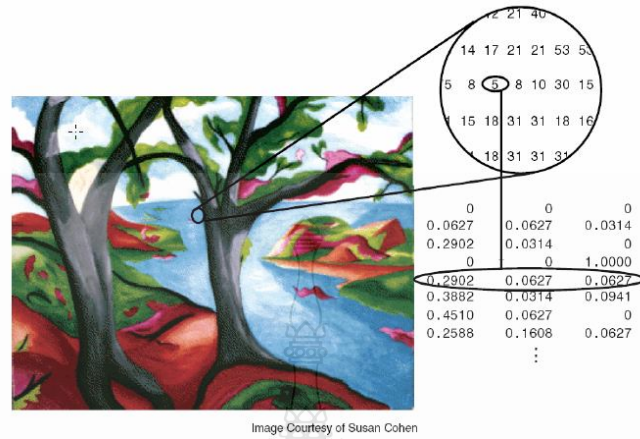


Image Courtesy of Susan Cohen

ภาพที่ 2.19 indexed image [17]

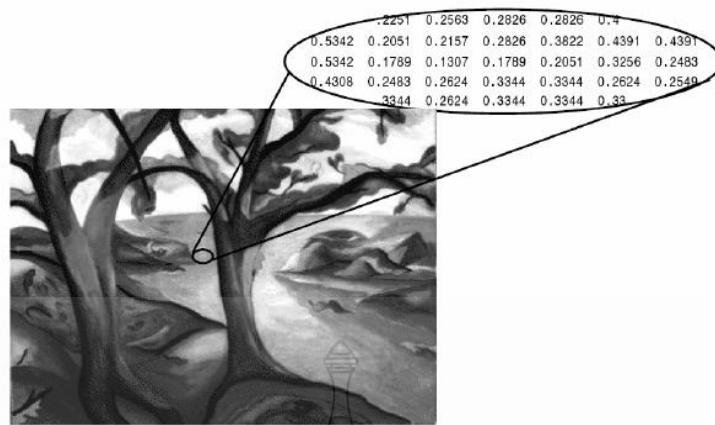
1. indirect image เป็นภาพสีที่ประกอบไปด้วย array และ color map matrix โดยการใช้ค่าตัวแปร 'X' ซึ่งบรรจุใน array ในการชี้ค่าไปที่ color map ดังแสดงในภาพที่ 2.19



The Color Planes of a Trucolor Image

ภาพที่ 2.20 RGB image [17]

2. RGB image (true color image) เป็นภาพสีซึ่งเก็บในลักษณะ red, green, blue ในรูป array $m \times n \times 3$ (โดยมี array ขนาด $m \times n$ ทั้งหมด 3 ชุด) ดังแสดงในภาพที่ 2.20



Pixel Values in a Grayscale Image Define Gray Levels

ภาพที่ 2.21 intensity image [17]

3. intensity image เป็นภาพที่มีลักษณะเป็นสีเทา การเก็บข้อมูลใน matrix จะเก็บในรูปแบบจำนวนจริงมีค่าระหว่าง 0 – 1 ซึ่งค่าระหว่างนั้นคือค่าความเข้มของสีเทา เมื่อเป็นสีดำเมื่อ = 0 และเป็นสีขาวเมื่อ = 1 ดังแสดงในภาพที่ 2.21



ภาพที่ 2.22 Binary image [17]

4. intensity image เป็นภาพสีเทาใน data matrix จะมีค่าอยู่ภายในช่วง [0 1] โดย MATLAB จะเก็บ intensity image เป็น 1 matrix ซึ่งแต่ละ element ก็คือ 1 image pixel โดยสมาชิกใน intensity matrix ก็คือค่า intensity or gray level (ความเข้มของภาพที่เป็นสีเทา) ดังแสดงในรูปที่ 2.22

2.3.3 คำสั่ง Image Processing ใน MATLAB ที่ใช้ในการเขียนโปรแกรม

2.3.3.1 imread คือ การอ่านรูปภาพจาก graphic file โดยที่ก่อนที่เราจะทำการอ่านค่าของภาพเราจำเป็นต้องใช้เช่น `color image = imread('capture.jpg');` capture.jpg เป็นชื่อ file ของภาพ

2.3.3.2 imcrop คือ การตัดรูปภาพจาก graphic file บนตำแหน่งภาพที่ต้องการนำไปประมวลผล เช่น `img = imcrop(imgRGB,[r0 c0 r1 c1]);` โดย 78 78 1140 590 คือ ตำแหน่งที่ต้องการบนภาพ

2.3.3.3 imshow คือ การแสดงรูปภาพที่เราจะทำการทดลอง โดยที่ก่อนจะใช้ฟังก์ชันนี้เราจะต้องทำการใช้ฟังก์ชัน imread เสียก่อน เช่น `color_image = imread('capture.jpg');` imshow (color_image)

2.3.3.4 figure, imshow คือการแสดงผลโดยทุกครั้งที่แสดงผลรูปให้ทำการเปิดหน้าต่างใหม่ ไม่ซ้ำหน้าต่างเดิมที่มีอยู่ เช่น `figure, imshow (color_image);` color_image เป็นชื่อตัวแปรที่แทนรูปภาพ

2.3.3.5 rgb2gray คือ การแปลง ภาพจาก RGB ไปเป็น gray scale หรือภาพสีเทา เช่น `img_g = rgb2gray(img);` โดย img ภาพที่ต้องการแปลงเป็นระดับสีเทา

2.3.3.6 `img(:,:,1)` คือ การเลือกระดับสี R ในระบบสีของภาพ RGB เพื่อนำมาประมวลผล เช่น `img_R = img(:,:,1);` โดยที่ 1 แทนระดับสี R, img_R เป็นชื่อตัวแปรที่แทนรูปภาพ

2.3.3.7 `img(:,:,2)` คือ การเลือกระดับสี G ในระบบสีของภาพ RGB เพื่อนำมาประมวลผล เช่น `img_G = img(:,:,2);` โดยที่ 2 แทนระดับสี G, img_G เป็นชื่อตัวแปรที่แทนรูปภาพ

2.3.3.8 `img(:,:,3)` คือ การเลือกระดับสี B ในระบบสีของภาพ RGB เพื่อนำมาประมวลผล เช่น `img_B = img(:,:,3);` โดยที่ 3 แทนระดับสี B, img_B เป็นชื่อตัวแปรที่แทนรูปภาพ

2.3.3.9 การทำ unsharp mask (USM) คือการเพิ่มความคมชัดให้กับภาพ โดยการทำให้เกิดความแตกต่างกัน (contrast) ที่ขอบในแต่ละพิกเซล USMทำงานโดยเพิ่มคอนทราสต์ของบริเวณขอบๆ ในภาพ ในขณะที่ไม่ปรับปรุงความคมชัดส่วนอื่นๆ ของภาพ เช่น `H = fspecial('unsharp');` `sharpened = imfilter(img_g,H,'replicate');`

2.3.3.10 im2bw คือ ซึ่งผลลัพธ์ที่ได้คือ `th=0.4235` ซึ่งตัวเลข 0.4235 หรือร้อยละ 42.35 ถ้าเทียบเป็นความเข้มของสีเทาแล้วจะอยู่ที่ $255 \times 0.4235 = 107.9925$ หรือ 108 กล่าวคือถ้าจุดพิกเซลใดมีค่าความเข้มสีเทาดำกว่าค่าเทรชโธลนั้นจะมีค่าเป็น 0 (สีดำ) ในภาพ binary และจุดพิกเซลใดที่มีค่าความเข้มสีเทาสูงกว่าค่าเทรชโธลนั้น จะมีค่าเป็น 1 (สีขาว) ในภาพ binary หลังจากนั้นผมจึงแปลงภาพให้เป็น binary เช่น

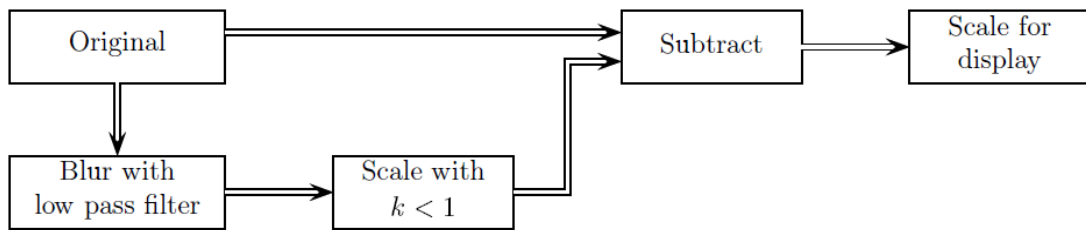
2.4 unsharp mask [17]

การทำ unsharp mask (USM) คือการเพิ่มความคมชัดให้กับภาพ โดยการทำให้เกิดความแตกต่างกัน(contrast) ที่ขอบในแต่ละพิกเซล USM ทำงานโดยเพิ่มคอนทราสต์ของบริเวณขอบๆ บนภาพ ในขณะที่ไม่แตะต้องส่วนอื่นๆ ของภาพจำนวนของความคมชัดนั้นขึ้นอยู่กับตัวแปร 3 ตัว คือ

1. ปริมาณคอนทราสต์ที่เกิดขึ้นที่ขอบพิกเซลแต่ละพิกเซล (intensity ใน NC หรือ amount ใน PS)การปรับ intensity นั้นก็ขึ้นอยู่กับความต้องการของเรา ที่จะเพิ่มให้ภาพมีขนาดความคมชัดขนาดเท่าใด

2. ขอบเขตรัศมีจำนวนของพิกเซลที่อยู่รอบบริเวณขอบของภาพ (halo width ใน NC หรือ radius ใน PS) การปรับ halo width นั้น เพื่อระบุจำนวนพิกเซลที่อยู่รอบบริเวณขอบของภาพว่าต้องการให้มืกว้างเพียงเท่าใดภาพที่มีความละเอียดสูง (high resolution) ค่า halo width หรือ radius ก็ควรมีค่าสูงตามไปด้วยแต่ถ้าภาพมีความละเอียดต่ำ ค่า halo width หรือ radius ก็ต้องมีค่าต่ำลงตามเช่นกัน

3. ค่ากำหนดความสำคัญระหว่าง พิกเซลทุกพิกเซลกับพิกเซล ที่มีค่าความต่างสีสูง (threshold) การปรับ threshold นั้นก็ เพื่อกำหนดความสำคัญของพิกเซล ถ้าค่า threshold มีค่าเป็นศูนย์ หมายถึงจะไม่พิจารณาถึงพิกเซลที่มีค่าความต่างสีสูงของภาพ จะพิจารณาความต่างเท่ากันทุกพิกเซล ดังนั้นจะให้ผลลัพธ์ภาพมีความคมชัดเท่ากันทั่วทั้งภาพแต่หากเราเพิ่มค่า threshold ขึ้นไปความคมชัดก็จะปรากฏเฉพาะบริเวณขอบภาพ เพราะพิจารณาเฉพาะพิกเซลที่มีค่าความต่างสูงเท่านั้นการทำ USM นอกจากจะทำให้ภาพมีความคมชัดเพิ่มขึ้นแล้ว เรายังได้ประโยชน์ในการที่จะไม่เพิ่มจำนวน noise ให้กับภาพอันเนื่องมาจากการทำ sharpen เพราะเราได้ใช้ประโยชน์ของ threshold ตามที่กล่าวมาแล้ว การหลีกเลี่ยง noise ที่จะปรากฏขึ้นบนภาพ เราอาจจะยกเลิกการทำ sharpen ที่ตัวกล้อง โดยการ set sharpen ที่ตัวกล้องเป็น none แล้วมาเพิ่มความคมชัดของภาพโดยใช้ USM ที่ nikon capture หรือที่ photo shop เพื่อเลือกเพิ่มความคมชัดเฉพาะขอบการทำ USM ที่ NC นั้นจะไม่ส่งผลกระทบต่อ color balance ของภาพ เพราะโปรแกรมจะทำ USM เฉพาะ luminosity channel หรือ lightness เหมือนกับที่เราทำ USM ใน PS ที่เราจะต้อง convert ภาพให้อยู่ใน lab mode เสียก่อน แล้วค่อยเลือกทำ USM ใน luminosity หรือ lightness channel ดังนั้นการทำ USM ใน NC จึงสะดวกกว่ามาก



(a) Original image (b) The image after unsharp masking

ภาพที่ 2.23 schema for unsharp masking, (a) original image
(b) the image after unsharp masking [17]

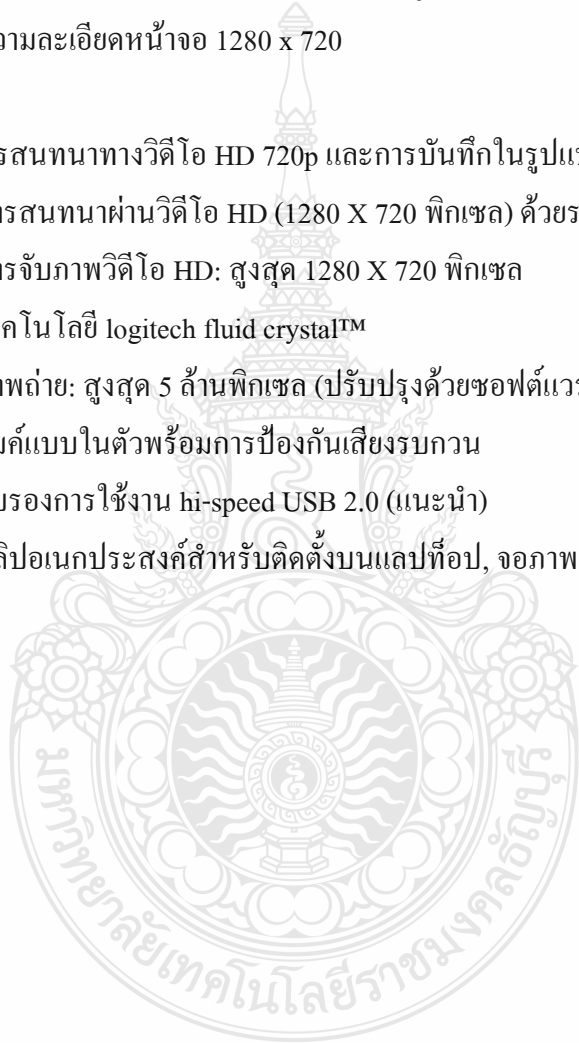
2.5 กล้องเว็บแคมที่ใช้สำหรับเก็บภาพในงานวิจัย [16]



ภาพที่ 2.24 กล้องเว็บแคม logitech HD webcam C310 [16]

- 2.5.1 คุณสมบัติทางเทคนิค
 - 2.5.1.1 ความถี่เท่ากับ 1 GHz
 - 2.5.1.2 หน่วยความจำ 512 MB ขึ้นไป
 - 2.5.1.3 ที่ว่างในฮาร์ดไดรฟ์ 200 MB
 - 2.5.1.4 2.4 GHz Intel® Core™2 Duo
 - 2.5.1.5 ความเร็วในการอัปโหลด 1 Mbps หรือสูงกว่า
 - 2.5.1.6 ความละเอียดหน้าจอ 1280 x 720

- 2.5.2 สำหรับการสนทนาทางวิดีโอ HD 720p และการบันทึกในรูปแบบ HD
 - 2.5.2.1 การสนทนาผ่านวิดีโอ HD (1280 X 720 พิกเซล) ด้วยระบบที่แนะนำ
 - 2.5.2.2 การจับภาพวิดีโอ HD: สูงสุด 1280 X 720 พิกเซล
 - 2.5.2.3 เทคโนโลยี logitech fluid crystal™
 - 2.5.2.4 ภาพถ่าย: สูงสุด 5 ล้านพิกเซล (ปรับปรุงด้วยซอฟต์แวร์)
 - 2.5.2.5 ไมค์แบบในตัวพร้อมการป้องกันเสียงรบกวน
 - 2.5.2.6 รับรองการใช้งาน hi-speed USB 2.0 (แนะนำ)
 - 2.5.2.7 กลิปอเนกประสงค์สำหรับติดตั้งบนแล็ปท็อป, จอภาพ LCD หรือ CRT



บทที่ 3

ผลการทดลอง

วิทยานิพนธ์ฉบับนี้เป็นการศึกษาเทคนิคการคัดแยกเกรดของยางพาราแผ่นรมควัน และนำเทคนิคการประมวลผลด้วยภาพมาประยุกต์ใช้เพื่อช่วยในการคัดแยกเกรด ซึ่งมีวิธีการดำเนินงานวิจัยสามารถแบ่งเป็นเรื่องต่างๆ ได้ดังต่อไปนี้

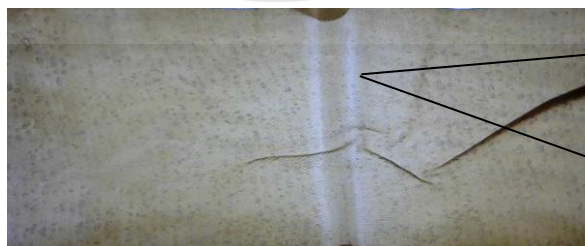
- 3.1 ศึกษาเทคนิคการคัดแยกเกรดของยางพาราแผ่นรมควัน
- 3.2 สร้างเครื่องมือเพื่อเก็บตัวอย่างยางพาราแผ่นรมควัน
- 3.3 การปรับปรุงภาพก่อนนำไปวิเคราะห์
- 3.4 สร้างเครื่องมือเพื่อสกัดคุณลักษณะของยางพาราแผ่นรมควัน
- 3.5 สกัดคุณลักษณะของยางพาราแผ่นรมควันในแต่ละเกรด

3.1 ศึกษาเทคนิคการคัดแยกเกรดของยางพาราแผ่นรมควัน



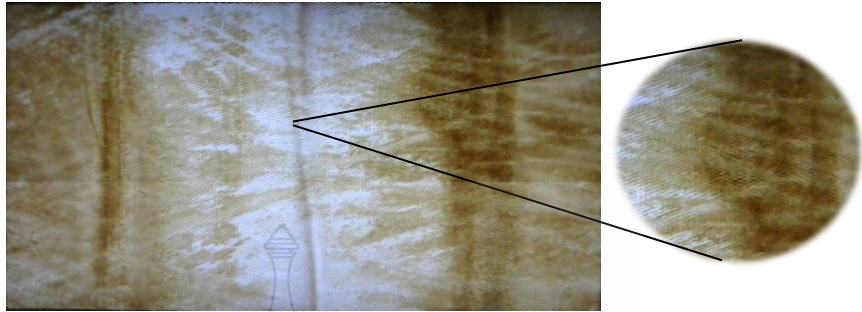
ภาพที่ 3.1 ขนาดแผ่นยางมาตรฐาน กว้าง 38-46 เซนติเมตร และความยาว 80-90 เซนติเมตร

- 3.1.1 โดยลักษณะฟองอากาศที่เกิดขึ้นมีลักษณะเป็นเม็ดเล็กๆ ฐานขึ้นมาจากผิวของแผ่นยาง



ภาพที่ 3.2 ลักษณะยางพาราแผ่นรมควันที่เกิดฟองอากาศ

3.1.2 รอยไหมบนยางจะมีลักษณะเป็นรอยค่างดำบนแผ่นยางจะมีลักษณะน้ำตาลเข้ม



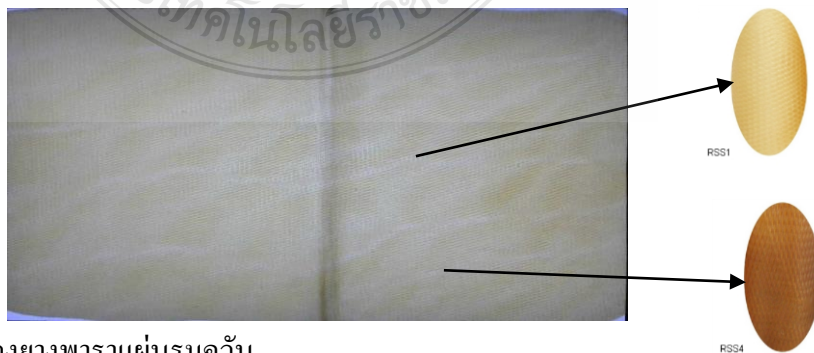
ภาพที่ 3.3 ลักษณะยางพาราแผ่นรมควันที่เกิดรอยไหมบนยาง

3.1.3 สิ่งสกปรก เช่น ทราย เนื้อไม้ อื่นๆ



ภาพที่ 3.4 ลักษณะยางพาราแผ่นรมควันที่เกิดสิ่งสกปรก เช่น ทราย เนื้อไม้ อื่นๆ

3.1.4 ความใสของแผ่นยางเป็นเกณฑ์การพิจารณาที่ให้ความสำคัญมากโดยลักษณะแผ่นยางที่มีคุณภาพจะต้องมีลักษณะที่ใส และสีเหลืองทอง

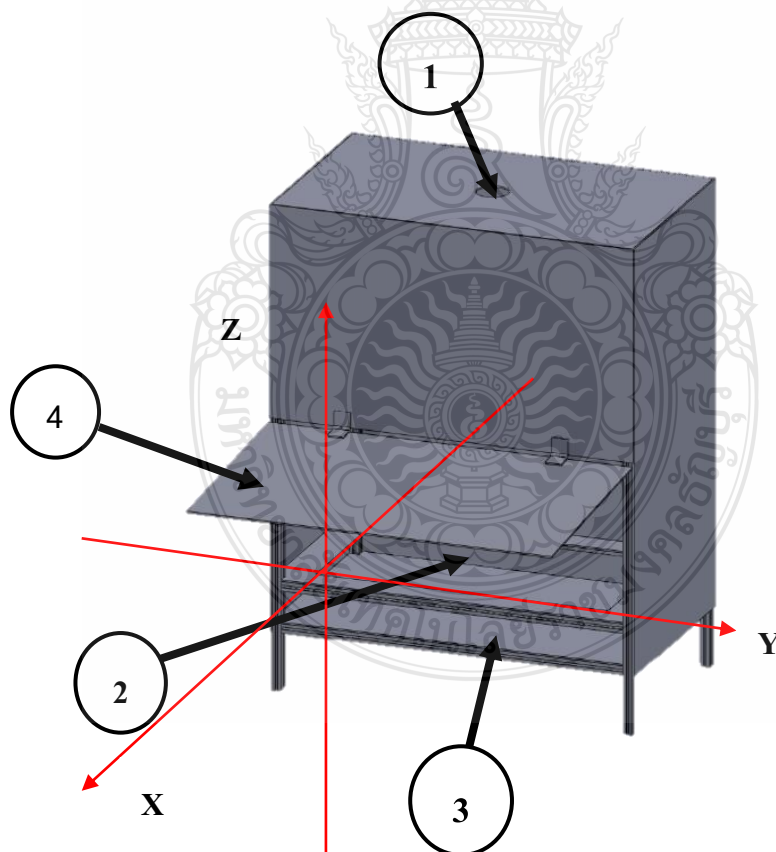


ภาพที่ 3.5 ความใสของยางพาราแผ่นรมควัน

3.2 สร้างเครื่องมือเพื่อเก็บตัวอย่างยางพาราแผ่นรมควัน

3.2.1 การออกแบบเครื่องมือเพื่อเก็บตัวอย่างยางพาราแผ่นรมควัน

การออกแบบชุดอุปกรณ์เพื่อเก็บตัวอย่างยางพาราแผ่นรมควัน มีวัตถุประสงค์ คือ กระบวนการตรวจสอบมียางแผ่นจำนวนมาก ที่มีความแตกต่างกันทางด้านสีของเนื้อยางแผ่น และลักษณะของราที่เกิดบนผิวเนื้อยางแผ่น เพื่อให้สามารถควบคุมความเปลี่ยนแปลงทางไม่สม่ำเสมอของสี (variation in color) เนื้อยางแผ่นรมควัน และความรวดเร็วในการประมวลผลโดยไม่ต้องมีขั้นตอนการเตรียมข้อมูลภาพก่อนนำไปประมวลผล (image preprocessing) สามารถทำงานได้อย่างต่อเนื่อง สัมพันธ์กันของทุกส่วนรวมถึงความทนทาน และน้ำหนักเบาเพื่อเป็นต้นแบบในการประยุกต์ใช้งานต่อไปด้วยเหตุนี้ คณะผู้วิจัยได้เลือกใช้โครงสร้างที่เป็นอะลูมิเนียม (aluminum) เพื่อให้เคลื่อนย้ายได้ง่าย เป็นเครื่องต้นแบบที่ออกแบบเพื่อนำไปสู่การพัฒนาเป็นเครื่องจักรกลในการคัดแยกเกรดมาตรฐานยางพาราแผ่นรมควัน แบบอัตโนมัติต่อไป



ภาพที่ 3.6 ส่วนประกอบ โครงสร้างเครื่องเก็บภาพระบบปิด

หมายเลข 1 ชุดติดตั้งกล้องถ่ายภาพ

หมายเลข 2 อะคริลิกฝ้า

หมายเลข 3 ชุดไฟส่องสว่าง

หมายเลข 4 ปิดด้วยวัสดุทึบแสง ปิด/เปิดด้านเดียว

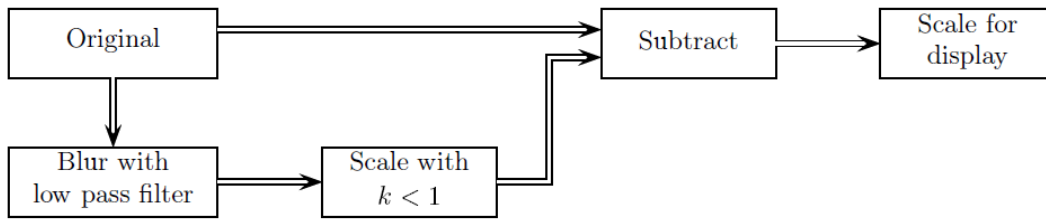
โดยสามารถปรับตั้ง (หมายเลข 1) ทำให้เลือกถ่ายภาพได้ในแนวแกนหมุนและตำแหน่งในแนวแกน x, y ชุดหลอดไฟฟ้า LED (หมายเลข 3) ควบคุมด้วยชุดควบคุมความเข้มแสง คงที่มีโดยใช้ความเข้มแสงระหว่าง 700 – 800 ลักซ์ เพื่อให้เหมาะสมกับการทดลอง และอะคริลิกฝ้า (หมายเลข 2) เป็นที่สำหรับวางยางแผ่นยางพาราขนาดมาตรฐาน กว้าง 38 – 46 ซม และยาว 80 – 90 ซม. ส่วนเครื่องคอมพิวเตอร์ที่เชื่อมต่อ กับกล้องถ่ายภาพดิจิทัลจะประมวลผลภาพดิจิทัลอยู่ภายนอกชุดควบคุม โดยกระบวนการถ่ายภาพจะควบคุมการถ่ายภาพ จากเครื่องคอมพิวเตอร์แล้วส่ง ข้อมูลภาพเข้าสู่ขั้นตอนการประมวลผลของโปรแกรมต่อไป



ภาพที่ 3.7 เครื่องมือเก็บภาพยางพาราแผ่นรมควัน

3.3 การปรับปรุงภาพก่อนนำไปวิเคราะห์

โดยการปรับปรุงภาพก่อนนำไปประมวลผลใช้กระบวนการ unsharp mask เป็นการเพิ่มความคมชัด (contrast) ระหว่างพิกเซล คือการตัดขอบให้ดูคมชัดเพื่อการประมวลผลที่ถูกต้อง



ภาพที่ 3.8 Unsharp mask process

โดยขั้นตอนการทำภาพระดับสีเทา (intensity image or monochrome image or gray image) ภาพระดับสีเทาเป็นภาพที่แสดงค่าความเข้มแสง ณ แต่ละตำแหน่งของจุดภาพภายในภาพ ซึ่งภาพในแต่ละภาพจะมีลักษณะเป็นโทนสีเทา (gray scale) โดยค่าความเข้มแสงที่สามารถแสดงได้ (gray level) จะขึ้นอยู่กับจำนวนบิตที่ใช้แทนภาพในแต่ละภาพได้จาก $L = 2^k$ เมื่อ L คือ ระดับสีเทา และ k คือ ค่าจำนวนบิตที่ใช้แทนภาพ เช่น ภาพระดับสีเทาขนาด 8 บิตสามารถแสดงค่าระดับสีเทาได้ทั้งหมด 256 ระดับ และค่าที่เป็นไปได้คือ (0-255) ภาพระดับสีเทา (gray level image) หมายถึง ภาพที่มีค่าความสว่างของแต่ละจุดภาพอยู่ในช่วงสีดำ สีเทา เรื่อยไปจนถึงสีขาวซึ่งเป็นค่าความสว่างมากที่สุดสำหรับค่าของระดับสีเทานั้น ปกติแล้วจะเป็นกำลังของ 2 ซึ่งโดยทั่วไปที่ใช้จะเป็น 8 บิต (256 ระดับ) หรืออาจใช้จำนวนบิตมากหรือน้อยกว่านี้ขึ้นอยู่กับความละเอียดของภาพที่ความต้องการว่ามากหรือน้อยเพียงใดการแบ่งช่วงสีมี 4 gray level

ช่วง pixel intensity 0 – 63 เท่ากับ 0

ช่วง pixel intensity 64 – 127 เท่ากับ 1

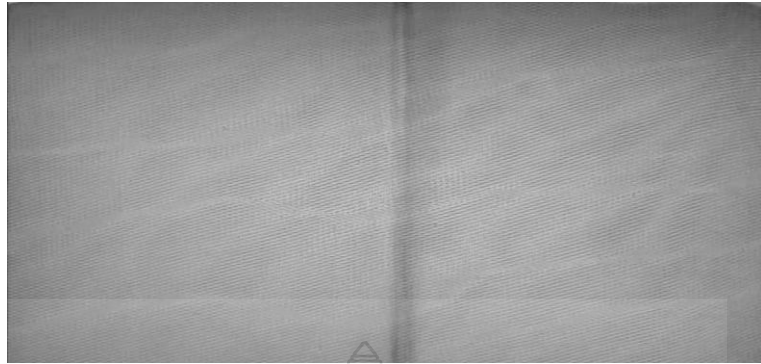
ช่วง pixel intensity 128 – 191 เท่ากับ 2

ช่วง pixel intensity 192 – 255 เท่ากับ 4

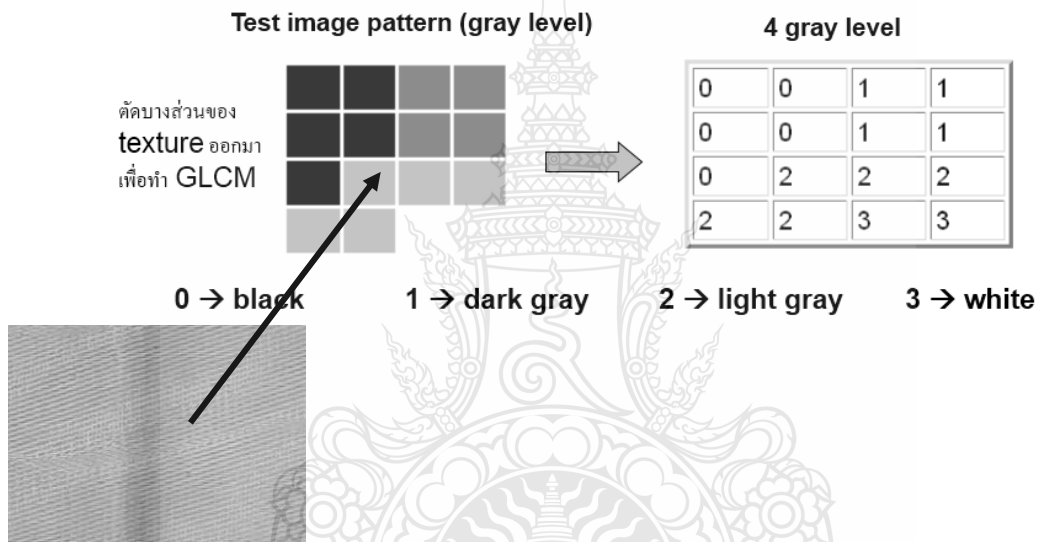
การแบ่งช่วงสีสามารถทำได้มากกว่า 4 level ตามความละเอียดของ texture



ภาพที่ 3.9 ยางพาราแผ่นรมควันก่อนกระบวนการ Gray level



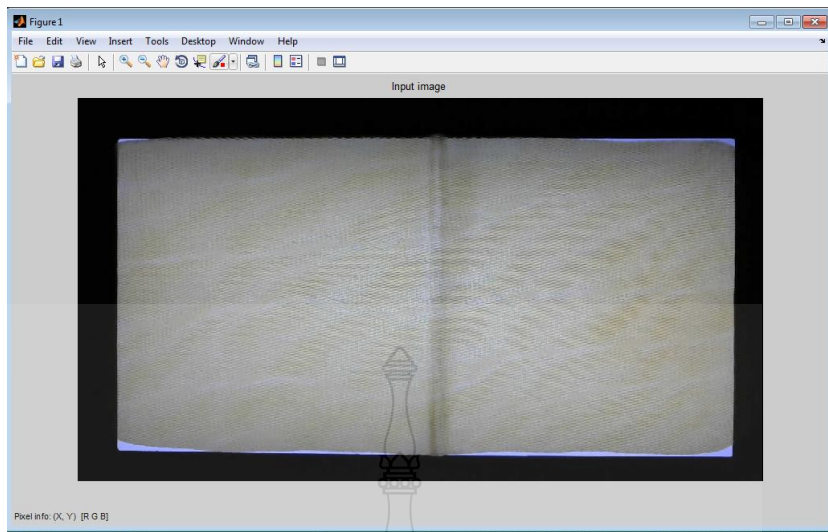
ภาพที่ 3.10 ขางพาราแผ่นรมควันหลังกระบวนการ Gray level



ภาพที่ 3.11 แสดงการแปลงค่า pixel โดยใช้ความสว่าง (brightness) ในระดับสีเทาที่เกิดขึ้นในรูปภาพ มาแสดงผลในรูปแบบ Matrix

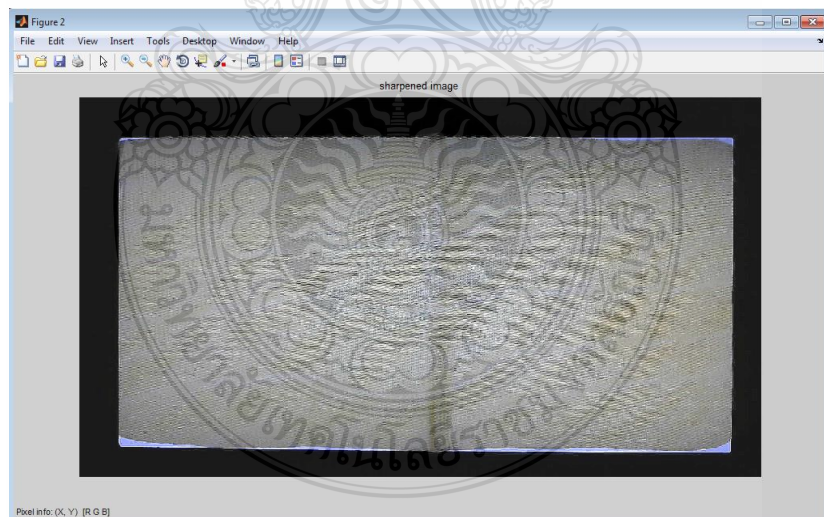
นำค่าที่ได้จากการแปลงค่าพิกเซลโดยใช้ความสว่าง (brightness) ในระดับสีเทาที่เกิดขึ้นบนภาพมาแสดงผลในรูปแบบ Matrix มาคำนวณ ผ่านตัวกรองเพื่อทำ unsharp mask เพื่อปรับปรุงขอบของภาพเพื่อให้คมชัด ดังสมการ หรือเรียกกระบวนการนี้ว่า pre-image processing

$$f = \begin{bmatrix} 0 & 0 & 0 \\ 0 & 1 & 0 \\ 0 & 0 & 0 \end{bmatrix} - \frac{1}{k} \begin{bmatrix} 1/9 & 1/9 & 1/9 \\ 1/9 & 1/9 & 1/9 \\ 1/9 & 1/9 & 1/9 \end{bmatrix} \quad (3.1)$$



ภาพที่ 3.12 ขางพาราแผ่นรมควันก่อนการปรับปรุงกระบวนการ unsharp mask

โดยภาพที่ 3.12 เป็นภาพที่ยังไม่ผ่านกระบวนการปรับปรุงโดยใช้วิธี unsharp mask จะเห็นได้ว่าขอบของภาพจะไม่มีคมชัดเพื่อให้เห็นสิ่งสกปรกที่เด่นชัดจึงต้องมีการปรับปรุงภาพก่อนนำเข้าระบบไปคำนวณในทางการประมวลผลทางภาพ

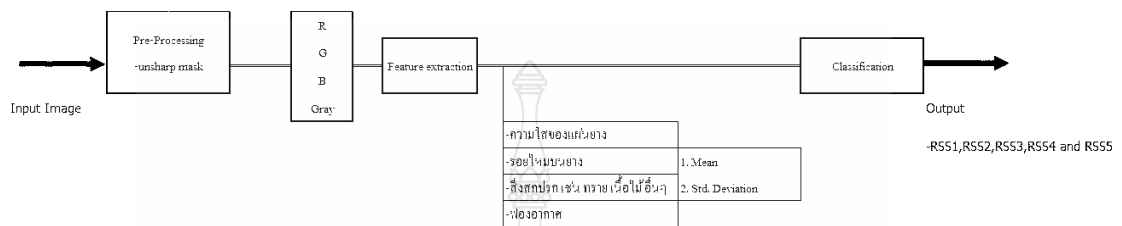


ภาพที่ 3.13 ขางพาราแผ่นรมควันหลังการปรับปรุงกระบวนการ unsharp mask

โดยภาพที่ 3.13 เป็นภาพที่ผ่านกระบวนการปรับปรุงโดยใช้วิธี unsharp mask จะเห็นได้ว่าขอบของภาพจะมีความคมชัด โดยจะสามารถเห็นความคมชัดของลวดลายและสิ่งสกปรกที่เกิดขึ้นบนแผ่นยางเพื่อให้การประมวลผลทางภาพเป็นไปอย่างถูกต้องและแม่นยำ

3.4 สร้างเครื่องมือเพื่อสกัดคุณลักษณะของยางพาราแผ่นรมควัน

ขั้นตอนการสร้างเครื่องมือเพื่อช่วยในการประมวลผลเพื่อให้มีความรวดเร็ว และแม่นยำในการประมวลผลทางภาพ โดยในงานวิจัยนี้ใช้โปรแกรม MATLAB เพื่อช่วยในการประมวลผลมีขั้นตอนดังนี้



ภาพที่ 3.14 ผังการวิเคราะห์ระบบ

3.4.1 การออกแบบโปรแกรมเพื่อช่วยในการประมวลผลทางภาพ โดยมีขั้นตอนการประมวลผลดังภาพที่ 3.14

ขั้นที่ 1 นำภาพแผ่นยางพาราเข้าระบบ

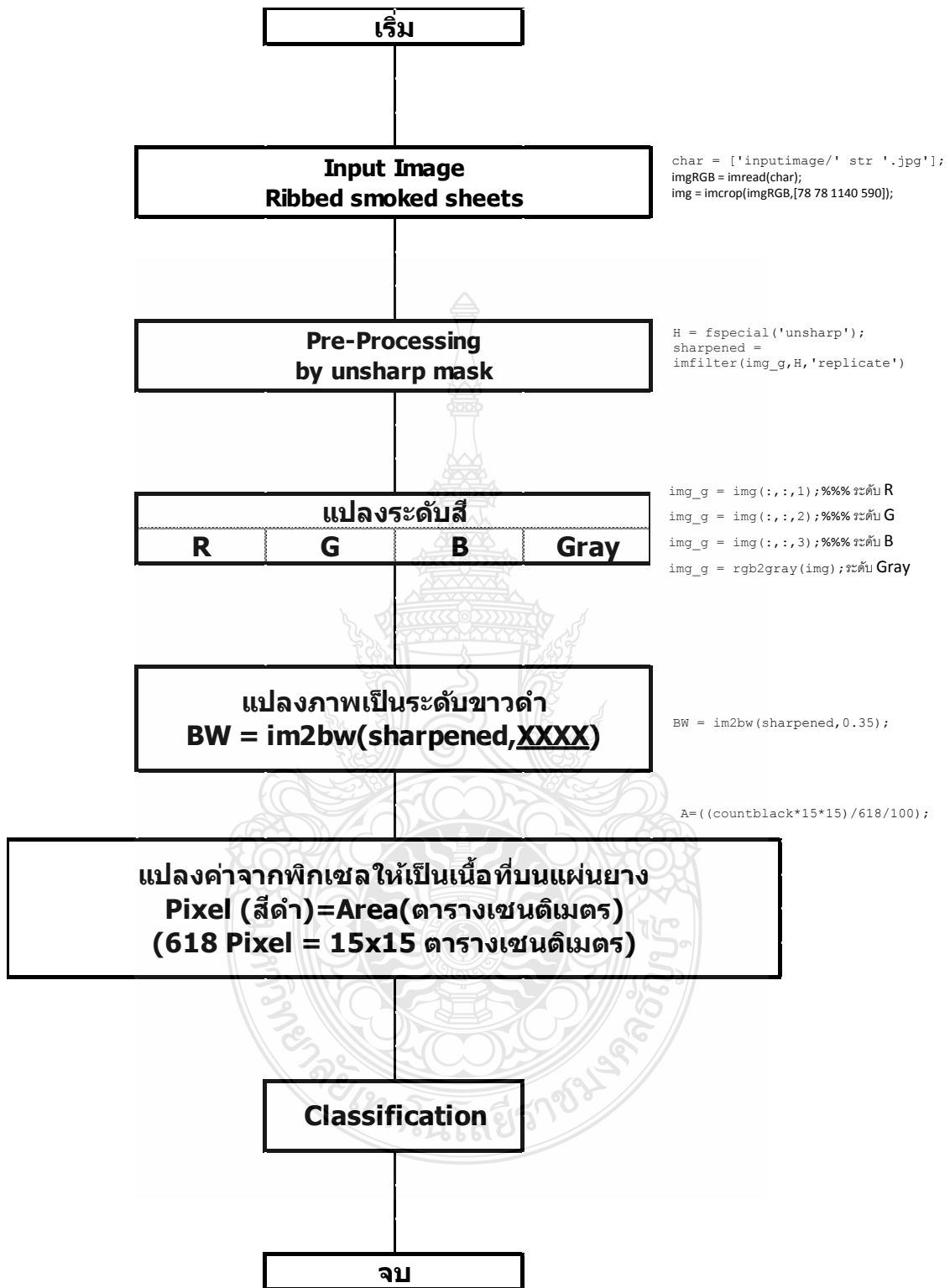
ขั้นที่ 2 ทำการปรับปรุงภาพก่อนนำเข้าระบบโดยใช้โดยใช้กระบวนการ Unsharp mask เพื่อปรับปรุงความคมชัดของภาพ

ขั้นที่ 3 แปลงภาพให้เป็นระดับสี R,G,B และ Gray เพื่อเปรียบเทียบการประมวลผล เพื่อให้การประมวลผลเหมาะสมกับสถานะของแผ่นยาง

ขั้นที่ 4 การแปลงให้ภาพอยู่ในระดับขาวดำ เพื่อตรวจสอบสิ่งสกปรกที่ปลอมปนที่อยู่บนแผ่นยาง เช่น ความใสของแผ่นยาง, รอยไหมบนยาง, สิ่งสกปรก เช่น ทราย เนื้อไม้ อื่นๆ และ ฟองอากาศ

ขั้นที่ 5 การแปลงค่าจากจุดพิกเซล ให้เป็นปริมาณสิ่งสกปรกที่มีหน่วยเป็นตารางเซนติเมตรเพื่อเปรียบเทียบในแต่ละเกรดยางพารา

ขั้นที่ 6 นำความสัมพันธ์ที่ได้จากยางพาราแผ่นมาสร้างเป็นเกณฑ์ในการ classification ของเกรดยางต่อไป



ภาพที่ 3.15 การประมวลผลของซอฟต์แวร์

3.5 สกัคคุณลักษณะของยางพาราแผ่นรมควัน



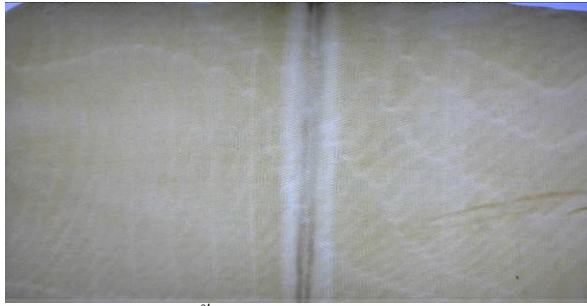
ภาพที่ 3.16 สกัคคุณลักษณะของยางพาราแผ่นรมควันในแต่ละเกรด

3.5.1 ตัวอย่างยางพาราแผ่นรมควันเกรด เกรด RSS1, RSS2, RSS3, RSS4 และ RSS5 แสดง

ดังนี้



ภาพที่ 3.17 ตัวอย่างยางพาราแผ่นรมควันชั้น 1 [2]



ภาพที่ 3.18 ตัวอย่างยางพาราแผ่นรมควันชั้น 2 [2]



ภาพที่ 3.19 ตัวอย่างยางพาราแผ่นรมควันชั้น 3 [2]



ภาพที่ 3.20 ตัวอย่างยางพาราแผ่นรมควันชั้น 4 [2]



ภาพที่ 3.21 ตัวอย่างยางพาราแผ่นรมควันชั้น 5 [2]

เก็บภาพตัวอย่างยางพาราแผ่นรมควันเพื่อนำมาวิเคราะห์ เก็บภาพตัวอย่างทั้งหมด 94 ภาพ เพื่อนำมาวิเคราะห์คุณลักษณะของเกรดยางพาราในแต่ละเกรดโดยเก็บ ณ. สหกรณ์กองทุนสวนยาง อำเภอป่องทอง



ภาพที่ 3.22 ตัวอย่างยางพาราแผ่นรมควัน RSS1, RSS2, RSS3, RSS4 และ RSS5 [2]

ตารางที่ 3.1 จำนวนภาพตัวอย่างยางพาราแผ่นรมควัน RSS1, RSS2, RSS3, RSS4 และ RSS5 สำหรับใช้ในการวิเคราะห์

ลำดับ	เกรด	จำนวน(แผ่น)
1	RSS 1	8
2	RSS 2	7
3	RSS 3	38
4	RSS 4	30
5	RSS 5	11
รวม		94

3.5.2 การแปลงระดับสี R, G, B และ Gray เปรียบเทียบเพื่อตรวจสอบความคมชัดของสิ่งสกปรกของแต่ละระดับสีดังภาพต่อไปนี้



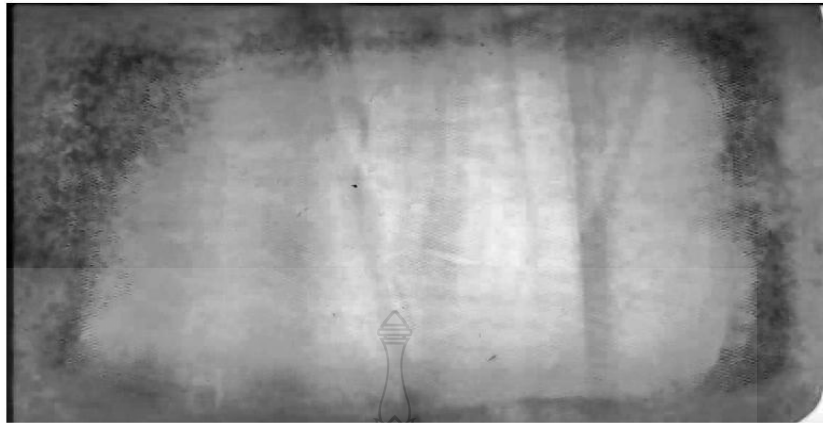
ภาพที่ 3.23 ตัวอย่างยางพาราแผ่นรมควันชั้น 5 ของระดับสี RGB



ภาพที่ 3.24 ตัวอย่างยางพาราแผ่นรมควันชั้น 5 ของระดับสี R



ภาพที่ 3.25 ตัวอย่างยางพาราแผ่นรมควันชั้น 5 ของระดับสี G



ภาพที่ 3.26 ตัวอย่างขางพาราแผ่นรมควันชั้น 5 ของระดับสี B



ภาพที่ 3.27 ตัวอย่างขางพาราแผ่นรมควันชั้น 5 ของระดับสี Gray

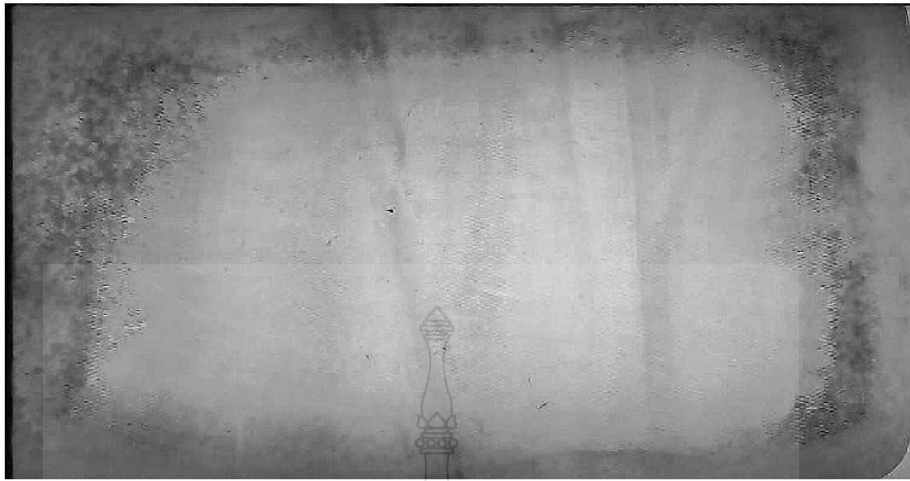
3.5.3 Pre-Processing โดยใช้กระบวนการ unsharp mask ของระดับสี R, G, B และ Gray เปรียบเทียบเพื่อตรวจสอบความคมชัดของสิ่งสกปรกของแต่ละระดับสีดังภาพต่อไปนี้



ภาพที่ 3.28 ตัวอย่างขางพาราแผ่นรมควันชั้น 5 โดยผ่านการใช้กระบวนการ unsharp mask ของระดับสี RGB



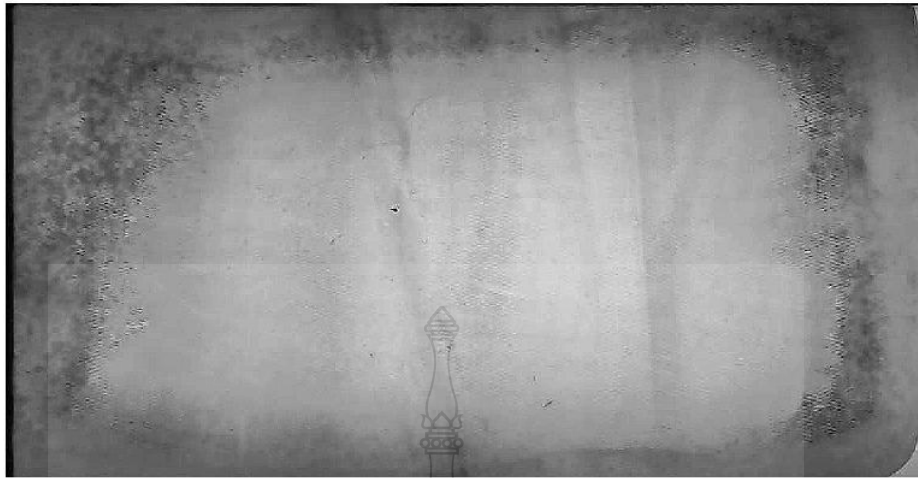
ภาพที่ 3.29 ตัวอย่างขางพาราแผ่นรมควันชั้น 5 โดยผ่านการใช้กระบวนการ unsharp mask ของระดับสี R



ภาพที่ 3.30 ตัวอย่างขางพาราแผ่นรมควันชั้น 5 โดยผ่านการใช้กระบวนการ unsharp mask ของระดับที่ G



ภาพที่ 3.31 ตัวอย่างขางพาราแผ่นรมควันชั้น 5 โดยผ่านการใช้กระบวนการ unsharp mask ของระดับที่ B

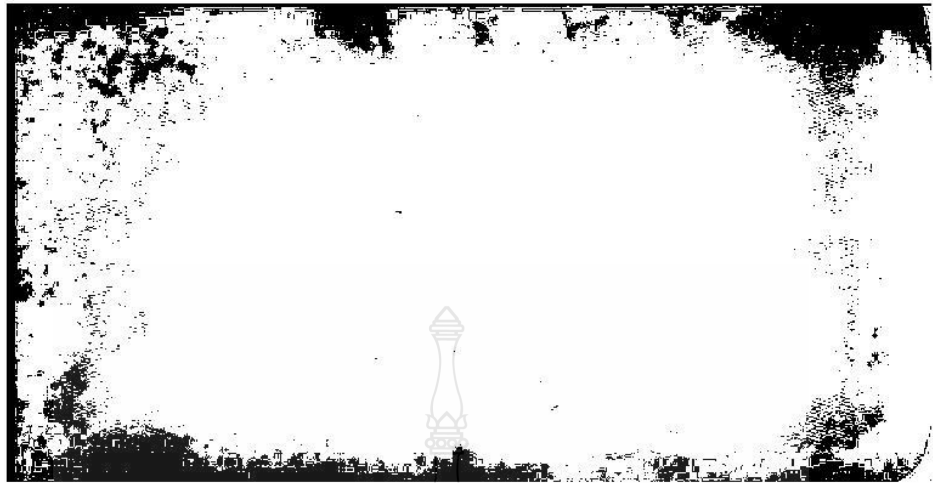


ภาพที่ 3.32 ตัวอย่างขางพาราแผ่นรมควันชั้น 5 โดยผ่านการใช้กระบวนการ unsharp mask ของระดับสี Gray

3.5.4 การแปลงภาพเป็นลักษณะขาวดำโดยการตัด เทรชโฮล (threshold) จากภาพ สีเทา (gray scale) ถ้าจุดพิกเซลใดมีค่าความเข้มสีเทาต่ำกว่าค่าเทรชโฮล (threshold) ที่ 35 เปอร์เซนต์ก็เท่ากับค่าความเข้มขึ้นบนจุดภาพ 89.25 จะมีค่าเป็น 0 (สีดำ) เพื่อดูสิ่งสิ่งปลอมปน ของระดับสี R, G, B และ Gray เปรียบเทียบเพื่อตรวจสอบความคมชัดของสิ่งสกปรกของแต่ละระดับสีดังภาพต่อไปนี้



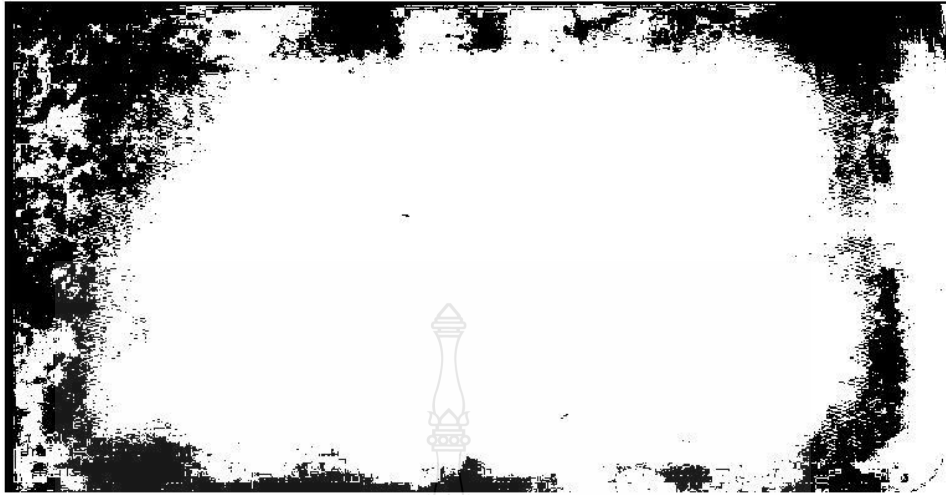
ภาพที่ 3.33 ตัวอย่างขางพาราแผ่นรมควันชั้น 5



ภาพที่ 3.34 ตัวอย่างยางพาราแผ่นรมควันชั้น 5 โดยผ่านการใช้กระบวนการแปลงเป็นภาพขาวดำของระดับสี R



ภาพที่ 3.35 ตัวอย่างยางพาราแผ่นรมควันชั้น 5 โดยผ่านการใช้กระบวนการแปลงเป็นภาพขาวดำของระดับสี G

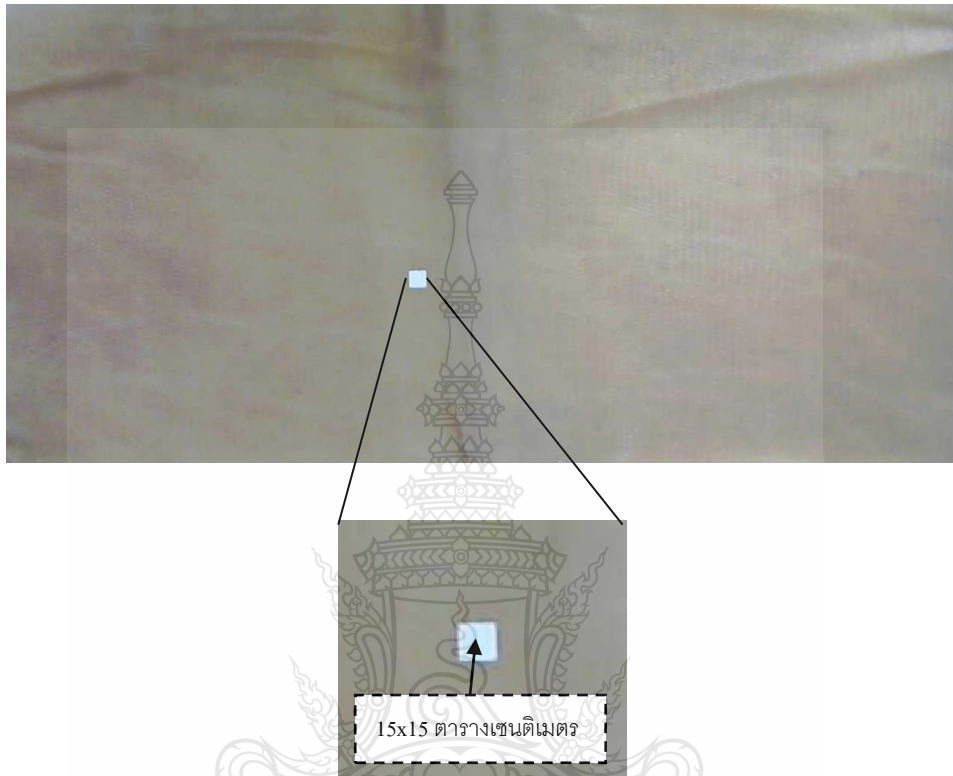


ภาพที่ 3.36 ตัวอย่างยางพาราแผ่นรมควันชั้น 5 โดยผ่านการใช้กระบวนการแปลงเป็นภาพขาวดำของระดับสี B



ภาพที่ 3.37 ตัวอย่างยางพาราแผ่นรมควันชั้น 5 โดยผ่านการใช้กระบวนการแปลงเป็นภาพขาวดำของระดับสี Gray

3.5.5 เปรียบเทียบจำนวนจุดสิ่งสกปรก (หน่วยพิกเซล) เป็นพื้นที่ (หน่วยตารางเซนติเมตร)
โดยขนาดพื้นที่ 15x15 ตารางเซนติเมตร มีค่าเท่ากับ 618 พิกเซล



ภาพที่ 3.38 เปรียบเทียบจำนวนจุดสิ่งสกปรก (หน่วยพิกเซล) เป็นพื้นที่ (หน่วยตารางเซนติเมตร)

บทที่ 4

ผลการวิจัย

โดยในบทนี้ จะกล่าวถึงผลการทดลองเปรียบเทียบสิ่งสกปรก และความใสบนแผ่นยางในแต่ละเกรดเป็นองค์ประกอบหลักในการตัดสินใจ เพื่อมาทดลองสร้างเป็น โปรแกรมเพื่อประมวลผลทางภาพในการคัดแยกเกรดยางพาราแผ่นรมควัน โดยมีการทดลองดังนี้

4.1 ทดลองเปรียบเทียบสิ่งสกปรกบนแผ่นยางในระดับสี R จำนวน 94 แผ่น

4.2 ทดลองเปรียบเทียบสิ่งสกปรกบนแผ่นยางในระดับสี G จำนวน 94 แผ่น

4.3 ทดลองเปรียบเทียบสิ่งสกปรกบนแผ่นยางในระดับสี B จำนวน 94 แผ่น

4.4 ทดลองเปรียบเทียบสิ่งสกปรกบนแผ่นยางในระดับสี Gray จำนวน 94 แผ่น

จุดมุ่งหมายของการทดลองเปรียบเทียบสิ่งสกปรก โดยใช้เทคนิคการประมวลผลทางภาพในการทดลองในระดับสี R,G,B และ Gray เพื่อทดลองการแยกกลุ่มของแต่ละเกรด โดยศึกษาวิธีการเปลี่ยนแปลงของปริมาณสิ่งสกปรกและความใสบนแผ่นยาง ในแต่ละเกรดจากนั้นนำช่วงของสิ่งสกปรกและความใสที่ได้มาทดลองสร้างเป็น โปรแกรมการแยกเกรดยางพาราแผ่นรมควัน จากนั้นทดลองเปรียบเทียบผลความถูกต้องของการคัดแยกโดยใช้ยางพาราแผ่นรมควันตัวอย่าง RSS1, RSS2, RSS3, RSS4 และ RSS5 มีผลการทดลองดังต่อไปนี้

4.5 สรุปเปรียบเทียบค่า ค่าเฉลี่ย และค่าการกระจาย ของสิ่งสกปรกบนแผ่นยางในระดับสี R, G, B และ Gray จำนวน 94 แผ่น

4.6 ผลการทดลองใช้โปรแกรมในการแยกเกรดยางพาราแผ่นรมควันทั้งหมด 94 แผ่น ที่ใช้ในการวิเคราะห์

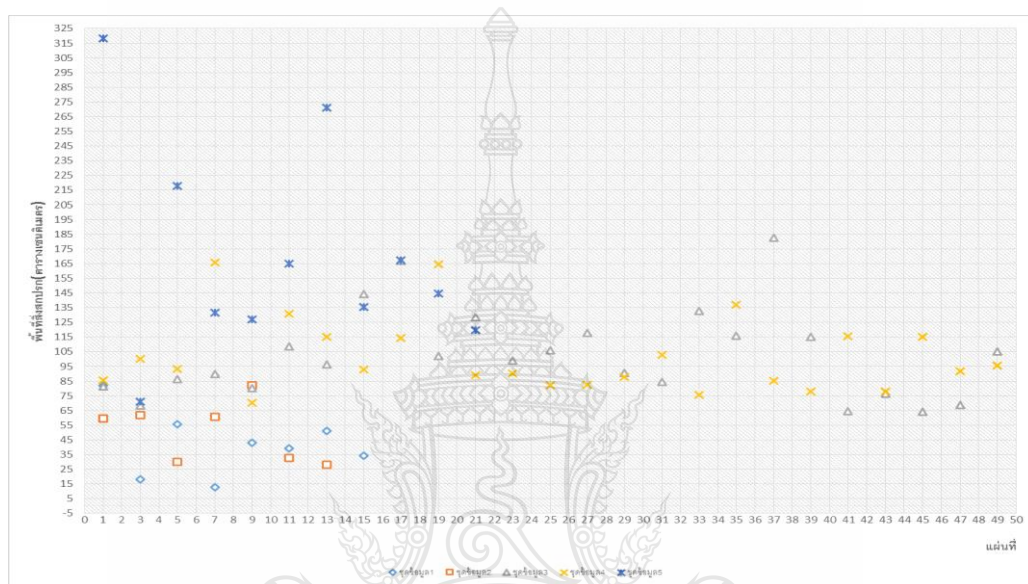
4.7 ผลการทดลองใช้โปรแกรมในการแยกเกรดยางพาราแผ่นรมควันทั้งหมด 50 แผ่น โดยได้จากการสุ่มตัวอย่าง

4.8 ผลการทดลองใช้โปรแกรมในการแยกเกรดยางพาราแผ่นรมควันทั้งหมด 68 แผ่น โดยได้จากการสุ่มตัวอย่างยางพาราเกรด RSS3 จำนวน 38 แผ่น และยางพาราเกรด RSS4 จำนวน 30 แผ่น โดยนำมาปรับปรุงช่วงของสิ่งสกปรกที่ระดับสี G

4.9 ผลการทดลองตรวจสอบความใสบนแผ่นยางของเกรด RSS1, RSS2, RSS3, RSS4 และ RSS5

4.1 ทดลองเปรียบเทียบสิ่งสกปรกบนแผ่นยางในระดับสี R จำนวน 94 แผ่น

ผลการวิเคราะห์สิ่งสกปรกบนแผ่นยางพาราแผ่นรมควันตัวอย่างทั้งหมดจำนวน 94 แผ่น ระดับสี R ในระบบ RGB เมื่อเทียบกับพื้นที่ทั้งหมดของแผ่นยางคือ 46x90 ตารางเซนติเมตร ที่ความละเอียดของพิกเซลเท่ากับ 591x1141 พิกเซล โดยแทนตั้ง แทนปริมาณสิ่งสกปรกที่มีหน่วยเป็น ตารางเซนติเมตร และแกนอน คือลำดับของแผ่นยางแผ่นที่ 1 ถึง 49



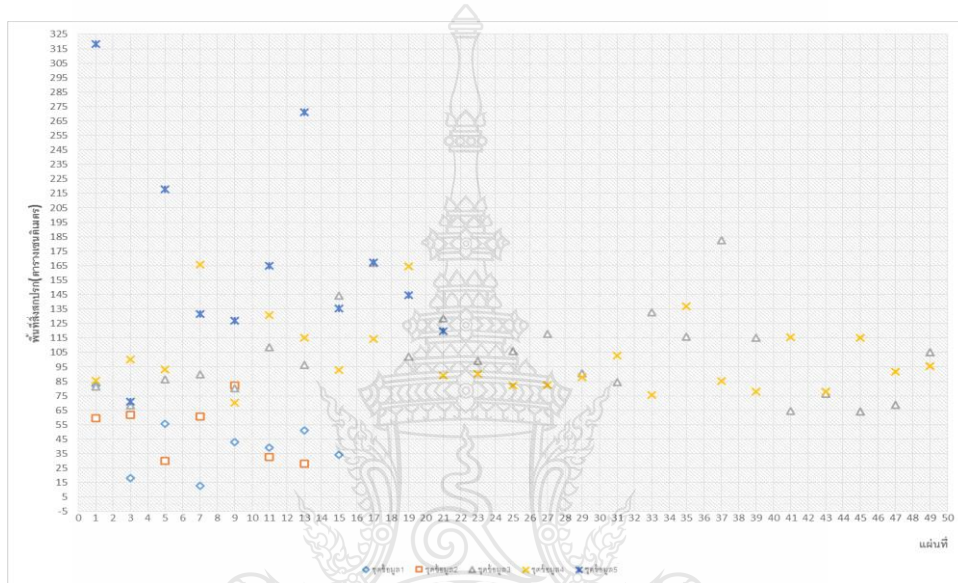
ภาพที่ 4.1 กราฟผลการวิเคราะห์พื้นที่สกปรกของแผ่นยางเกรด RSS1, RSS2, RSS3, RSS4 และ RSS5 จำนวน 94 แผ่นของระดับสี R

ตารางที่ 4.1 สรุปผลการวิเคราะห์พื้นที่สกปรกของแผ่นยางจำนวน 94 แผ่นของระดับสี R

ระดับสี RED (R)					
Descriptive Statistics					
เกรด	จำนวนแผ่น	Minimum	Maximum	Mean	Std. Deviation
RSS1	8	12.30	86.12	43.28	23.20
RSS2	7	29.63	85.68	50.98	20.84
RSS3	38	62.51	188.76	101.06	27.40
RSS4	30	75.60	171.23	106.44	25.34
RSS5	11	69.09	318.81	171.76	69.05

4.2 ทดลองเปรียบเทียบสิ่งสกปรกบนแผ่นยางในระดับสี G จำนวน 94 แผ่น

ผลการวิเคราะห์สิ่งสกปรกบนแผ่นยางพาราแผ่นรมควันตัวอย่างทั้งหมดจำนวน 94 แผ่น ระดับสี G ในระบบ RGB เมื่อเทียบกับพื้นที่ทั้งหมดของแผ่นยางคือ 46x90 ตารางเซนติเมตร ที่ความละเอียดของพิกเซลเท่ากับ 591x1141 พิกเซล โดยแทนตั้ง แทนปริมาณสิ่งสกปรกที่มีหน่วยเป็น ตารางเซนติเมตร และแกนนอน คือลำดับของแผ่นยางแผ่นที่ 1 ถึง 49



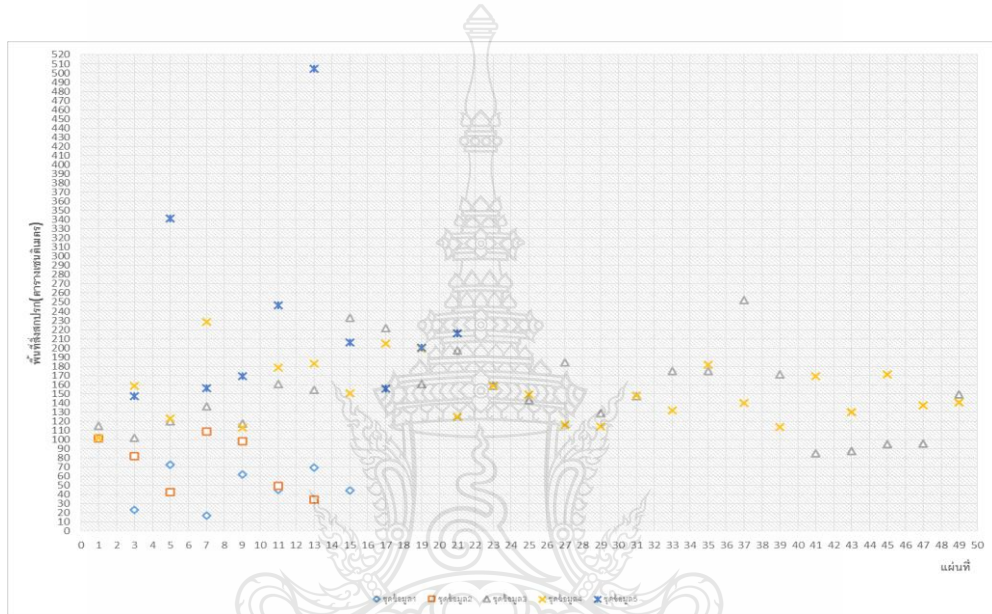
ภาพที่ 4.2 กราฟผลการวิเคราะห์พื้นที่สกปรกของแผ่นยางเกรด RSS1, RSS2, RSS3, RSS4 และ RSS5 จำนวน 94 แผ่นของระดับสี G

ตารางที่ 4.2 สรุปผลการวิเคราะห์พื้นที่สกปรกของแผ่นยางจำนวน 94 แผ่นของระดับสี G

ระดับสี GREEN (G)					
Descriptive Statistics					
เกรด	จำนวนแผ่น	Minimum	Maximum	Mean	Std. Deviation
RSS1	8	12.79	82.07	42.02	21.94
RSS2	7	28.10	82.22	50.79	20.65
RSS3	38	58.27	182.56	97.42	27.58
RSS4	30	70.27	165.65	103.27	25.90
RSS5	11	70.90	318.34	169.86	72.15

4.3 ทดลองเปรียบเทียบสิ่งสกปรกบนแผ่นยางในระดับสี B จำนวน 94 แผ่น

ผลการวิเคราะห์สิ่งสกปรกบนแผ่นยางพาราแผ่นรมควันตัวอย่างทั้งหมดจำนวน 94 แผ่น ระดับสี B ในระบบ RGB เมื่อเทียบกับพื้นที่ทั้งหมดของแผ่นยางคือ 46x90 ตารางเซนติเมตร ที่ความละเอียดของพิกเซลเท่ากับ 591x1141 พิกเซล โดยแกนตั้ง แทนปริมาณสิ่งสกปรกที่มีหน่วยเป็น ตารางเซนติเมตร และแกนนอน คือลำดับของแผ่นยางแผ่นที่ 1 ถึง 49



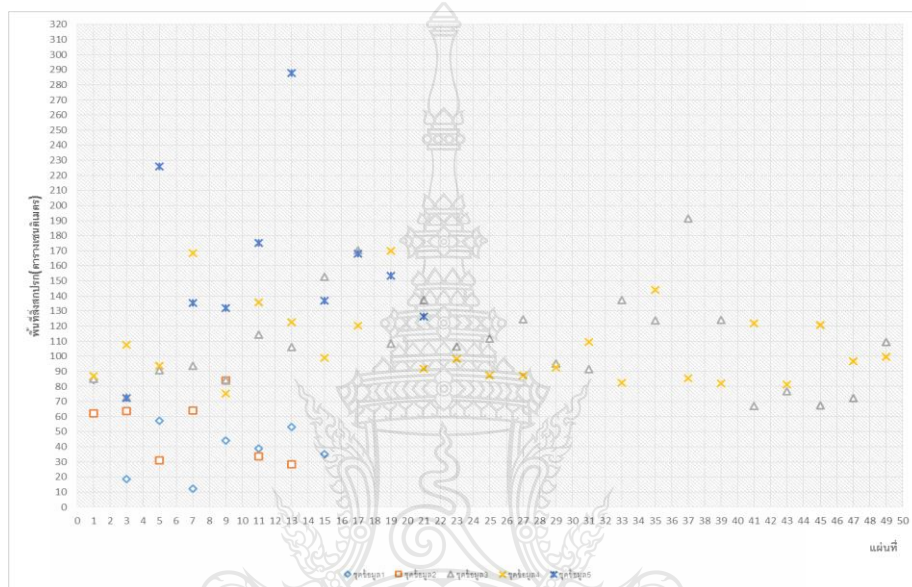
ภาพที่ 4.3 กราฟผลการวิเคราะห์พื้นที่สกปรกของแผ่นยางเกรด RSS1, RSS2, RSS3, RSS4 และ RSS5 จำนวน 94 แผ่นของระดับสี B

ตารางที่ 4.3 สรุปผลการวิเคราะห์พื้นที่สกปรกของแผ่นยางจำนวน 94 แผ่นของระดับสี B

ระดับสี BLUE (B)					
Descriptive Statistics					
เกรด	จำนวนแผ่น	Minimum	Maximum	Mean	Std. Deviation
RSS1	8	17.3374	101.4102	54.4587	27.6805
RSS2	7	34.5473	108.6226	73.7465	30.8581
RSS3	38	74.1189	252.4187	142.2677	42.0441
RSS4	30	101.5558	228.6553	153.2971	31.6932
RSS5	11	147.2985	539.0279	261.9737	139.8925

4.4 ทดลองเปรียบเทียบสิ่งสกปรกบนแผ่นยางในระดับสี Gray จำนวน 94 แผ่น

ผลการวิเคราะห์สิ่งสกปรกบนแผ่นยางพาราแผ่นรมควันตัวอย่างทั้งหมดจำนวน 94 แผ่น ระดับสี Gray ในระบบ RGB เมื่อเทียบกับพื้นที่ทั้งหมดของแผ่นยางคือ 46x90 ตารางเซนติเมตร ที่ความละเอียดของพิกเซลเท่ากับ 591x1141 พิกเซล โดยแกนตั้ง แทนปริมาณสิ่งสกปรกที่มีหน่วยเป็น ตารางเซนติเมตร และแกนนอน คือลำดับของแผ่นยางแผ่นที่ 1 ถึง 49



ภาพที่ 4.4 กราฟผลการวิเคราะห์พื้นที่สกปรกของแผ่นยางเกรด RSS1, RSS2, RSS3, RSS4 และ RSS5 จำนวน 94 แผ่นของระดับสี Gray

ตารางที่ 4.4 สรุปผลการวิเคราะห์พื้นที่สกปรกของแผ่นยางจำนวน 94 แผ่นของระดับสี Gray

ระดับสี GRAY					
Descriptive Statistics					
เกรด	จำนวนแผ่น	Minimum	Maximum	Mean	Std. Deviation
RSS1	8	12.2112	84.2221	42.9689	22.7785
RSS2	7	28.4454	83.9964	52.4074	21.3919
RSS3	38	62.8362	191.4794	102.5363	28.9615
RSS4	30	75.3532	169.7876	108.1942	26.1994
RSS5	11	72.2002	337.2269	177.2982	77.3708

4.5 สรุป เปรียบเทียบค่า ค่าเฉลี่ย และค่าการกระจาย ของสิ่งสกปรกบนแผ่นยางในระดับสี R, G, B และ Gray

โดยเป็นตารางสรุปค่าสิ่งสกปรกเมื่อเทียบกับพื้นที่ทั้งหมดของแผ่นยางคือ 46x90 ตารางเซนติเมตร ที่ความละเอียดของพิกเซลเท่ากับ 591x1141 พิกเซล แยกเป็นระดับสี R, G, B และ Gray จำนวน 94 แผ่น โดยนำค่าที่แสดงคือ ค่าเฉลี่ย (mean) และ ค่าการกระจาย (deviation) โดยผลที่แสดงมีหน่วยเป็นตารางเซนติเมตร ดังตารางที่ 4.5

ตารางที่ 4.5 สรุปเปรียบเทียบค่า ค่าเฉลี่ย และค่าการกระจาย ของสิ่งสกปรกบนแผ่นยางในระดับสี R, G, B และ Gray จำนวน 94 แผ่น

เกรด	RED		GEEN		BLUE		GRAY	
	Mean	Std. Deviation	Mean	Std. Deviation	Mean	Std. Deviation	Mean	Std. Deviation
RSS1	43.28	23.20	42.02	21.94	54.46	27.68	42.97	22.78
RSS2	50.98	20.84	50.79	20.65	73.75	30.86	52.41	21.40
RSS3	101.06	27.40	97.42	27.58	142.27	42.04	102.54	28.96
RSS4	106.44	25.34	103.27	25.90	153.30	31.69	108.19	26.20
RSS5	171.76	69.05	169.86	72.15	261.97	139.89	177.30	77.37

4.6 ผลการทดลองใช้โปรแกรมในการแยกเกรดยางพาราแผ่นรมควันทั้งหมด 94 แผ่น ที่ใช้ในการวิเคราะห์

ขั้นตอนตรวจสอบความถูกต้อง โดยการนำแผ่นยางที่นำมาวิเคราะห์ทั้งหมด 94 แผ่น ใช้ค่าเฉลี่ยของสิ่งสกปรกที่ระดับสี R, G, B และ Gray ที่มีหน่วยเป็นตารางเซนติเมตร มาแบ่งเกณฑ์เพื่อสร้างเป็นช่วงในการแบ่งเกรดยางพาราแผ่นรมควันบนมีการแบ่งช่วงสิ่งสกปรกดังต่อไปนี้

4.6.1 ที่ระดับสี R มีช่วงของสิ่งสกปรกคือ

4.6.1.1 ที่ RSS1 ช่วงสิ่งสกปรกน้อยกว่า 47.13 ตารางเซนติเมตร

4.6.1.2 ที่ RSS2 ช่วงสิ่งสกปรกมากกว่า 47.13 ตารางเซนติเมตรถึงน้อยกว่าเท่ากับ

76.02 ตารางเซนติเมตร

- 4.6.1.3 ที่ RSS3 ช่วงสิ่งสกปรกมากกว่า 76.02 ตารางเซนติเมตรถึงน้อยกว่าเท่ากับ 103.75 ตารางเซนติเมตร
- 4.6.1.4 ที่ RSS4 ช่วงสิ่งสกปรกมากกว่า 103.75 ตารางเซนติเมตรถึงน้อยกว่าเท่ากับ 139.1 ตารางเซนติเมตร
- 4.6.1.5 ที่ RSS5 ช่วงสิ่งสกปรกมากกว่า 139.1 ตารางเซนติเมตร
- 4.6.2 ที่ระดับสี G มีช่วงของสิ่งสกปรกคือ
 - 4.6.2.1 ที่ RSS1 ช่วงสิ่งสกปรกน้อยกว่า 46.40 ตารางเซนติเมตร
 - 4.6.2.2 ที่ RSS2 ช่วงสิ่งสกปรกมากกว่า 46.40 ตารางเซนติเมตรถึงน้อยกว่าเท่ากับ 74.10 ตารางเซนติเมตร
 - 4.6.2.3 ที่ RSS3 ช่วงสิ่งสกปรกมากกว่า 74.10 ตารางเซนติเมตรถึงน้อยกว่าเท่ากับ 100.34 ตารางเซนติเมตร
 - 4.6.2.4 ที่ RSS4 ช่วงสิ่งสกปรกมากกว่า 100.34 ตารางเซนติเมตรถึงน้อยกว่าเท่ากับ 136.56 ตารางเซนติเมตร
 - 4.6.2.5 ที่ RSS5 ช่วงสิ่งสกปรกมากกว่า 136.56 ตารางเซนติเมตร
- 4.6.3 ที่ระดับสี B มีช่วงของสิ่งสกปรกคือ
 - 4.6.3.1 ที่ RSS1 ช่วงสิ่งสกปรกน้อยกว่า 64.10 ตารางเซนติเมตร
 - 4.6.3.2 ที่ RSS2 ช่วงสิ่งสกปรกมากกว่า 64.10 ตารางเซนติเมตรถึงน้อยกว่าเท่ากับ 108.00 ตารางเซนติเมตร
 - 4.6.3.3 ที่ RSS3 ช่วงสิ่งสกปรกมากกว่า 108.00 ตารางเซนติเมตรถึงน้อยกว่าเท่ากับ 147.78 ตารางเซนติเมตร
 - 4.6.3.4 ที่ RSS4 ช่วงสิ่งสกปรกมากกว่า 147.78 ตารางเซนติเมตรถึงน้อยกว่าเท่ากับ 207.63 ตารางเซนติเมตร
 - 4.6.3.5 ที่ RSS5 ช่วงสิ่งสกปรกมากกว่า 207.63 ตารางเซนติเมตร
- 4.6.4 ที่ระดับสี Gray มีช่วงของสิ่งสกปรกคือ
 - 4.6.4.1 ที่ RSS1 ช่วงสิ่งสกปรกน้อยกว่า 47.68 ตารางเซนติเมตร
 - 4.6.4.2 ที่ RSS2 ช่วงสิ่งสกปรกมากกว่า 47.68 ตารางเซนติเมตรถึงน้อยกว่าเท่ากับ 77.47 ตารางเซนติเมตร
 - 4.6.4.3 ที่ RSS3 ช่วงสิ่งสกปรกมากกว่า 77.47 ตารางเซนติเมตรถึงน้อยกว่าเท่ากับ 105.36 ตารางเซนติเมตร

4.6.4.4 ที่ RSS4 ช่วงสิ่งสกปรกมากกว่า 105.36 ตารางเซนติเมตรถึงน้อยกว่าเท่ากับ 142.74 ตารางเซนติเมตร

4.6.4.5 ที่ RSS5 ช่วงสิ่งสกปรกมากกว่า 142.74 ตารางเซนติเมตร
มีผลการทดลองโดยใช้ช่วงของสิ่งสกปรกที่ระดับสี R, G, B และ Gray จำนวนทั้งหมด 94 แผ่น

ตารางที่ 4.6 ผลการทดลองโดยใช้โปรแกรมในการคัดแยกที่ระดับสี R

	RSS1 (แผ่น)	RSS2 (แผ่น)	RSS3 (แผ่น)	RSS4 (แผ่น)	RSS5 (แผ่น)	ความถูกต้อง (%)
RSS1 ที่ระดับสี R	5	2	1			62.50
RSS2 ที่ระดับสี R	3	3	1			42.86
RSS3 ที่ระดับสี R		7	16	12	3	42.11
RSS4 ที่ระดับสี R		2	16	8	4	26.67
RSS5 ที่ระดับสี R		1		4	6	54.55

ตารางที่ 4.7 ผลการทดลองโดยใช้โปรแกรมในการคัดแยกที่ระดับสี G

	RSS1 (แผ่น)	RSS2 (แผ่น)	RSS3 (แผ่น)	RSS4 (แผ่น)	RSS5 (แผ่น)	ความถูกต้อง (%)
RSS1 ที่ระดับสี G	5	2	1			62.50
RSS2 ที่ระดับสี G	3	3	1			42.86
RSS3 ที่ระดับสี G		7	17	11	3	44.74
RSS4 ที่ระดับสี G		1	18	7	4	23.33
RSS5 ที่ระดับสี G		1		4	6	54.55

ตารางที่ 4.8 ผลการทดลองโดยใช้โปรแกรมในการคัดแยกที่ระดับสี B

	RSS1 (แผ่น)	RSS2 (แผ่น)	RSS3 (แผ่น)	RSS4 (แผ่น)	RSS5 (แผ่น)	ความถูกต้อง (%)
RSS1 ที่ระดับสี B	5	3				62.50
RSS2 ที่ระดับสี B	3	3	1			42.86
RSS3 ที่ระดับสี B		8	12	15	3	31.58
RSS4 ที่ระดับสี B		1	13	15	1	50.00
RSS5 ที่ระดับสี B			1	5	8	72.73

ตารางที่ 4.9 ผลการทดลองโดยใช้โปรแกรมในการคัดแยกที่ระดับสี Gray

	RSS1 (แผ่น)	RSS2 (แผ่น)	RSS3 (แผ่น)	RSS4 (แผ่น)	RSS5 (แผ่น)	ความ ถูกต้อง (%)
RSS1 ที่ระดับสี Gray	5	2	1			62.50
RSS2 ที่ระดับสี Gray	3	3	1			42.86
RSS3 ที่ระดับสี Gray		8	13	14	3	34.21
RSS4 ที่ระดับสี Gray		1	17	8	4	26.67
RSS5 ที่ระดับสี Gray		1		4	6	54.55

4.7 ผลการทดลองใช้โปรแกรมในการแยกเกรดยางพาราแผ่นรมควันทั้งหมด 50 แผ่น โดยได้จากการ สุ่มตัวอย่าง

ขั้นตอนตรวจสอบความถูกต้อง โดยการนำแผ่นยางจากการสุ่มตัวอย่างทั้งหมด 50 แผ่น ใช้
ค่าเฉลี่ยของสิ่งสกปรกที่ระดับสี R, G, B และ Gray ที่มีหน่วยเป็นตารางเซนติเมตร มาแบ่งเกณฑ์เพื่อ
สร้างเป็นช่วงในการแบ่งเกรดยางพาราแผ่นรมควันบนมีการแบ่งช่วงสิ่งสกปรกดังต่อไปนี้

4.7.1 ที่ระดับสี R มีช่วงของสิ่งสกปรกคือ

4.7.1.1 ที่ RSS1 ช่วงสิ่งสกปรกน้อยกว่า 47.13 ตารางเซนติเมตร

4.7.1.2 ที่ RSS2 ช่วงสิ่งสกปรกมากกว่า 47.13 ตารางเซนติเมตรถึงน้อยกว่าเท่ากับ

76.02 ตารางเซนติเมตร

- 4.7.1.3 ที่ RSS3 ช่วงสิ่งสกปรกมากกว่า 76.02 ตารางเซนติเมตรถึงน้อยกว่าเท่ากับ 103.75 ตารางเซนติเมตร
- 4.7.1.4 ที่ RSS4 ช่วงสิ่งสกปรกมากกว่า 103.75 ตารางเซนติเมตรถึงน้อยกว่าเท่ากับ 139.1 ตารางเซนติเมตร
- 4.7.1.5 ที่ RSS5 ช่วงสิ่งสกปรกมากกว่า 139.1 ตารางเซนติเมตร
- 4.7.2 ที่ระดับสี G มีช่วงของสิ่งสกปรกคือ
- 4.7.2.1 ที่ RSS1 ช่วงสิ่งสกปรกน้อยกว่า 46.40 ตารางเซนติเมตร
- 4.7.2.2 ที่ RSS2 ช่วงสิ่งสกปรกมากกว่า 46.40 ตารางเซนติเมตรถึงน้อยกว่าเท่ากับ 74.10 ตารางเซนติเมตร
- 4.7.2.3 ที่ RSS3 ช่วงสิ่งสกปรกมากกว่า 74.10 ตารางเซนติเมตรถึงน้อยกว่าเท่ากับ 100.34 ตารางเซนติเมตร
- 4.7.2.4 ที่ RSS4 ช่วงสิ่งสกปรกมากกว่า 100.34 ตารางเซนติเมตรถึงน้อยกว่าเท่ากับ 136.56 ตารางเซนติเมตร
- 4.7.2.5 ที่ RSS5 ช่วงสิ่งสกปรกมากกว่า 136.56 ตารางเซนติเมตร
- 4.7.3 ที่ระดับสี B มีช่วงของสิ่งสกปรกคือ
- 4.7.3.1 ที่ RSS1 ช่วงสิ่งสกปรกน้อยกว่า 64.10 ตารางเซนติเมตร
- 4.7.3.2 ที่ RSS2 ช่วงสิ่งสกปรกมากกว่า 64.10 ตารางเซนติเมตรถึงน้อยกว่าเท่ากับ 108.00 ตารางเซนติเมตร
- 4.7.3.3 ที่ RSS3 ช่วงสิ่งสกปรกมากกว่า 108.00 ตารางเซนติเมตรถึงน้อยกว่าเท่ากับ 147.78 ตารางเซนติเมตร
- 4.7.3.4 ที่ RSS4 ช่วงสิ่งสกปรกมากกว่า 147.78 ตารางเซนติเมตรถึงน้อยกว่าเท่ากับ 207.63 ตารางเซนติเมตร
- 4.7.3.5 ที่ RSS5 ช่วงสิ่งสกปรกมากกว่า 207.63 ตารางเซนติเมตร
- 4.7.4 ที่ระดับสี Gray มีช่วงของสิ่งสกปรกคือ
- 4.7.4.1 ที่ RSS1 ช่วงสิ่งสกปรกน้อยกว่า 47.68 ตารางเซนติเมตร
- 4.7.4.2 ที่ RSS2 ช่วงสิ่งสกปรกมากกว่า 47.68 ตารางเซนติเมตรถึงน้อยกว่าเท่ากับ 77.47 ตารางเซนติเมตร
- 4.7.4.3 ที่ RSS3 ช่วงสิ่งสกปรกมากกว่า 77.47 ตารางเซนติเมตรถึงน้อยกว่าเท่ากับ 105.36 ตารางเซนติเมตร

4.7.4.4 ที่ RSS4 ช่วงสิ่งสกปรกมากกว่า 105.36 ตารางเซนติเมตรถึงน้อยกว่าเท่ากับ 142.74 ตารางเซนติเมตร

4.7.4.5 ที่ RSS5 ช่วงสิ่งสกปรกมากกว่า 142.74 ตารางเซนติเมตร
มีผลการทดลองโดยใช้ช่วงของสิ่งสกปรกที่ระดับสี R, G, B และ Gray จำนวนทั้งหมด 94 แผ่น

ตารางที่ 4.10 ผลการทดลองโดยใช้โปรแกรมในการตัดแยกที่ระดับสี R

	RSS1 (แผ่น)	RSS2 (แผ่น)	RSS3 (แผ่น)	RSS4 (แผ่น)	RSS5 (แผ่น)	ความ ถูกต้อง (%)
RSS1 ที่ระดับสี R	5	2	3			50
RSS2 ที่ระดับสี R	4	4	2			40
RSS3 ที่ระดับสี R		3	5	2		50
RSS4 ที่ระดับสี R	2	1	6		1	0
RSS5 ที่ระดับสี R		1		2	7	70

ตารางที่ 4.11 ผลการทดลองโดยใช้โปรแกรมในการตัดแยกที่ระดับสี G

	RSS1 (แผ่น)	RSS2 (แผ่น)	RSS3 (แผ่น)	RSS4 (แผ่น)	RSS5 (แผ่น)	ความ ถูกต้อง (%)
RSS1 ที่ระดับสี G	5	2	3			50
RSS2 ที่ระดับสี G	4	4	2			40
RSS3 ที่ระดับสี G		3	6	1		60
RSS4 ที่ระดับสี G	2		7		1	0
RSS5 ที่ระดับสี G		1		2	7	70

ตารางที่ 4.12 ผลการทดลองโดยใช้โปรแกรมในการตัดแยกที่ระดับสี B

	RSS1 (แผ่น)	RSS2 (แผ่น)	RSS3 (แผ่น)	RSS4 (แผ่น)	RSS5 (แผ่น)	ความ ถูกต้อง (%)
RSS1 ที่ระดับสี B	5	5				50
RSS2 ที่ระดับสี B	4	5	1			50
RSS3 ที่ระดับสี B		3	5	2		50
RSS4 ที่ระดับสี B	1	2	3	3	1	30
RSS5 ที่ระดับสี B			1	2	7	70

ตารางที่ 4.13 ผลการทดลองโดยใช้โปรแกรมในการตัดแยกที่ระดับสี Gray

	RSS1 (แผ่น)	RSS2 (แผ่น)	RSS3 (แผ่น)	RSS4 (แผ่น)	RSS5 (แผ่น)	ความ ถูกต้อง (%)
RSS1 ที่ระดับสี Gray	5	2	3			50
RSS2 ที่ระดับสี Gray	4	4	2			40
RSS3 ที่ระดับสี Gray		3	5	2		50
RSS4 ที่ระดับสี Gray	2		7		1	0
RSS5 ที่ระดับสี Gray		1		2	7	70

4.8 ผลการทดลองใช้โปรแกรมในการแยกเกรดยางพาราแผ่นรมควันทั้งหมด 68 แผ่น โดยได้จากการสุ่มตัวอย่างยางพาราเกรด RSS3 จำนวน 38 แผ่น และยางพาราเกรด RSS4 จำนวน 30 แผ่นโดยนำมาปรับปรุงช่วงของสิ่งสกปรกที่ระดับสี G

ขั้นตอนตรวจสอบความถูกต้องโดยการนำแผ่นยางที่นำมาวิเคราะห์ทั้งหมด 68 แผ่น ใช้ค่าเฉลี่ยของสิ่งสกปรกที่ระดับสี G ซึ่งเป็นระดับสีที่มองเห็นสิ่งสกปรกเด่นชัดที่สุด ที่มีหน่วยเป็นตารางเซนติเมตร โดยมีการปรับปรุงช่วงในการแบ่งเกรดโดยมีการแบ่งช่วงสิ่งสกปรกดังต่อไปนี้

4.8.1 ที่ระดับสี G มีช่วงของสิ่งสกปรกคือ

4.8.1.1 ที่ RSS3 ช่วงสิ่งสกปรกมากกว่า 50 ตารางเซนติเมตรถึงน้อยกว่าเท่ากับ 147 ตารางเซนติเมตร

4.8.1.2 ที่ RSS4 ช่วงสิ่งสกปรกมากกว่า 147 ตารางเซนติเมตรถึงน้อยกว่าเท่ากับ 290 ตารางเซนติเมตร

มีผลการทดลองโดยใช้ช่วงของสิ่งสกปรกที่ระดับสี G จำนวนทั้งหมด 68 แผ่น

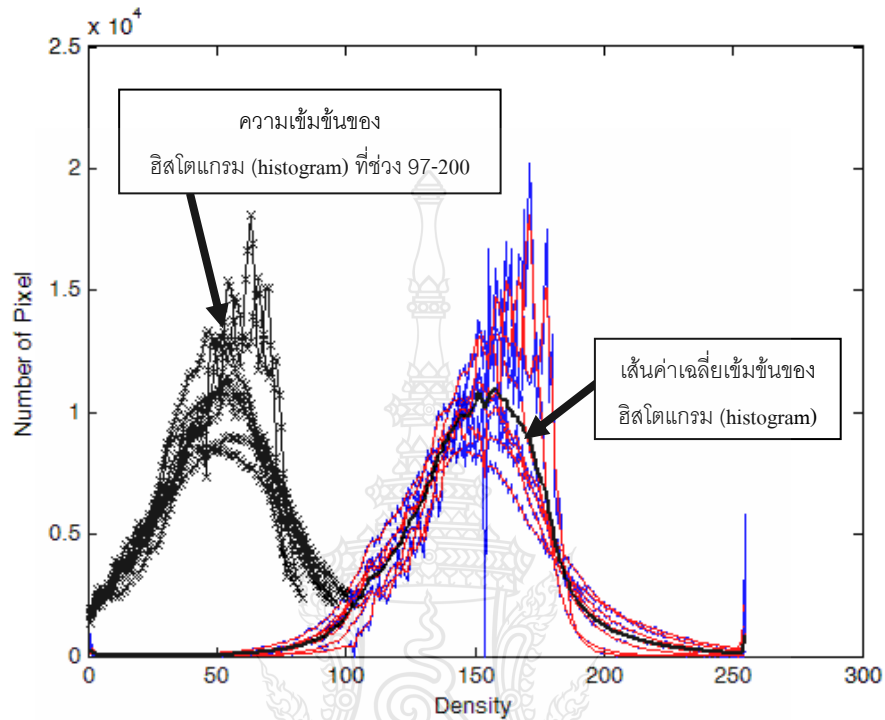
ตารางที่ 4.14 ผลการทดลองโดยใช้โปรแกรมในการคัดแยกที่ระดับสี G โดยมีการปรับปรุงช่วงของสิ่งสกปรก

	RSS3 (แผ่น)	RSS4 (แผ่น)	ความถูกต้อง (%)
RSS3 ที่ระดับสี G	19	19	50.00
RSS4 ที่ระดับสี G	13	17	56.67

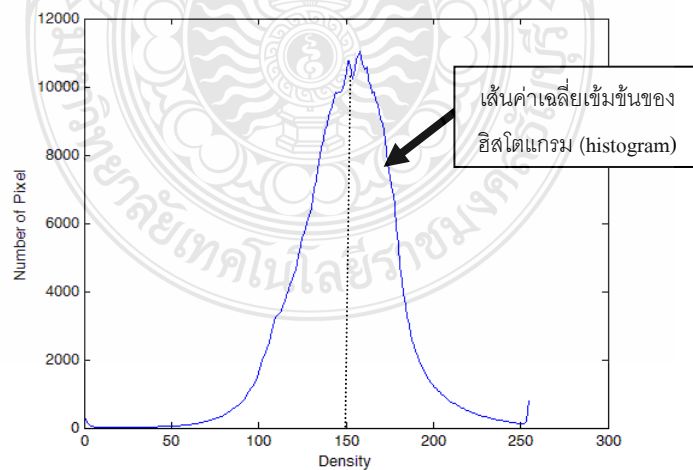
4.9 ผลการทดลองตรวจสอบความใสบนแผ่นยางของเกรด RSS1, RSS2, RSS3, RSS4 และ RSS5

โดยการทดลองเพื่อตรวจสอบความใสของยางพาราแผ่นในแต่ละเกรด โดยตรวจสอบความเข้มข้นที่ระดับสีเทา 0-255 ทัวทั้งแผ่นของแผ่นยางพาราแผ่นรมควัน โดยตรวจสอบจากความเข้มข้นของ ฮิสโตแกรม (histogram) บนจุดภาพในแต่ละ พิกเซลโดยใช้ระดับสีที่เห็นสิ่งสกปรกได้เด่นชัดที่สุดคือรูปแบบระดับสี B โดยใช้ภาพแผ่นยางพาราทั้งหมด 94 แผ่น ได้ผลการทดลองดังนี้

4.9.1 ตรวจสอบความใสของแผ่นยางทั่วทั้งแผ่นจากความเข้มข้นของ ฮิสโตแกรม (histogram) บนคุณภาพของยางพาราแผ่นรมควันชั้นที่ 1 (RSS1) ที่ระดับสี B จำนวน 8 แผ่นโดยได้ผลการทดลองดังต่อไปนี้



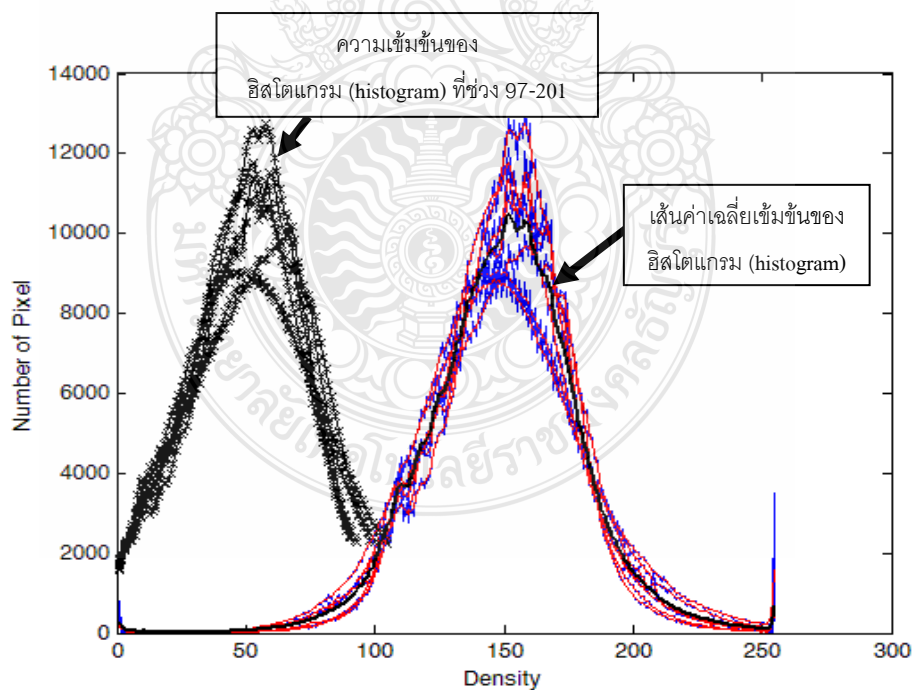
ภาพที่ 4.5 ความเข้มข้นของฮิสโตแกรม (histogram) แทนค่าความใสของยางพาราแผ่นยางเกรด RSS1 จำนวน 8 แผ่นของระดับสี B



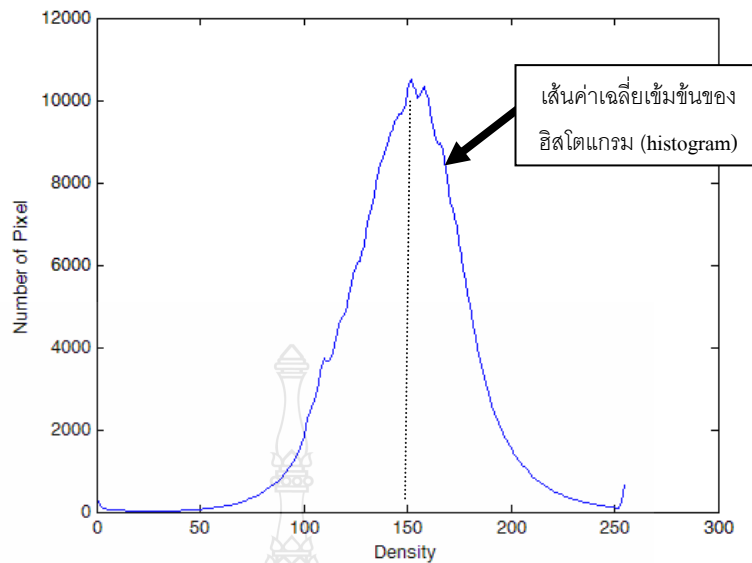
ภาพที่ 4.6 เฉลี่ยความเข้มข้นของฮิสโตแกรม (histogram) แทนค่าความใสของยางพาราแผ่นยางเกรด RSS1 จำนวน 8 แผ่นของระดับสี B

โดยผลการทดลองเพื่อตรวจสอบความใสบนภาพยางพาราแผ่นรมควันชั้นที่ 1 (RSS1) ที่ระดับสี B ดังภาพที่ 4.5 โดยที่แกนนอนแทนความเข้มข้นของฮิสโตแกรม (histogram) อยู่ที่ 0-255 และ แกนตั้งแทนจำนวนพิกเซลบนจุดภาพของความเข้มข้นของฮิสโตแกรม (histogram) นั้นๆ จากผลการทดลองดังกล่าวพบว่า ความใสบนภาพยางพาราแผ่นรมควันชั้นที่ 1 (RSS1) จำนวน 8 แผ่นที่ระดับสี B โดยตัดช่วงของความเข้มข้นของฮิสโตแกรม (histogram) มาทำการวิเคราะห์ปรากฏว่า ยางพาราแผ่นรมควันชั้นที่ 1 (RSS1) โดยผลการทดลองดังนี้ ช่วงความเข้มข้นของ ฮิสโตแกรม (histogram) อยู่ที่ 97-200, ค่าเฉลี่ยน้อยสุดของความเข้มข้นของฮิสโตแกรม (histogram) เท่ากับ 103, ค่าเฉลี่ยมากที่สุดของความเข้มข้นของฮิสโตแกรม (histogram) เท่ากับ 193 และเฉลี่ยจำนวนพิกเซล (pixel) สูงสุดที่ความเข้มข้นของฮิสโตแกรม (histogram) เท่ากับ 211,776 โดยถ้าสังเกตจากลักษณะกราฟ ดังภาพที่ 4.6 ค่าเฉลี่ยเข้มข้นของฮิสโตแกรม (histogram) เป็นรูปประฆังคว่ำที่สมมาตรกันโดยแบ่งครึ่งที่ ความเข้มข้นของฮิสโตแกรม (histogram) ที่ประมาณ 150 ที่ระดับความเข้มข้น 0-255

4.9.2 ตรวจสอบความใสของแผ่นยางทั่วทั้งแผ่นจากความเข้มข้นของ ฮิสโตแกรม (histogram) บนจุดภาพของยางพาราแผ่นรมควันชั้นที่ 2 (RSS2) ที่ระดับสี B จำนวน 7 แผ่น โดยได้ผลการทดลองดังต่อไปนี้



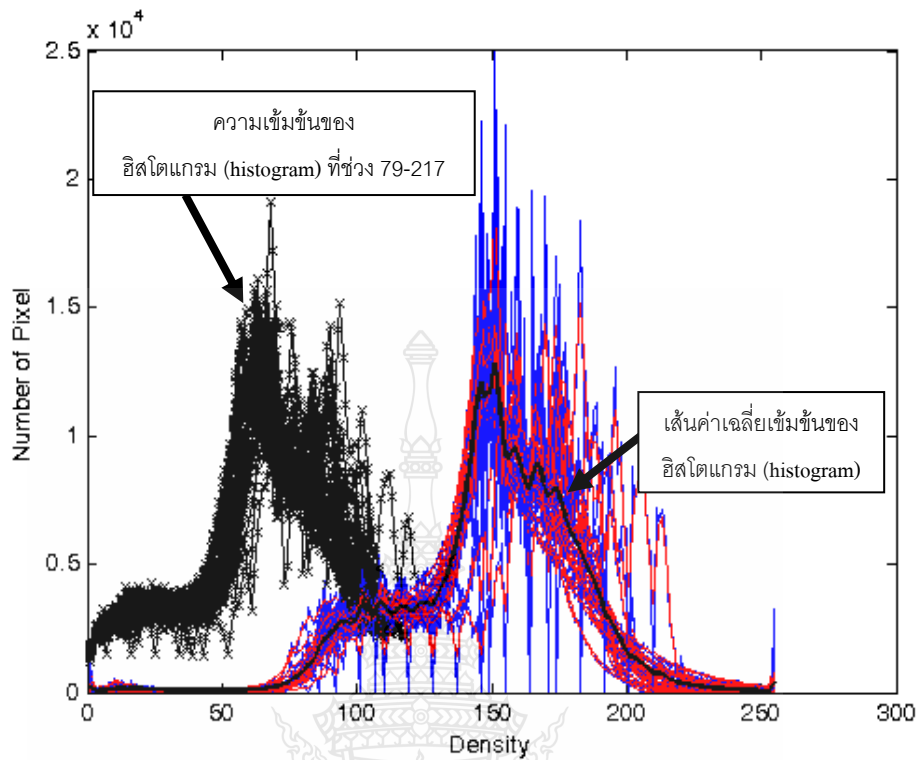
ภาพที่ 4.7 ความเข้มข้นของฮิสโตแกรม (histogram) แทนค่าความใสของยางพาราแผ่นยางเกรด RSS2 จำนวน 7 แผ่นของระดับสี B



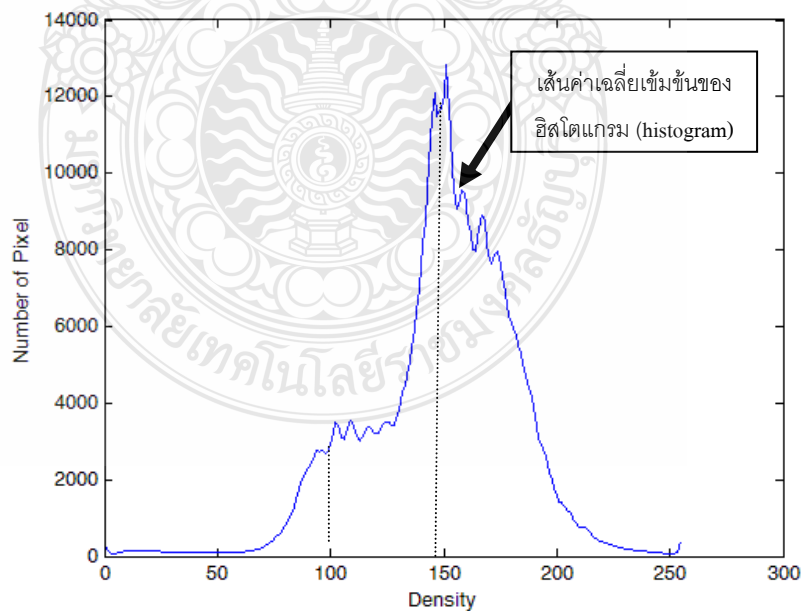
ภาพที่ 4.8 เกลี่ยความเข้มข้นของฮิสโตแกรม (histogram) แทนค่าความใสของยางพาราแผ่นยางเกรด RSS2 จำนวน 7 แผ่นของระดับสี B

โดยผลการทดลองเพื่อตรวจสอบความใสบนภาพยางพาราแผ่นรมควันชั้นที่ 2 (RSS2) ที่ระดับสี B ดังภาพที่ 4.7 โดยที่แกนนอนแทนความเข้มข้นของฮิสโตแกรม (histogram) อยู่ที่ 0-255 และ แกนตั้งแทนจำนวนพิกเซลบนจุดภาพของความเข้มข้นของฮิสโตแกรม (histogram) นั้นๆ จากผลการทดลองดังกล่าวพบว่า ความใสบนภาพยางพาราแผ่นรมควันชั้นที่ 2 (RSS2) จำนวน 7 แผ่นที่ระดับสี B โดยตัดช่วงของความเข้มข้นของฮิสโตแกรม (histogram) มาทำการวิเคราะห์ปรากฏว่า ยางพาราแผ่นรมควันชั้นที่ 2 (RSS2) โดยผลการทดลองดังนี้ ช่วงความเข้มข้นของ ฮิสโตแกรม (histogram) อยู่ที่ 97-201, ค่าเฉลี่ยน้อยสุดของความเข้มข้นของฮิสโตแกรม (histogram) เท่ากับ 101, ค่าเฉลี่ยมากสุดของความเข้มข้นของฮิสโตแกรม (histogram) เท่ากับ 195 และเฉลี่ยจำนวนพิกเซล (pixel) สูงสุดที่ความเข้มข้นของฮิสโตแกรม (histogram) เท่ากับ 192,706 โดยถ้าสังเกตจากลักษณะกราฟ ดังภาพที่ 4.8 ค่าเฉลี่ยเข้มข้นของฮิสโตแกรม (histogram) เป็นรูปประฆังคว่ำที่สมมาตรกันโดยแบ่งครั้งที่ ความเข้มข้นของฮิสโตแกรม (histogram) ที่ประมาณ 150 ที่ระดับความเข้มข้น 0-255

4.9.3 ตรวจสอบความใสของแผ่นยางทั่วทั้งแผ่นจากความเข้มข้นของ ฮิสโตแกรม (histogram) บนจุดภาพของยางพาราแผ่นรมควันชั้นที่ 3 (RSS3) ที่ระดับสี B จำนวน 38 แผ่น โดยได้ผลการทดลองดังต่อไปนี้



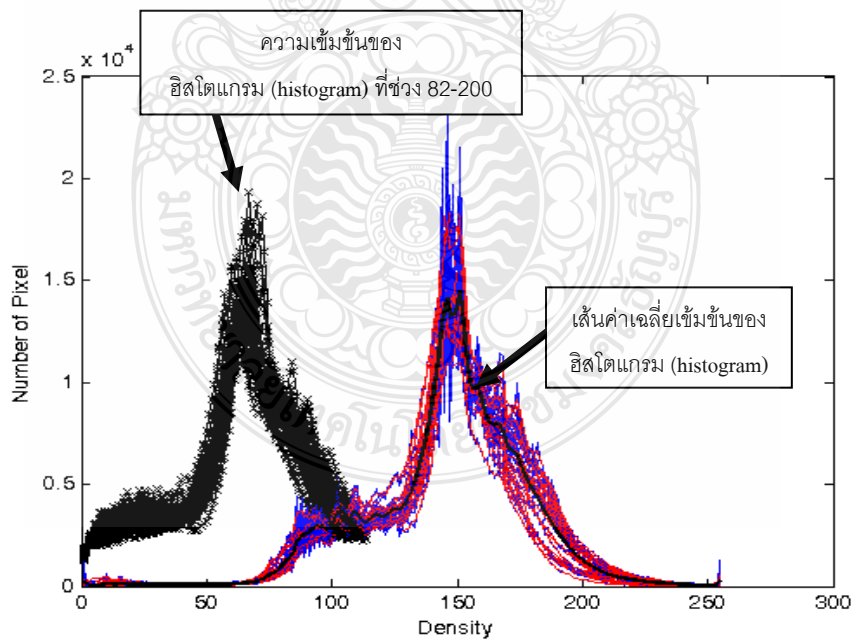
ภาพที่ 4.9 ความเข้มข้นของฮิสโตแกรม (histogram) แทนค่าความใสของยางพาราแผ่นยางเกรด RSS3 จำนวน 38 แผ่นของระดับสี B



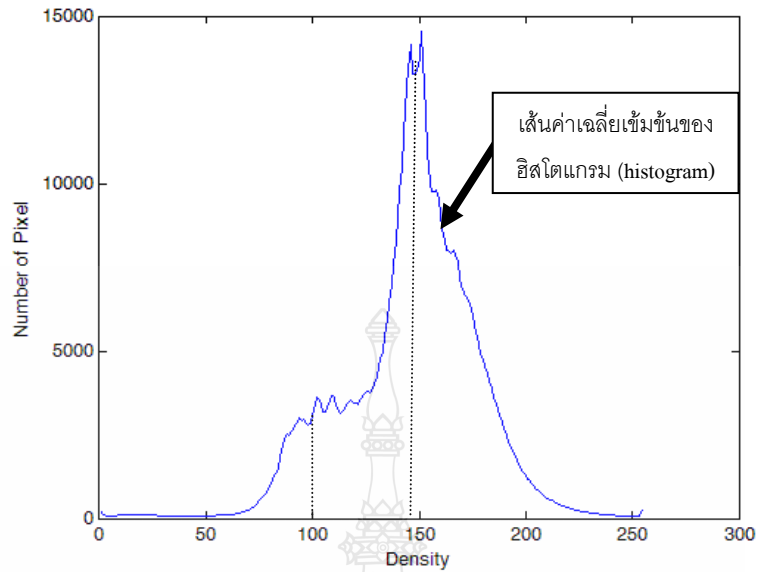
ภาพที่ 4.10 เฉลี่ยความเข้มข้นของฮิสโตแกรม (histogram) แทนค่าความใสของยางพาราแผ่นยางเกรด RSS3 จำนวน 38 แผ่นของระดับสี B

โดยผลการทดลองเพื่อตรวจสอบความใสบนภาพยางพาราแผ่นรมควันชั้นที่ 3 (RSS3) ที่ระดับสี B ดังภาพที่ 4.9 โดยที่แกนนอนแทนความเข้มข้นของฮิสโตแกรม (histogram) อยู่ที่ 0-255 และ แกนตั้งแทนจำนวนพิกเซลบนจุดภาพของความเข้มข้นของฮิสโตแกรม (histogram) นั้นๆ จากผลการทดลองดังกล่าวพบว่า ความใสบนภาพยางพาราแผ่นรมควันชั้นที่ 3 (RSS3) จำนวน 38 แผ่นที่ระดับสี B โดยตัดช่วงของความเข้มข้นของฮิสโตแกรม (histogram) มาทำการวิเคราะห์ปรากฏว่า ยางพาราแผ่นรมควันชั้นที่ 3 (RSS3) โดยผลการทดลองดังนี้ ช่วงความเข้มข้นของ ฮิสโตแกรม (histogram) อยู่ที่ 79-217, ค่าเฉลี่ยน้อยสุดของความเข้มข้นของฮิสโตแกรม (histogram) เท่ากับ 88, ค่าเฉลี่ยมากที่สุดของความเข้มข้นของฮิสโตแกรม (histogram) เท่ากับ 197 และเฉลี่ยจำนวนพิกเซล (pixel) สูงสุดที่ความเข้มข้นของฮิสโตแกรม (histogram) เท่ากับ 248,487 โดยถ้าสังเกตจากลักษณะกราฟ ดังภาพที่ 4.10 ค่าเฉลี่ยเข้มข้นของฮิสโตแกรม (histogram) เป็นรูปประฆังคว่ำที่ไม่สมมาตรกัน โดยมีลักษณะยอดของรูปประฆังคว่ำมีสองยอด ด้วยค่าความเข้มข้นของฮิสโตแกรม (histogram) ของยอดที่หนึ่งจะอยู่ที่ประมาณ 150 และอีกยอดจะอยู่ที่ประมาณ 100 ที่ระดับความเข้มข้น 0-255

4.9.4 ตรวจสอบความใสของแผ่นยางทั่วทั้งแผ่นจากความเข้มข้นของ ฮิสโตแกรม (histogram) บนจุดภาพของยางพาราแผ่นรมควันชั้นที่ 4 (RSS4) ที่ระดับสี B จำนวน 30 แผ่น โดยได้ผลการทดลองดังต่อไปนี้



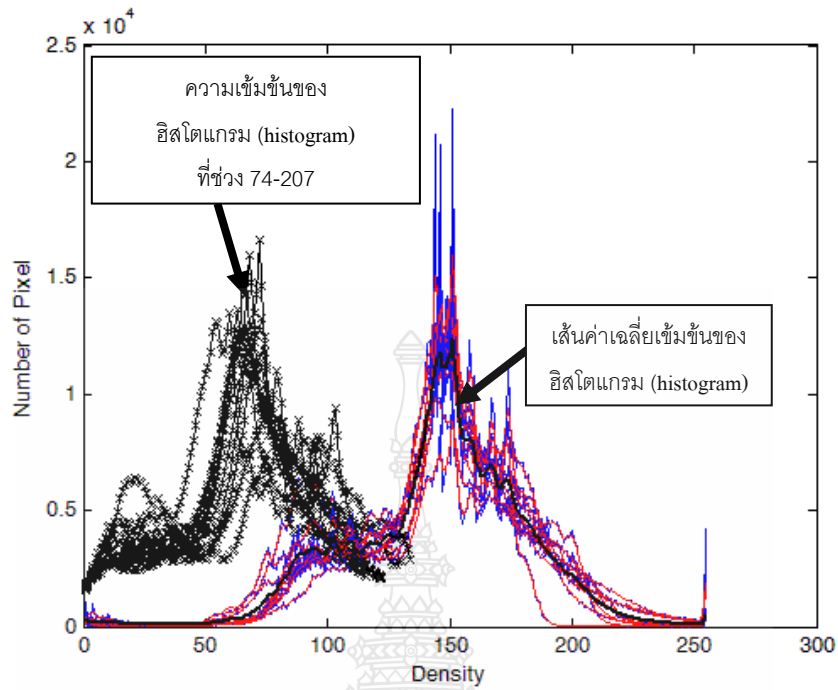
ภาพที่ 4.11 ความเข้มข้นของฮิสโตแกรม (histogram) แทนค่าความใสของยางพาราแผ่นยางเกรด RSS4 จำนวน 30 แผ่นของระดับสี B



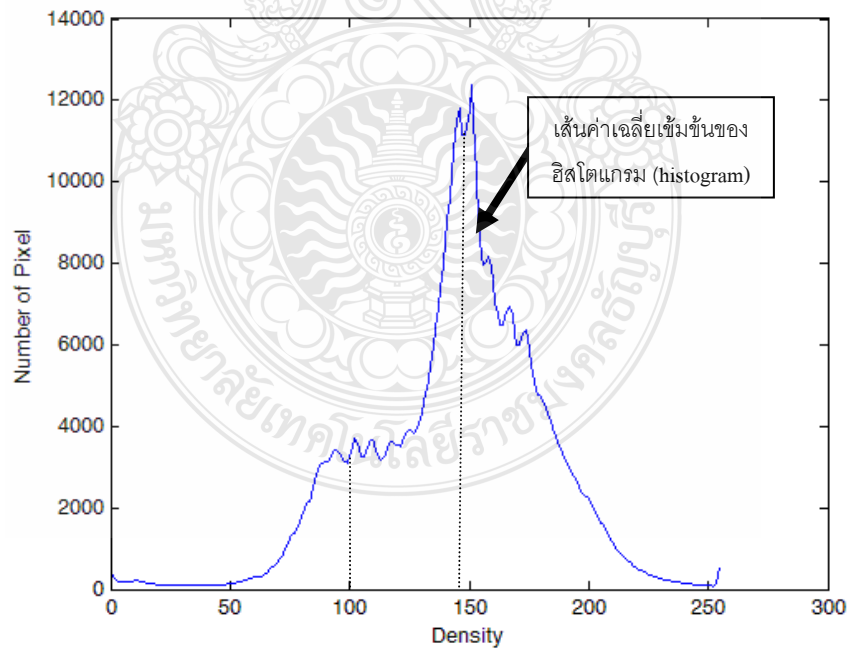
ภาพที่ 4.12 เกลี่ยความเข้มข้นของฮิสโตแกรม (histogram) แทนค่าความใสของยางพาราแผ่นยางเกรด RSS4 จำนวน 30 แผ่นของระดับสี B

โดยผลการทดลองเพื่อตรวจสอบความใสบนภาพยางพาราแผ่นรมควันชั้นที่ 4 (RSS4) ที่ระดับสี B ดังภาพที่ 4.11 โดยที่แกนนอนแทนความเข้มข้นของฮิสโตแกรม (histogram) อยู่ที่ 0-255 และ แกนตั้งแทนจำนวนพิกเซลบนจุดภาพของความเข้มข้นของฮิสโตแกรม (histogram) นั้นๆ จากผลการทดลองดังกล่าวพบว่า ความใสบนภาพยางพาราแผ่นรมควันชั้นที่ 4 (RSS4) จำนวน 38 แผ่นที่ระดับสี B โดยตัดช่วงของความเข้มข้นของฮิสโตแกรม (histogram) มาทำการวิเคราะห์ปรากฏว่า ยางพาราแผ่นรมควันชั้นที่ 4 (RSS4) โดยผลการทดลองดังนี้ ช่วงความเข้มข้นของ ฮิสโตแกรม (histogram) อยู่ที่ 82-200, ค่าเฉลี่ยน้อยสุดของความเข้มข้นของฮิสโตแกรม (histogram) เท่ากับ 86, ค่าเฉลี่ยมากสุดของความเข้มข้นของฮิสโตแกรม (histogram) เท่ากับ 192 และเฉลี่ยจำนวนพิกเซล (pixel) สูงสุดที่ความเข้มข้นของฮิสโตแกรม (histogram) เท่ากับ 268,016 โดยถ้าสังเกตจากลักษณะกราฟ ดังภาพที่ 4.12 ค่าเฉลี่ยเพิ่มขึ้นของฮิสโตแกรม (histogram) เป็นรูปประฆังคว่ำที่ไม่สมมาตรกัน โดยมีลักษณะยอดของรูปประฆังคว่ำมีสองยอด ด้วยค่าความเข้มข้นของฮิสโตแกรม (histogram) ของยอดที่หนึ่งจะอยู่ที่ประมาณ 150 และอีกยอดจะอยู่ที่ประมาณ 100 ที่ระดับความเข้มข้น 0-255

4.9.5 ตรวจสอบความใสของแผ่นยางทั่วทั้งแผ่นจากความเข้มข้นของ ฮิสโตแกรม (histogram) บนจุดภาพของยางพาราแผ่นรมควันชั้นที่ 5 (RSS5) ที่ระดับสี B จำนวน 11 แผ่น โดยได้ผลการทดลองดังต่อไปนี้

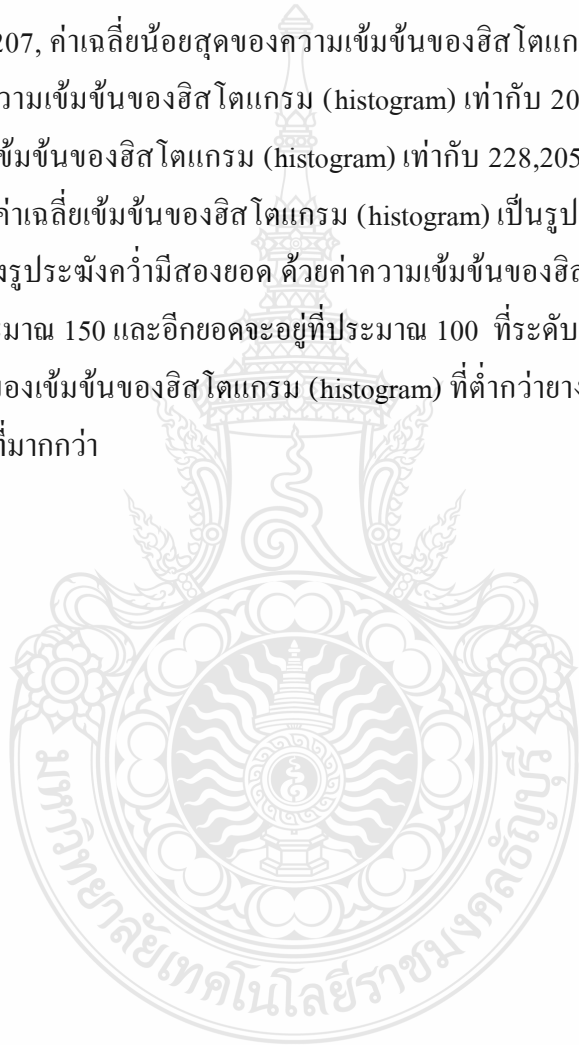


ภาพที่ 4.13 ความเข้มข้นของฮิสโตแกรม (histogram) แทนค่าความใสของยางพาราแผ่นยางเกรด RSS5 จำนวน 11 แผ่นของระดับสี B



ภาพที่ 4.14 เฉลี่ยความเข้มข้นของฮิสโตแกรม (histogram) แทนค่าความใสของยางพาราแผ่นยางเกรด RSS5 จำนวน 11 แผ่นของระดับสี B

โดยผลการทดลองเพื่อตรวจสอบความใสบนภาพยางพาราแผ่นรมควันชั้นที่ 5 (RSS5) ที่ระดับสี B ดังภาพที่ 4.13 โดยที่แกนนอนแทนความเข้มข้นของฮิสโตแกรม (histogram) อยู่ที่ 0-255 และ แกนตั้งแทนจำนวนพิกเซลบนจุดภาพของความเข้มข้นของฮิสโตแกรม (histogram) นั้นๆ จากผลการทดลองดังกล่าวพบว่า ความใสบนภาพยางพาราแผ่นรมควันชั้นที่ 5 (RSS5) จำนวน 38 แผ่นที่ระดับสี B โดยตัดช่วงของความเข้มข้นของฮิสโตแกรม (histogram) มาทำการวิเคราะห์ปรากฏว่า ยางพาราแผ่นรมควันชั้นที่ 5 (RSS5) โดยผลการทดลองดังนี้ ช่วงความเข้มข้นของ ฮิสโตแกรม (histogram) อยู่ที่ 74-207, ค่าเฉลี่ยน้อยสุดของความเข้มข้นของฮิสโตแกรม (histogram) เท่ากับ 83, ค่าเฉลี่ยมากที่สุดของความเข้มข้นของฮิสโตแกรม (histogram) เท่ากับ 201 และเฉลี่ยจำนวนพิกเซล (pixel) สูงสุดที่ความเข้มข้นของฮิสโตแกรม (histogram) เท่ากับ 228,205 โดยถ้าสังเกตจากลักษณะกราฟ ดังภาพที่ 4.14 ค่าเฉลี่ยเข้มข้นของฮิสโตแกรม (histogram) เป็นรูปประฆังคว่ำที่ไม่สมมาตรกัน โดยมีลักษณะยอดของรูปประฆังคว่ำมีสองยอด ด้วยค่าความเข้มข้นของฮิสโตแกรม (histogram) ของยอดที่หนึ่งจะอยู่ที่ประมาณ 150 และอีกยอดจะอยู่ที่ประมาณ 100 ที่ระดับความเข้มข้น 0-255 แต่จะมีปริมาณความเข้มข้นของเข้มข้นของฮิสโตแกรม (histogram) ที่ต่ำกว่ายางพาราแผ่นรมควันเกรดอื่น เนื่องจากมีสิ่งสกปรกที่มากกว่า



บทที่ 5

สรุปผลงานวิจัยและข้อเสนอแนะ

งานวิทยานิพนธ์นี้เป็นการสรุปผลการทดลอง และการเปรียบเทียบผลที่ได้จากบทที่ 4 ที่ได้ศึกษาเทคนิคการคัดแยกเกรดมาตรฐานยางพาราแผ่นรมควัน และนำเทคนิคการประมวลผลทางภาพมาช่วยในการคัดแยกเกรด โดยการวิเคราะห์ข้อมูลใช้ยางพาราแผ่นรมควันเกรด RSS1, RSS2, RSS3, RSS4 และ RSS5 โดยแยกออกเป็น 3 ส่วนดังนี้

1. นำช่วงการเปลี่ยนแปลงของสิ่งสกปรกของแต่ละเกรดมาพัฒนาเป็นโปรแกรมเพื่อช่วยในการคัดแยก จำนวน 94 แผ่น จากภาพแผ่นยางพาราที่นำมาวิเคราะห์เพื่อตรวจสอบความถูกต้องของโปรแกรม
2. นำช่วงการเปลี่ยนแปลงของสิ่งสกปรกของแต่ละเกรดมาพัฒนาเป็นโปรแกรมเพื่อช่วยในการคัดแยกโดยสุ่มตัวอย่างยางพาราแผ่นรมควัน จำนวน 50 แผ่น
3. การทดลองตรวจสอบความใสบนแผ่นยางของเกรด RSS1, RSS2, RSS3, RSS4 และ RSS5 จำนวน 94 แผ่น จากภาพแผ่นยางพาราที่นำมาวิเคราะห์

5.1 สรุปผลงานวิจัย

5.1.1 จากการศึกษาทดลองเปรียบเทียบสิ่งสกปรกบนแผ่นยางในระดับสี R, G, B และ Gray โดยการนำช่วงการเปลี่ยนแปลงของสิ่งสกปรกของแต่ละเกรดมาพัฒนาเป็นโปรแกรมเพื่อช่วยในการคัดแยก จำนวน 94 แผ่น จากภาพแผ่นยางพาราที่นำมาวิเคราะห์เพื่อตรวจสอบความถูกต้องของโปรแกรม จากผลการทดลองในบทที่ 4 พบว่าที่ระดับสี B ได้ค่าความถูกต้องเฉลี่ยในแต่ละเกรดมากที่สุดคือ เกรด RSS1 ที่ระดับสี B มีค่าความถูกต้อง 62.50%, เกรด RSS2 ที่ระดับสี B มีค่าความถูกต้อง 42.86%, เกรด RSS3 ที่ระดับสี B มีค่าความถูกต้อง 31.58%, เกรด RSS4 ที่ระดับสี B มีค่าความถูกต้อง 50.00%, และ เกรด RSS5 ที่ระดับสี B มีค่าความถูกต้อง 72.73%

5.1.2 จากการศึกษาทดลองเปรียบเทียบสิ่งสกปรกบนแผ่นยางในระดับสี R, G, B และ Gray โดยการนำช่วงการเปลี่ยนแปลงของสิ่งสกปรกของแต่ละเกรดมาพัฒนาเป็นโปรแกรมเพื่อช่วยในการคัดแยก จากการสุ่มตัวอย่างยางพาราแผ่นรมควัน จำนวน 50 แผ่น จากผลการทดลองในบทที่ 4 พบว่าที่ระดับสี B ได้ค่าความถูกต้องเฉลี่ยในแต่ละเกรดมากที่สุดคือ เกรด RSS1 ที่ระดับสี B มีค่าความถูกต้อง 50%, เกรด RSS2 ที่ระดับสี B มีค่าความถูกต้อง 50%, เกรด RSS3 ที่ระดับสี B มีค่าความ

ถูกต้อง 50%, เกรด RSS4 ที่ระดับสี B มีค่าความถูกต้อง 30%, และ เกรด RSS5 ที่ระดับสี B มีค่าความถูกต้อง 70%

5.1.3 การทดลองตรวจสอบความใสบนแผ่นยางของเกรด RSS1, RSS2, RSS3, RSS4 และ RSS5 จำนวน 94 แผ่น จากภาพแผ่นยางพาราที่นำมาวิเคราะห์ การทดลองเพื่อตรวจสอบความใสของยางพาราแผ่นในแต่ละเกรด ตรวจสอบความเข้มข้นที่ระดับสีเทา 0-255 ทัวทั้งแผ่นของแผ่นยางพาราแผ่นรมควัน โดยตรวจสอบจากความเข้มข้นของฮิสโตแกรม (histogram) บนจุดภาพในแต่ละ พิกเซล (pixel) โดยใช้ระดับสีที่เห็นสิ่งสกปรกได้เด่นชัดที่สุดคือรูปแบบระดับสี B จากการทดลองพบว่ายางพาราแผ่นรมควันชั้นที่ 1 (RSS1) และ ยางพาราแผ่นรมควันชั้นที่ 2 (RSS2) มีลักษณะความเข้มข้นของฮิสโตแกรมที่ใกล้เคียงกันโดยสังเกตจากลักษณะกราฟจะเป็นรูประฆังคว่ำที่สมมาตรกัน โดยแบ่งครึ่งที่ค่าความเข้มข้นของฮิสโตแกรมที่ 150 จากระดับสีเทา 0-255, ยางพาราแผ่นรมควันชั้นที่ 3 (RSS3) และ ยางพาราแผ่นรมควันชั้นที่ 4 (RSS4) มีลักษณะความเข้มข้นของฮิสโตแกรมที่ใกล้เคียงกันโดยสังเกตจากลักษณะกราฟจะเป็นรูประฆังคว่ำที่ไม่สมมาตรกันโดยลักษณะกราฟจะเบ้ไปทางด้านซ้ายในช่วงระดับความเข้มข้นของฮิสโตแกรม 60 ถึง 140 จากระดับสีเทา 0-255 แสดงว่าความใสของยางพาราแผ่นรมควันชั้นที่ 3 และ 4 มีความใสลดลงเมื่อสังเกตจากความเข้มข้นของฮิสโตแกรม และ ยางพาราแผ่นรมควันชั้นที่ 5 (RSS5) มีลักษณะความเข้มข้นของฮิสโตแกรมที่เมื่อสังเกตจากลักษณะกราฟจะเป็นรูประฆังคว่ำที่ไม่สมมาตรกัน โดยลักษณะกราฟจะเบ้ไปทางด้านซ้ายในช่วงระดับความเข้มข้นของฮิสโตแกรม 50 ถึง 130 จากระดับสีเทา 0-255 แสดงว่าความใสของยางพาราแผ่นรมควันชั้นที่ 5 มีความใสในปริมาณที่น้อยกว่ายางพาราแผ่นรมควันชั้นที่ 1, 2, 3 และ 4 เมื่อสังเกตจากความเข้มข้นของฮิสโตแกรม

5.2 ข้อเสนอแนะ

ในการทำวิจัยการคัดแยกเกรดมาตรฐานยางพาราแผ่นรมควันโดยใช้วิธีการประมวลผลด้วยภาพโดยทำการวิจัยเป็นเชิงคุณภาพ จะเห็นได้ว่าเป็นระบบทำงานเป็นการสุ่มตัวอย่างเก็บผลและทดลองผล จึงทำให้การเก็บผลการทดลองนั้นบางตัวแปรไม่สามารถควบคุมได้ เท่าที่ควรจึงให้ข้อเสนอแนะไว้สำหรับผู้ที่สนใจในการนำไปพัฒนาหรือทำการศึกษาเพิ่มเติม

5.2.1 ควรมีการวิเคราะห์เพิ่มเติมในด้านเทคนิคการคัดแยกเกรดในแต่ละเกรดเพราะบางเทคนิคที่นำมาวิเคราะห์ยังไม่ครอบคลุม เช่น สีรา, สีของเศษไม้และเศษหิน และรูปร่างของสิ่งสกปรก เป็นต้น

5.2.2 ควรมีการศึกษาข้อดีและข้อดีของการคัดแยกเกรดยางพาราโดยใช้สายตามนุษย์ เพื่อนำมาเป็นข้อมูลสำหรับวิเคราะห์ยางพาราในแต่ละเกรด

5.2.3 ควรเก็บตัวอย่างยางพาราแผ่นรมควันในแต่ละเกรดให้มีปริมาณมากขึ้นเพื่อให้สามารถวิเคราะห์ความแตกต่างของแต่ละเกรดได้อย่างแม่นยำขึ้น

5.2.4 ควรที่จะศึกษาเพิ่มเติมในด้านการใช้แสงไฟที่ทำให้กล้องสามารถมองเห็นได้เหมือนหรือต่างจากสายตามนุษย์ว่ามีผลกระทบต่อการประมวลผลด้วยภาพหรือไม่

5.2.5 ควรที่จะศึกษาเพิ่มเติมในด้านเทคนิคการถ่ายภาพเพื่อใช้ในการประมวลผลด้วยภาพ

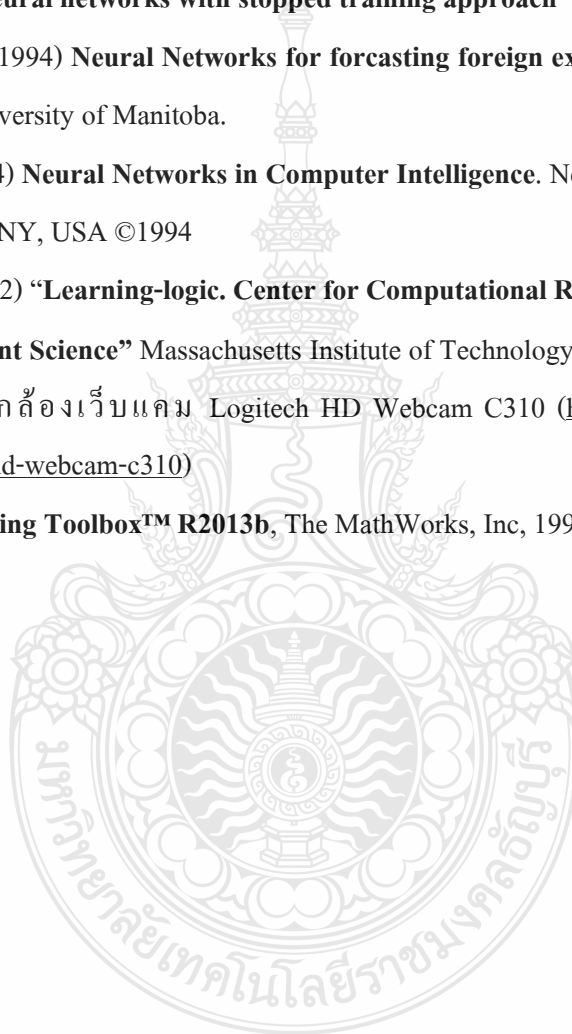


บรรณานุกรม

- [1] สถาบันวิจัยยางกรมวิชาการเกษตรข้อมูลวิชาการยางพารา พ.ศ. 2550 www.rubberthai.com
(9 August 2014)
- [2] เก็บภาพจาก สหกรณ์กองทุนสวนยางอำเภอป่องทอง จำกัด 341 หมู่ 1 ตำบลป่องทอง อำเภอป่องทอง จังหวัดชลบุรี 20270 (26 September 2014)
- [3] นายจิรายุทธ พัดประดิษฐ์ และนายธเนศ ลือเสาวลักษณ์ เครื่องัดขนาดคุณภาพผลสับประรดด้วยการประมวลผลภาพ ครุศาสตร์อุตสาหกรรมบัณฑิต สาขาวิศวกรรมเครื่องกล ภาควิชาครุศาสตร์เครื่องกล คณะครุศาสตร์อุตสาหกรรม มหาวิทยาลัยเทคโนโลยีพระจอมเกล้าพระนครเหนือ พ.ศ.2553
- [4] นายปฐมพล พักทอง และนายพยุ่ง มีสัจ การค้นคืนข้อมูลพระเครื่องจากภาพดิจิทัลโดยเทคนิคการสกัดคุณลักษณะและวิธีเพื่อนบ้านใกล้สุด ภาควิชาเทคโนโลยีสารสนเทศ คณะเทคโนโลยีสารสนเทศ มหาวิทยาลัยเทคโนโลยีพระจอมเกล้าพระนครเหนือ พ.ศ. 2555
- [5] นายสิทธิโชค อุ่นแก้ว การศึกษาวิธีการตรวจสอบราชวบนผิวเนื้อยางแผ่น โดยใช้วิธีการประมวลผลภาพ ภาควิชาวิศวกรรมคอมพิวเตอร์ คณะวิศวกรรมศาสตร์ มหาวิทยาลัยสงขลานครินทร์ วิทยาเขตหาดใหญ่ พ.ศ. 2550
- [6] นายปรัชญา บำรุงกุล ระบบคัดแยกคุณภาพยางพาราโดยการประมวลผลภาพ สาขาวิศวกรรมไฟฟ้า และสารสนเทศ คณะวิศวกรรมศาสตร์ มหาวิทยาลัยเทคโนโลยีพระจอมเกล้าธนบุรี พ.ศ. 2550
- [7] นายชาติ กอบัวแก้ว การจำแนกพระผงดโดยการเปรียบเทียบลักษณะพิเศษ สาขาวิทยาการคอมพิวเตอร์ ภาควิชาคอมพิวเตอร์ มหาวิทยาลัยศิลปากร พ.ศ. 2550
- [8] ร้อยโท ปฐมพล พักทอง การจำแนกพระเครื่องด้วยเทคนิคการสกัดคุณลักษณะเด่นแบบพื้นผิวโดยการใช้วิธี **K-nearest neighbor** ภาควิชาเทคโนโลยีสารสนเทศ คณะเทคโนโลยีสารสนเทศ มหาวิทยาลัยเทคโนโลยีพระจอมเกล้าพระนครเหนือ พ.ศ. 2553
- [9] Alasdair McAndrew. (2004) "An Introduction to Digital Image Processing with Matlab Notes for SCM2511 Image Processing 1" Victoria University of Technology
- [10] De Matos G. (1994) "Neural Networks for forecasting foreign exchange rates. M.Sc. thesis Canada University of Manitoba.

บรรณานุกรม (ต่อ)

- [11] Ader, H. J. and Bramsen, I. (1998) “**Representation of a structural equation model as a neural Network**” Carleton University, Canada.
- [12] Coulibaly, P., Anctil, F. and Bobee, B. (2000) “**Daily reservoir inflow forecasting using artificial neural networks with stopped training approach**” McMaster University.
- [13] De Matos, G. (1994) **Neural Networks for forecasting foreign exchange rates**. M.Sc. thesis Canada University of Manitoba.
- [14] Limin, F. (1994) **Neural Networks in Computer Intelligence**. New York McGraw-Hill, Inc. New York, NY, USA ©1994
- [15] Parker, D. (1982) “**Learning-logic. Center for Computational Research in Economics and Management Science**” Massachusetts Institute of Technology.
- [16] รายละเอียดผลิตภัณฑ์กล้องเว็บแคม Logitech HD Webcam C310 (<http://www.logitech.com/th-th/product/hd-webcam-c310>)
- [17] **Image Processing Toolbox™ R2013b**, The MathWorks, Inc, 1993–2013



ภาคผนวก



ภาคผนวก ก

ตัวอย่างางพาราแผ่นรมควันจำนวน 94 แผ่นสำหรับการวิเคราะห์



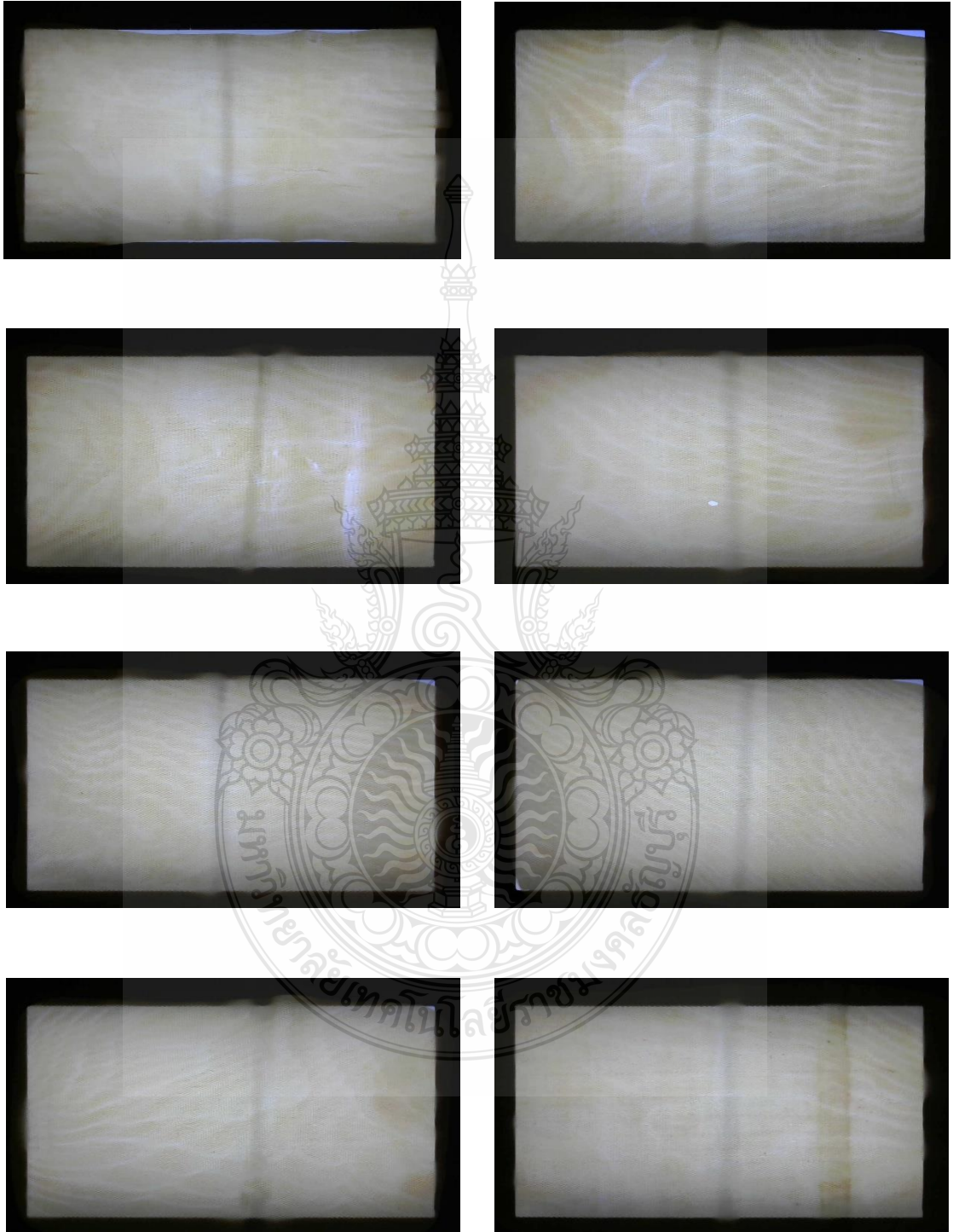
ยางพาราแผ่นรมควันชั้น 1 (RSS1)

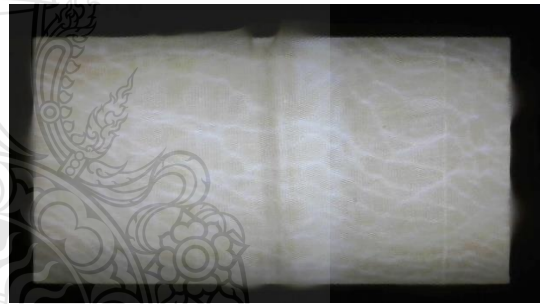
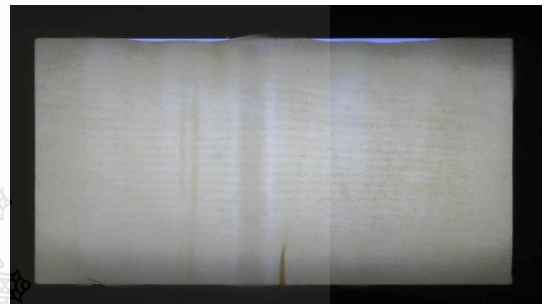
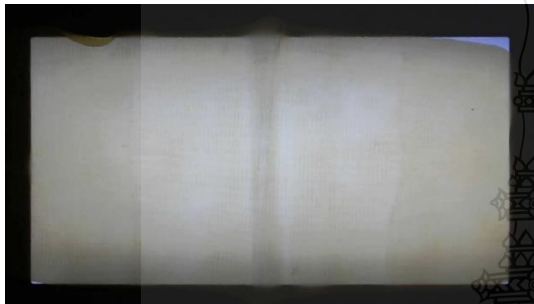
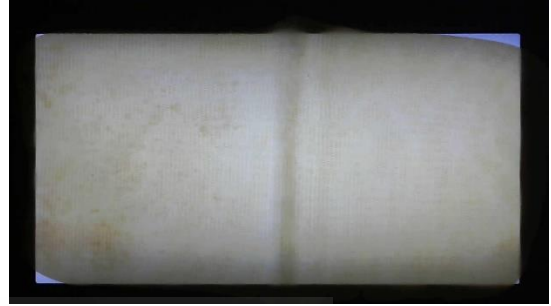
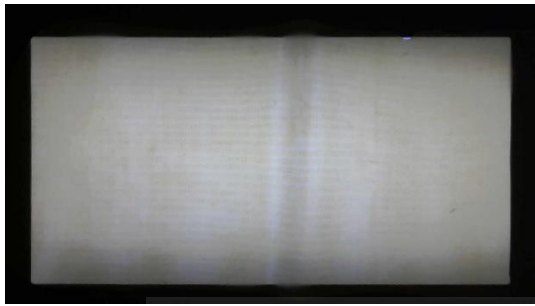


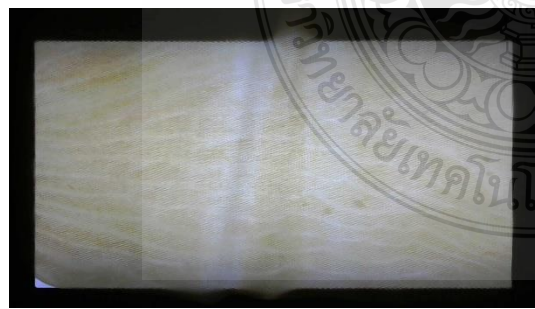
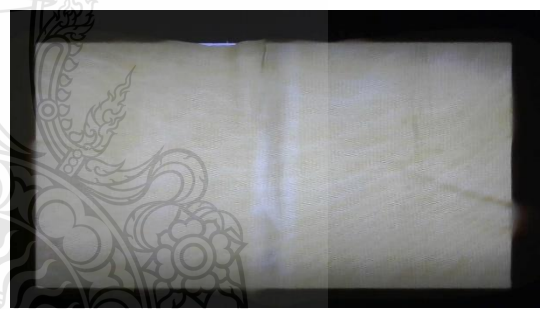
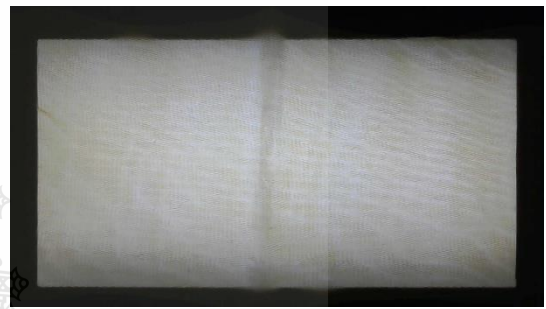
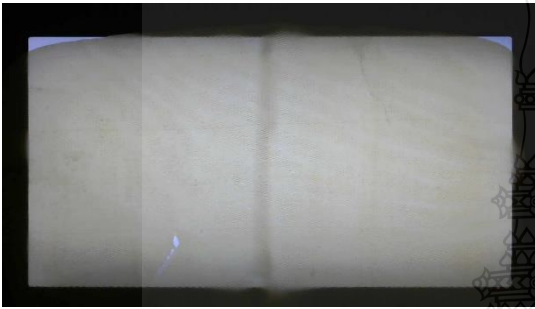
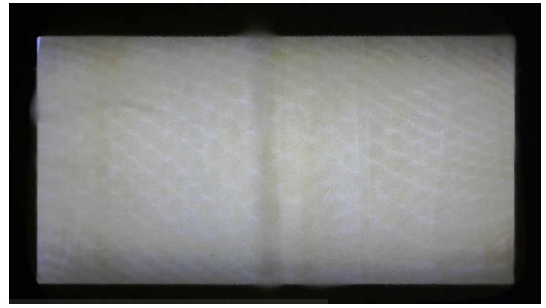
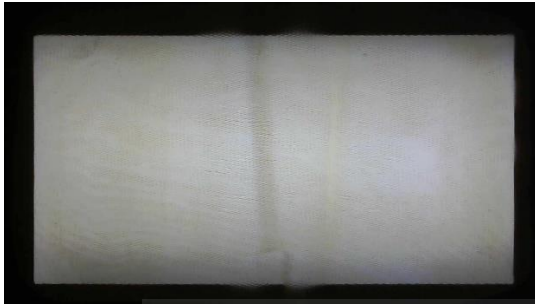
ยางพาราแผ่นรมควันชั้น 2 (RSS2)

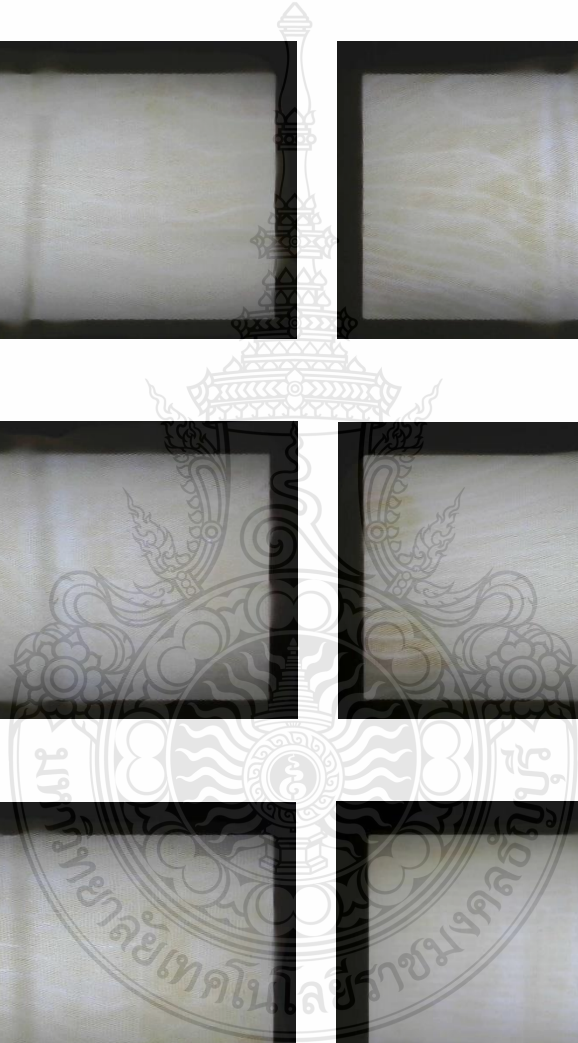
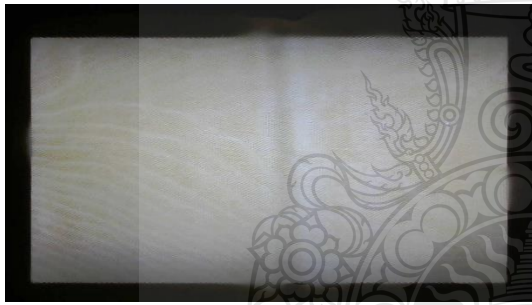
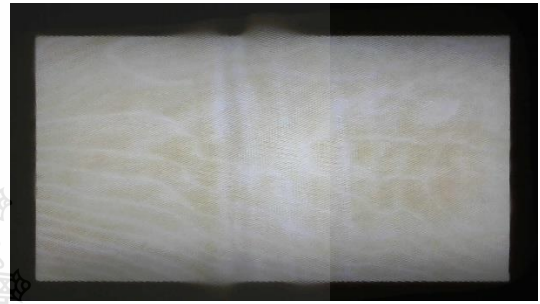
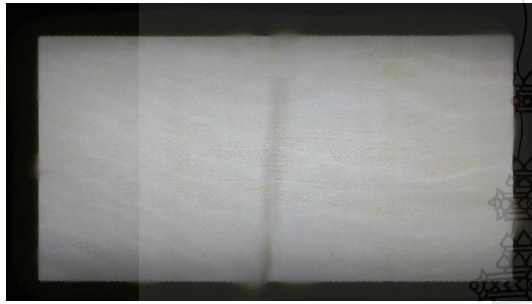
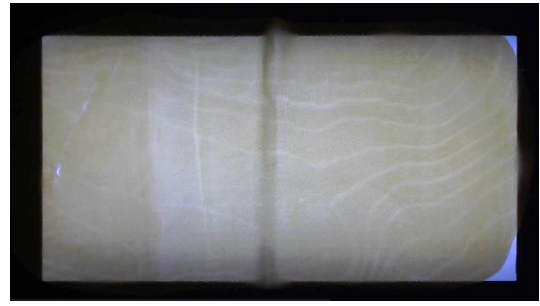
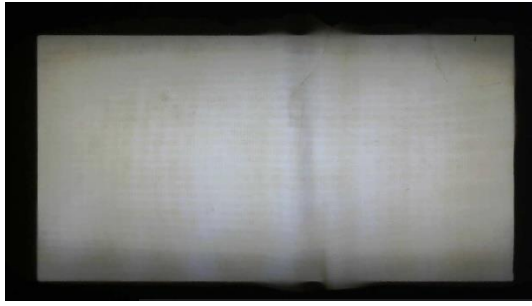


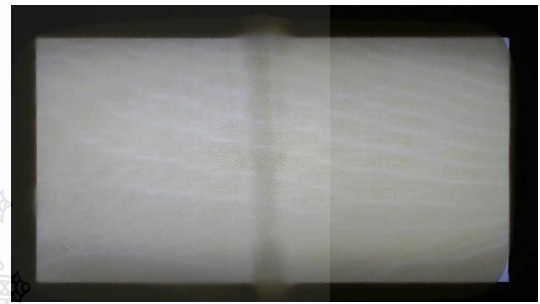
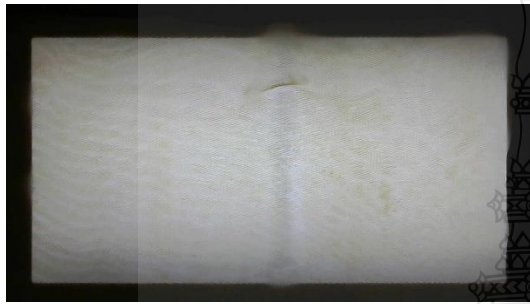
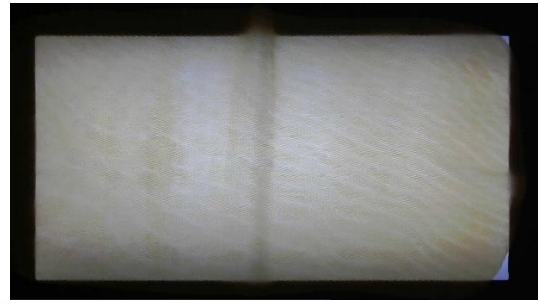
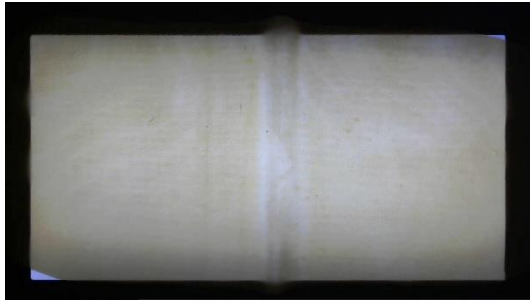
ยางพาราแผ่นรมควันชั้น 3 (RSS3)



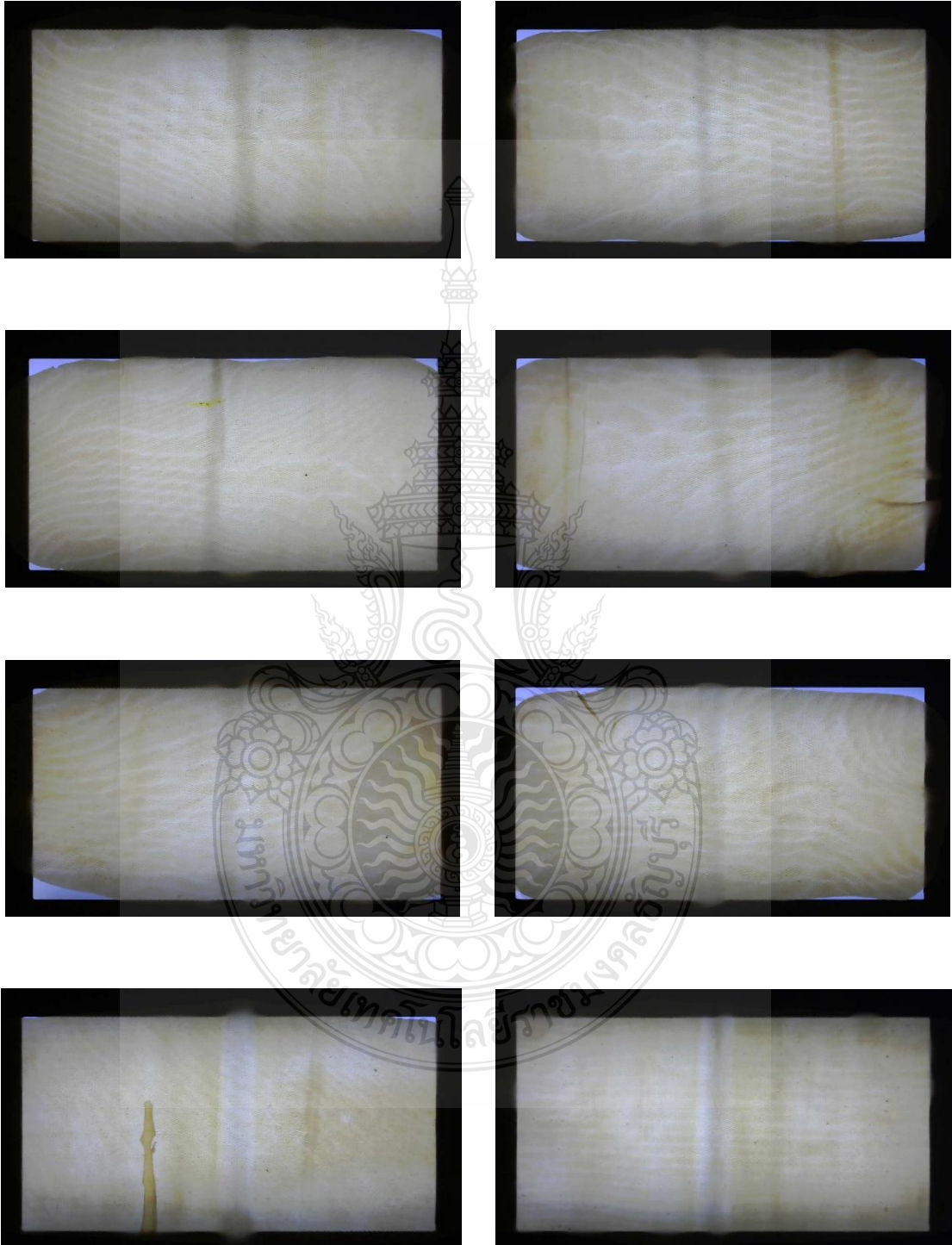


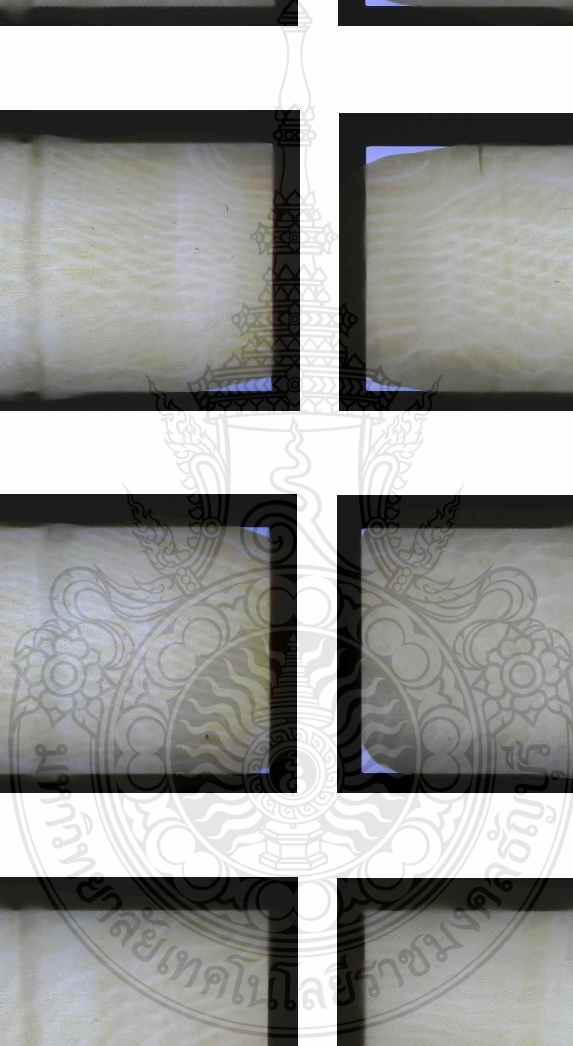
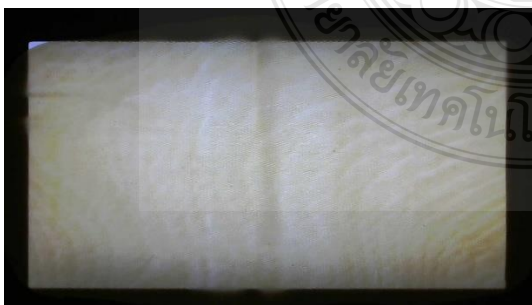
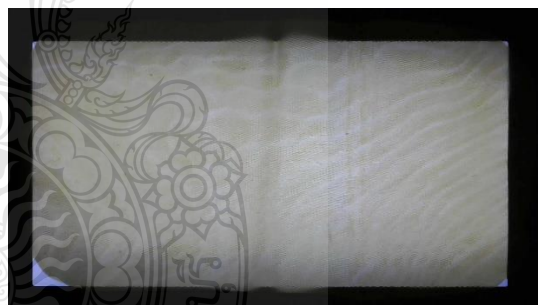
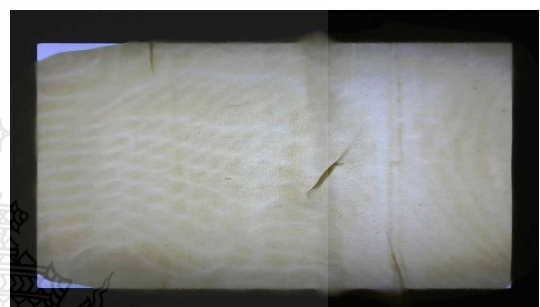
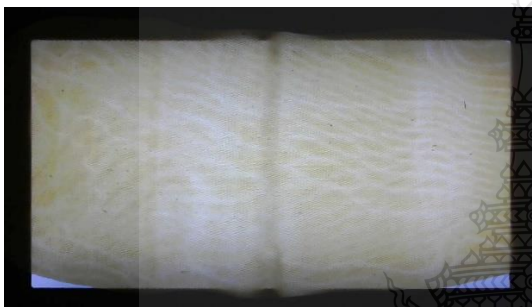
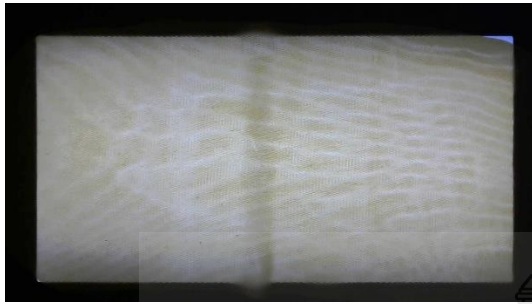


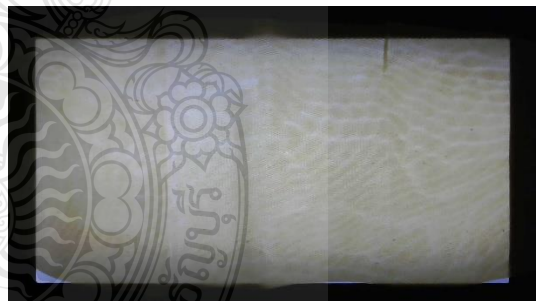
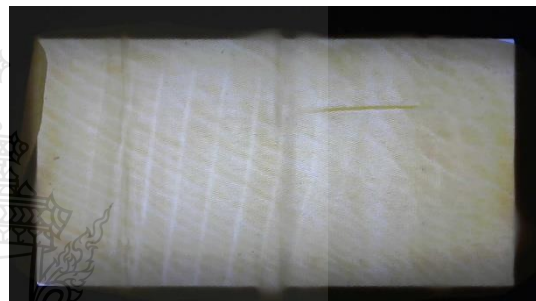
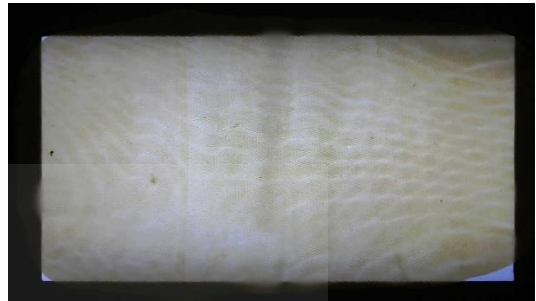
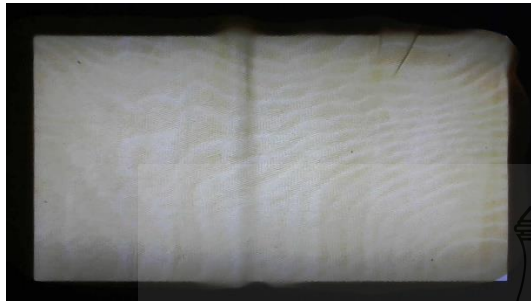


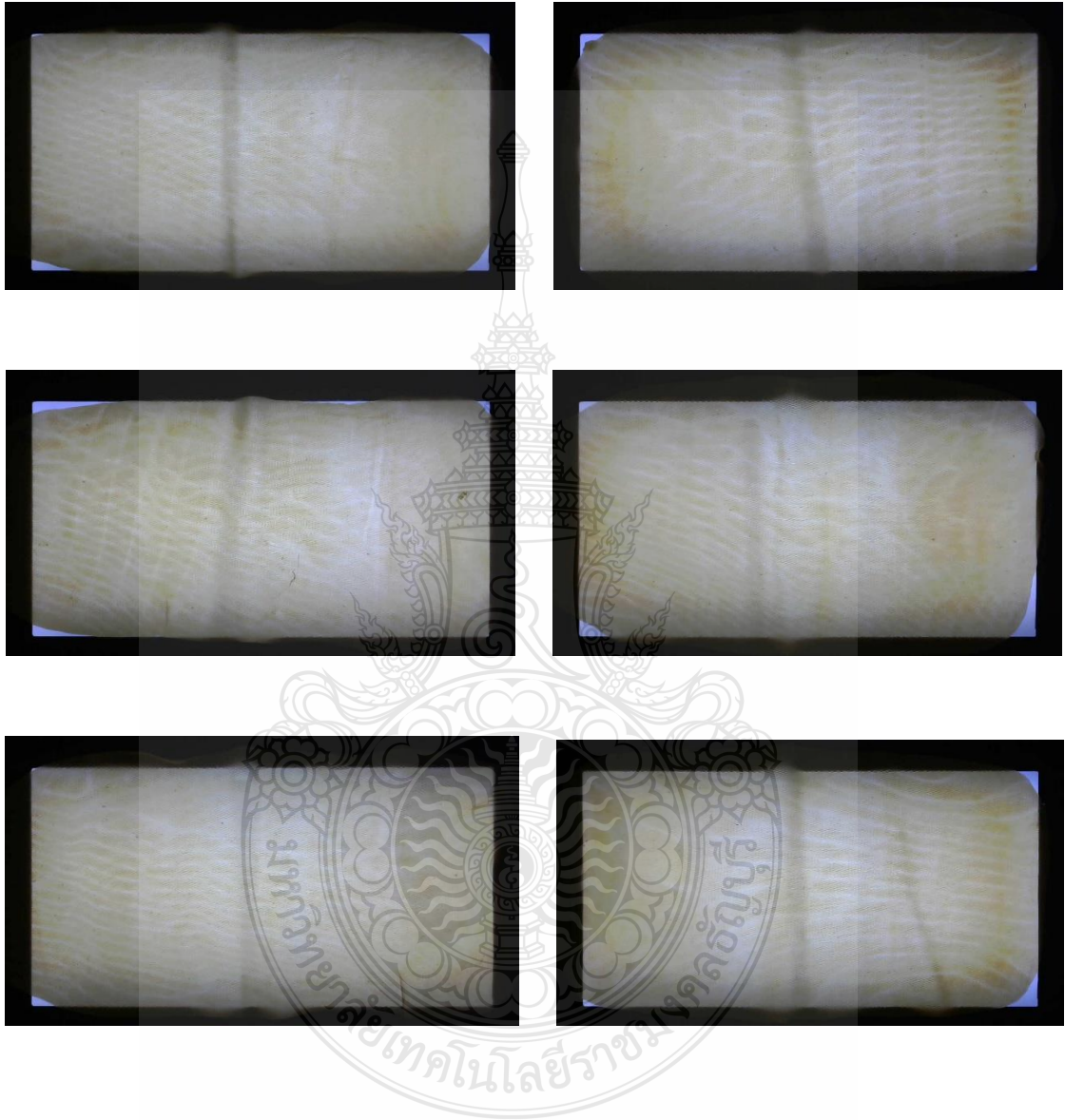


ยางพาราแผ่นรมควันชั้น 4 (RSS4)

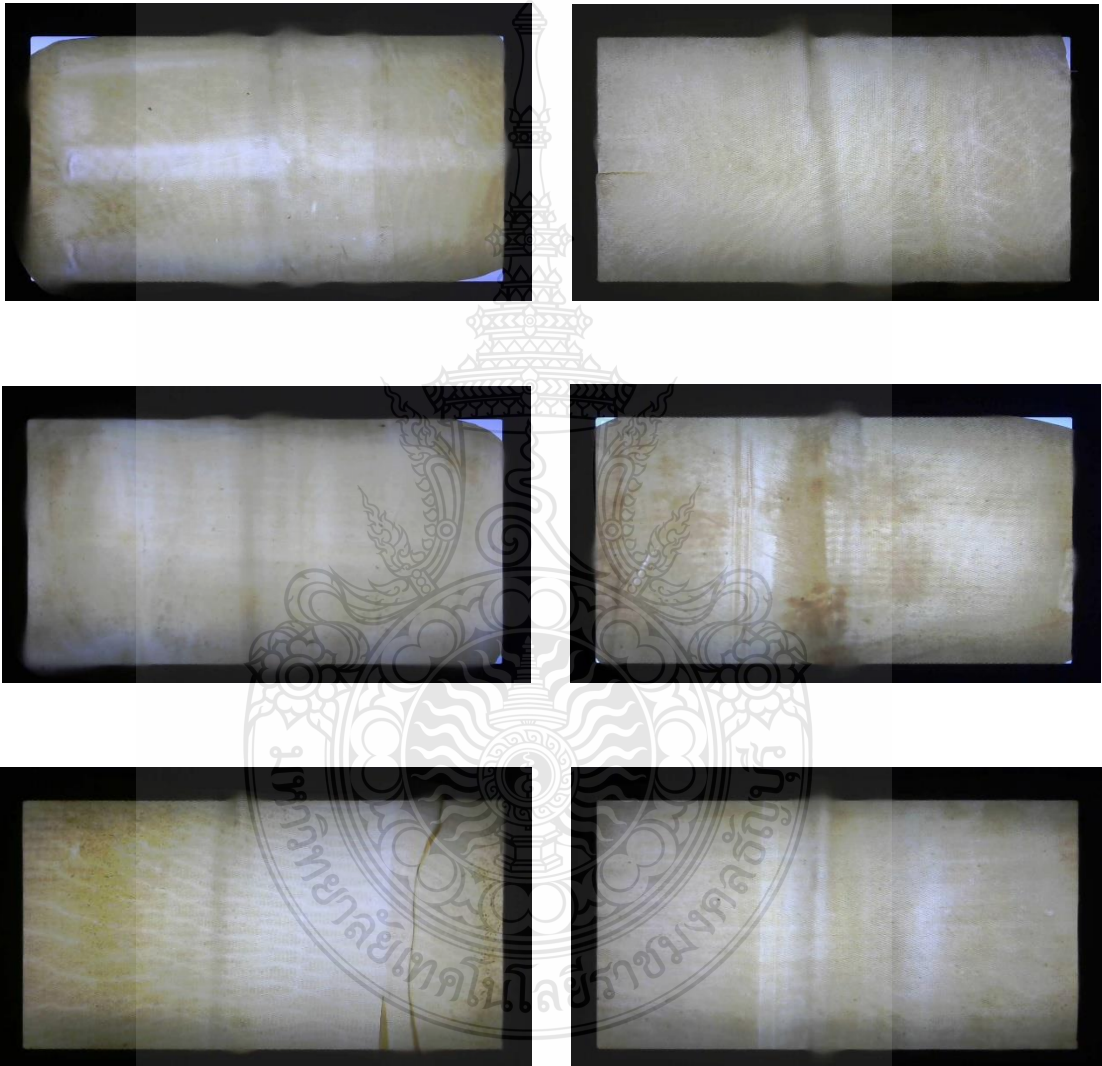


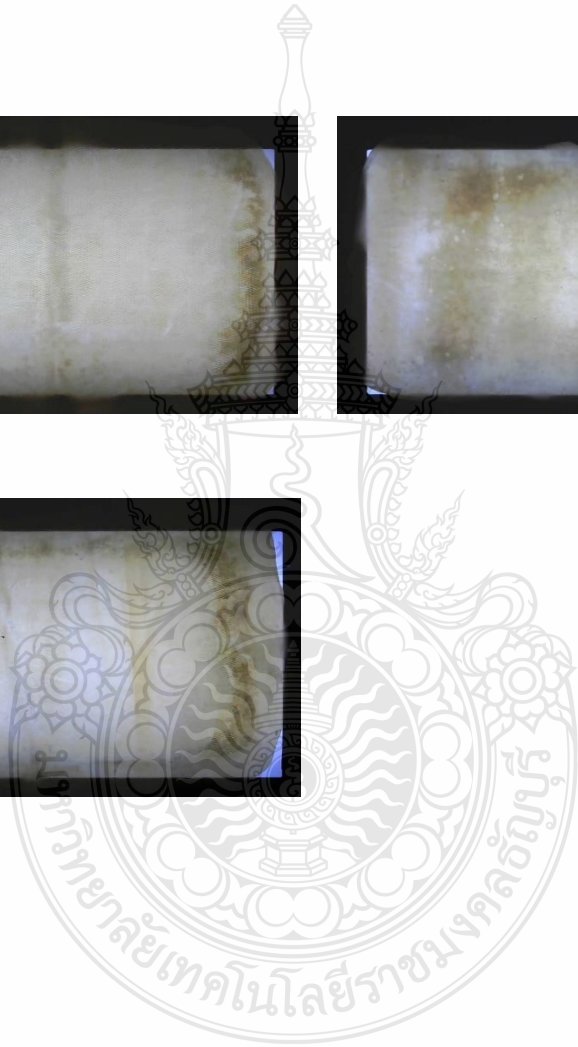
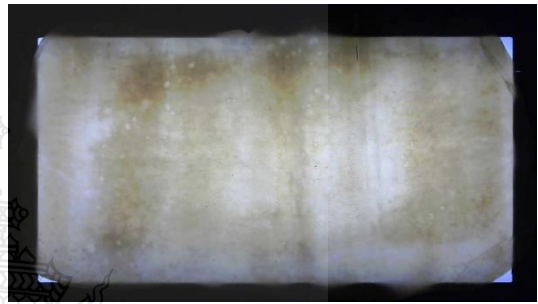
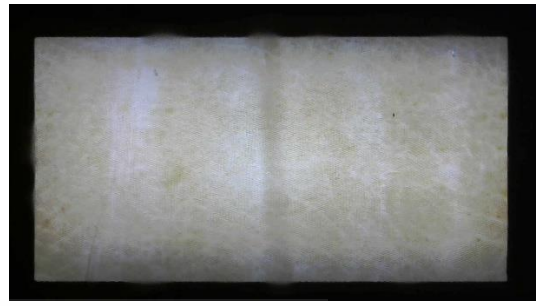




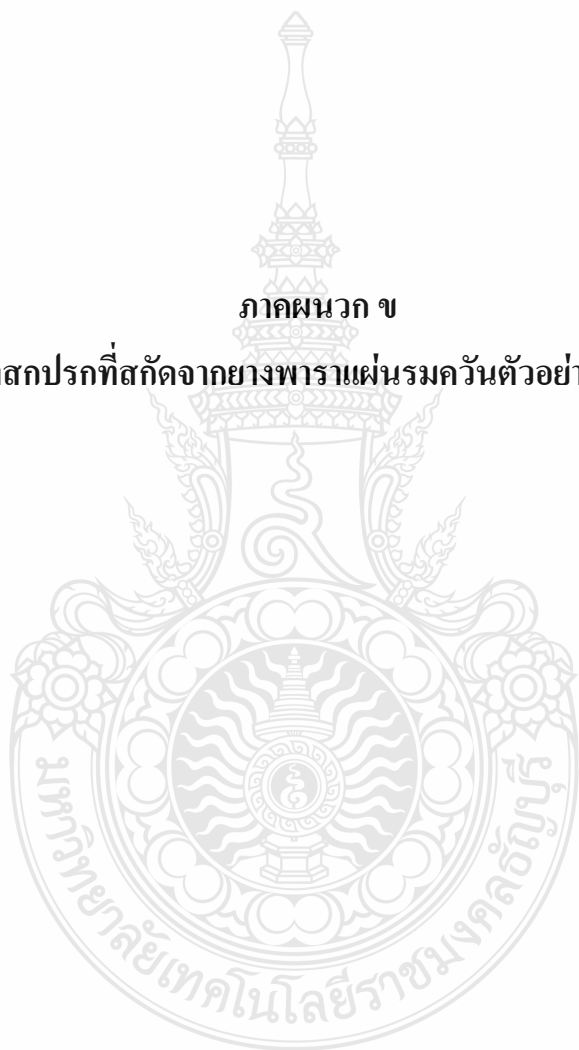


ยางพาราแผ่นรมควันชั้น 5 (RSS5)





ภาคผนวก ข
ผลสิ่งสกปรกที่สกัดจากยางพาราแผ่นรมควันตัวอย่าง 94 แผ่น



ผลสังเกตปรกยงพาราแผ่นรมควันระดับปี R

แผ่นที่	RSS1	RSS2	RSS3	RSS4	RSS5
1	86.1153	59.341	84.0874	90.2876	318.8119
2	19.1396	63.2549	72.2294	105.932	69.0947
3	57.4842	31.125	90.5752	95.4393	202.409
4	12.3022	54.6408	92.8726	162.8192	136.0631
5	43.1978	85.682	83.0243	75.6226	130.6092
6	40.1068	33.1893	117.0328	129.6371	173.5922
7	53.3738	29.6323	106.1141	120.3641	256.8677
8	34.5328		143.3301	99.2913	132.2658
9			160.9005	106.733	190.5546
10			108.0947	171.2257	153.2658
11			134.5158	91.8823	125.8799
12			103.0959	93.6408	
13			112.7694	85.3034	
14			120.4951	87.3896	
15			95.5449	93.7245	
16			91.6383	108.3422	

ผลสังเกตปรกยงพาราแผ่นรมควันระดับสี R (ต่อ)

17			136.9333	81.2876	
18			122.858	142.6347	
19			188.7561	90.2002	
20			122.7379	82.358	
21			68.3337	121.8313	
22			77.5959	75.6007	
23			67.3544	118.6675	
24			71.9272	93.9248	
25			103.6748	98.858	
26			96.2985	102.2694	
27			109.6857	84.8847	
28			89.8216	151.2197	
29			62.858	135.7063	
30			68.5886	96.2367	
31			102.2767		
32			86.5667		
33			62.5085		
34			99.568		
35			85.0595		
36			112.4563		
37			82.7985		
38			105.426		

ผลสังเกตปรกยงพาราแผ่นรมควันระดับสี G

แผ่นที่	RSS1	RSS2	RSS3	RSS4	RSS5
1	82.0704	59.6104	81.5643	85.7803	318.3422
2	18.0765	61.8786	68.3774	100.1141	70.9041
3	55.7585	30.1638	86.1954	93.2002	217.9078
4	12.7864	60.8738	89.767	165.6481	131.7124
5	42.9102	82.216	80.2973	70.2706	127.1614
6	39.2184	32.6978	108.6262	130.7002	164.7633
7	51.0291	28.0959	96.4733	115.0231	271.0194
8	34.3471		144.3532	92.8726	135.2512
9			166.8896	114.3786	167.3483
10			102.2075	164.3774	144.5206
11			128.3629	89.0279	119.5777
12			98.8908	90.2985	
13			105.8155	82.3325	
14			117.7063	82.46	
15			90.4733	87.8265	
16			84.4697	102.983	

ผลสิ่งสกปรกยางพาราแผ่นรมควันระดับสี G (ต่อ)

17			132.9284	75.6371	
18			115.9879	136.875	
19			182.5558	85.1687	
20			115.2816	77.9636	
21			64.591	115.4345	
22			76.3434	77.9818	
23			64.0449	115.2706	
24			68.9053	91.6893	
25			105.091	95.6359	
26			98.3883	97.1869	
27			108.2476	84.5461	
28			89.3592	150.2803	
29			60.7209	135.1383	
30			67.2706	92.0752	
31			94.3653		
32			81.1493		
33			58.267		
34			93.2949		
35			82.2197		
36			113.1481		
37			79.7476		
38			99.6917		

ผลสังเกตปรกยงพาราแผ่นรมควันระดับบี B

แผ่นที่	RSS1	RSS2	RSS3	RSS4	RSS5
1	101.4102	101.0206	114.8119	101.5558	539.0279
2	23.2464	82.0049	102.0036	158.7451	147.2985
3	72.7718	42.5825	120.1238	123.0182	341.3374
4	17.3374	108.6226	136.1541	228.6553	155.949
5	61.8932	97.9842	117.3823	113.0024	168.9794
6	44.9308	49.4636	160.4017	178.6784	246.7828
7	69.5316	34.5473	153.943	182.9818	504.7536
8	44.5485		233.0352	150.3022	205.7367
9			221.6104	204.8483	155.2864
10			160.4053	198.9138	200.5922
11			197.1481	124.9333	215.9672
12			158.5413	158.6468	
13			143.159	149.1408	
14			184.216	116.0643	
15			128.7743	114.5097	
16			147.6226	147.7755	

ผลสังเกตปรกยงพาราแผ่นรมควันระดับสี B (ต่อ)

17			174.6917	132.0218	
18			174.8956	181.4563	
19			252.4187	139.9078	
20			170.9709	113.7306	
21			85.1032	168.9102	
22			87.2949	130.0158	
23			95.2318	171.142	
24			95.8216	137.6978	
25			149.432	140.4138	
26			148.551	153.0947	
27			136.2015	132.6262	
28			110.4794	195.9976	
29			79.1723	190.1723	
30			74.1189	159.9539	
31			148.9951		
32			128.2427		
33			94.0995		
34			148.3799		
35			126.5061		
36			185.807		
37			110.5012		
38			149.9235		

ผลสังเกตปรกยงพาราแผ่นรมควันระดับสี Gray

แผ่นที่	RSS1	RSS2	RSS3	RSS4	RSS5
1	84.2221	62.1335	84.9830	86.8908	337.2269
2	18.4988	63.6917	72.7172	107.7233	72.2002
3	57.3786	30.8701	90.6954	93.5388	225.7500
4	12.2112	64.0667	93.7100	168.4879	135.5534
5	44.2536	83.9964	84.1456	75.3532	131.9745
6	38.9090	33.6481	114.3568	135.7573	175.3434
7	52.9951	28.4454	106.2197	122.6796	287.7051
8	35.2828		152.4976	99.0328	136.8641
9			170.2646	120.3495	168.1493
10			108.5061	169.7876	153.2549
11			137.3701	91.9478	126.2585
12			106.3653	98.1626	
13			111.8337	87.3240	
14			124.3034	87.1274	
15			95.2973	92.5995	
16			91.5947	109.6529	

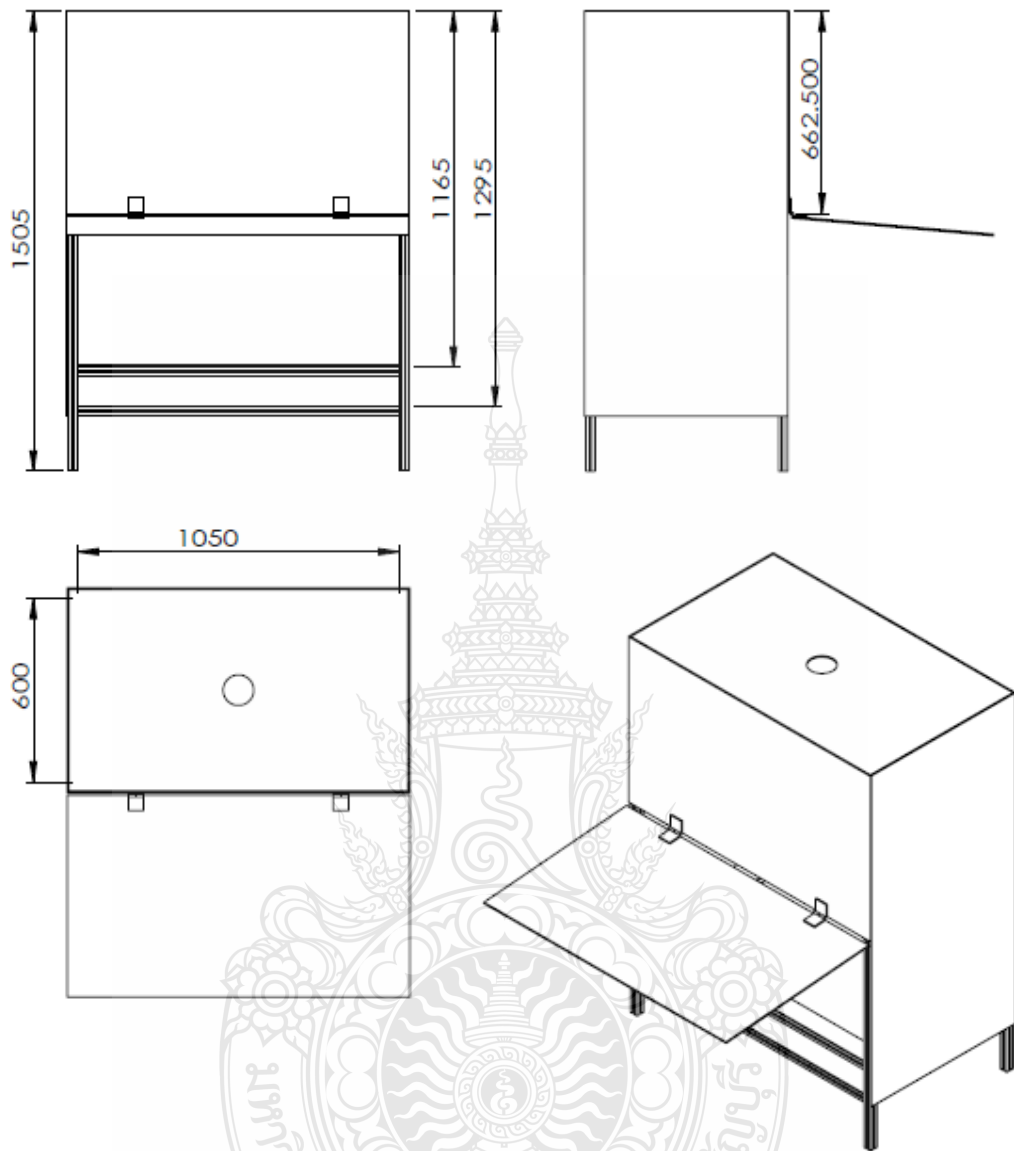
ผลสังเกตปรกยงพาราแผ่นรมควันระดับสี Gray (ต่อ)

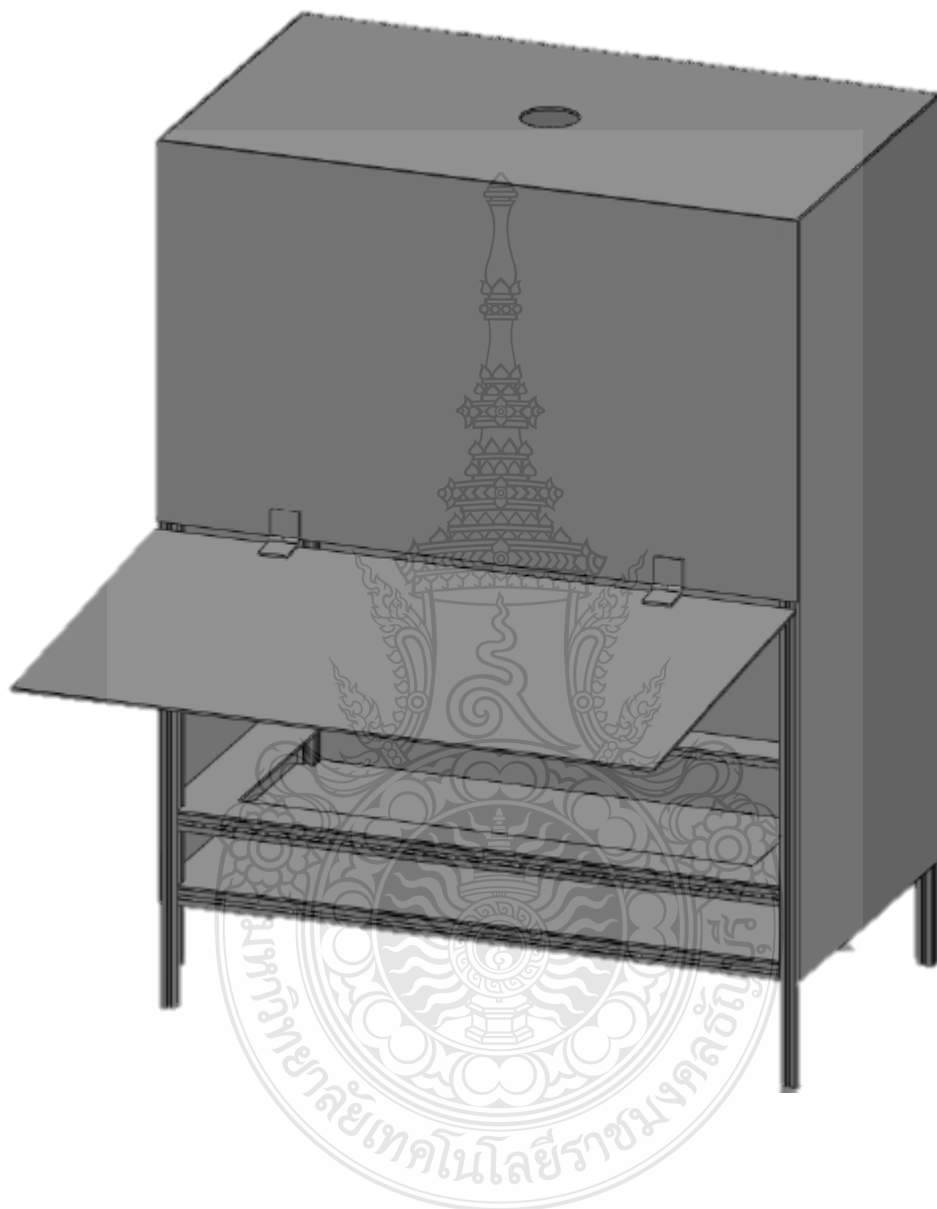
17			137.2791	82.5874	
18			123.6845	143.8726	
19			191.4794	85.4454	
20			123.9466	81.8629	
21			66.9721	121.9879	
22			76.8131	81.4369	
23			67.2160	120.7828	
24			72.1383	96.8265	
25			109.6311	99.8083	
26			102.3968	102.8010	
27			111.2039	88.8422	
28			91.5109	153.4442	
29			62.9454	141.2112	
30			66.7427	98.5012	
31			101.5194		
32			86.5267		
33			62.8362		
34			99.3823		
35			87.2585		
36			121.1286		
37			82.6675		
38			106.2415		



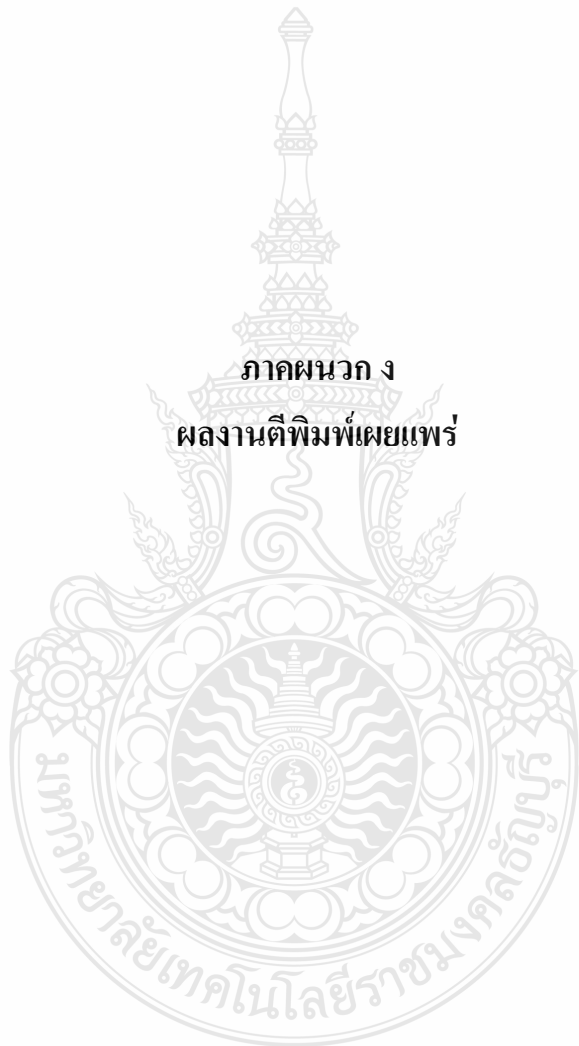
ภาคผนวก ค

แบบเครื่องมือเก็บภาพระบบปิดสำหรับงานวิจัย





ภาคผนวก ง
ผลงานตีพิมพ์เผยแพร่



TSAE 2015

การประชุมวิชาการ
สมาคมวิศวกรรมเกษตรแห่งประเทศไทย
ระดับชาติ ครั้งที่ 16 ประจำปี 2558
และระดับนานาชาติ ครั้งที่ 8
The 16th TSAE National Conference and
the 8th TSAE International Conference
(TSAE 2015)

ณ ศูนย์นิทรรศการและการประชุมไบเทค
บางนา กรุงเทพมหานคร
17-19 มีนาคม 2558

จัดโดย
สมาคมวิศวกรรมเกษตรแห่งประเทศไทย



สนับสนุนโดย



Scientific Committee

1	Prof. Dr. Somchart Soponronnarit	Chair's Committee
2	Assoc. Prof. Dr. Winit Chinsuwan	Committee
3	Assoc. Prof. Dr. Panmanas Sirisomboon	Committee
4	Assoc. Prof. Dr. Sakamon Devahastin	Committee
5	Assoc. Prof. Dr. Somkiat Prachayawarakorn	Committee
6	Assoc. Prof. Dr. Adisak Nathakaranakule	Committee
7	Asst. Prof. Dr. Verachai Arjharn	Committee
8	Asst. Prof. Dr. Somposh Sudajan	Committee
9	Asst. Prof. Dr. Sunate Surbkar	Committee
10	Dr. Wanrat Abdullakasim	Committee
11	Dr. Nyanakorn Sutassanamarlee	Committee
12	Dr. Anuchit Chamsing	Committee
13	Dr. Vasu Udompetaikul	Committee
14	Dr. Danuwat Thangdee	Committee
15	Dr. Damom Bunturat	Committee
16	Prof. Vijaya Raghavan	Committee
17	Prof. Arun S. Mujumdar	Committee
18	Asst. Prof. Munehiro Tanaka	Committee
19	Dr. George Szrednicki	Committee
20	Asst. Prof. Dr. Rose Prabin Kingsly Ambrose	Committee
21	Asst. Prof. Dr. Klein E. Ileleji	Committee
22	Prof. Dr. Xiao Dong Chen	Committee
23	Prof. Donald C. Slack	Committee
24	Prof. Dr. Dirk E Maier	Committee
25	Prof. Ito Nobutaka	Committee
26	Prof. Dr. Chin Chen Hsieh	Committee
27	Mrs. Dares Kittiyopas	Committee
28	Mr. Akkapol Senanarong	Committee
29	Mr. Viboon Thepent	Committee
30	Mr. Cherawat Munkit	Committee and Secretary
31	Asst. Prof. Dr. Prasan Choomjaihan	Committee and Asst. Secretary
32	Dr. Watcharapol Chayaprasert	Committee and Asst. Secretary

รายนามผู้ทรงคุณวุฒิ (REVIEWER)

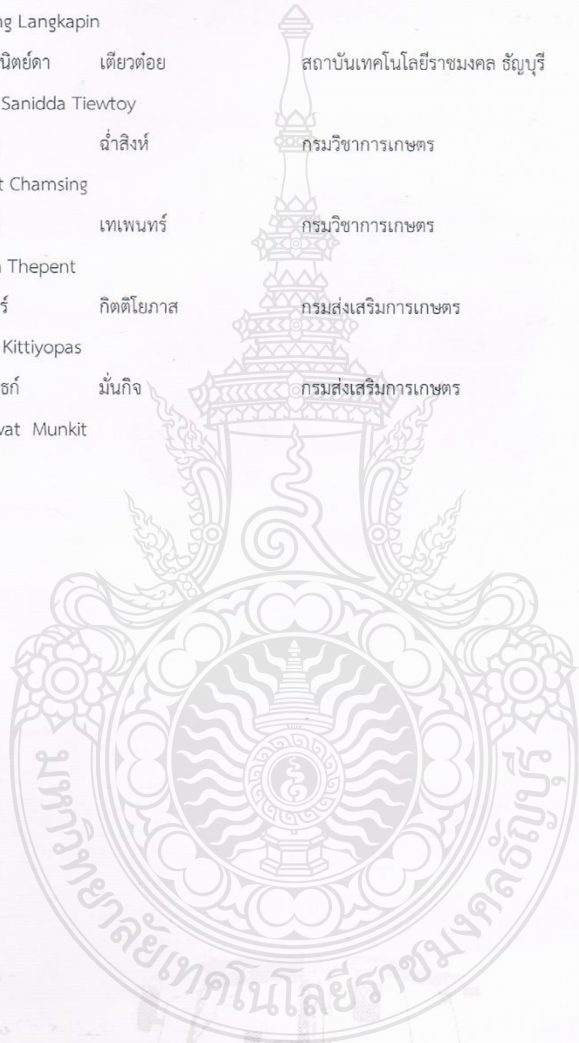
1	ศ. ดร. สมชาติ โสภณรณฤทธิ์	สถาบันเทคโนโลยีพระจอมเกล้าธนบุรี
	Prof. Dr. Somchart Soponronnarit	
2	รศ. ดร. สักกมน เทพหัสดิน ณ อยุธยา	สถาบันเทคโนโลยีพระจอมเกล้าธนบุรี
	Assoc. Prof. Dr. Sakamon Devahastin	
3	รศ. ดร. อนุปันท์ เทอดวงศ์วรกุล	มหาวิทยาลัยเกษตรศาสตร์
	Assoc. Prof. Dr. Anupun Terdwongworakul	
4	ดร. วันรัฐ อับดุลลากาซิม	มหาวิทยาลัยเกษตรศาสตร์
	Dr. Wanrat Abdullakasim	
5	ดร. วัชรพล ชยประเสริฐ	มหาวิทยาลัยเกษตรศาสตร์
	Dr. Watcharapol Chayaprasert	
6	ผศ. สมชาย ชวนอุดม	มหาวิทยาลัยขอนแก่น
	Asst. Prof. Somchai	
7	ดร. ดนูวัต ทางดี	มหาวิทยาลัยเทคโนโลยีพระจอมเกล้าพระนครเหนือ วิทยาเขตปทุมธานี
	Dr. Danuwat Thangdee	
8	ดร. กฤษฎาภรณ์ บุคดาจันทร์	มหาวิทยาลัยเทคโนโลยีพระจอมเกล้าพระนครเหนือ วิทยาเขตปทุมธานี
	Dr. Khridsadakhon Booddachan	
9	รศ. เสมอขวัญ ตันติกุล	มหาวิทยาลัยแม่โจ้
	Assoc. Prof. Samerkhwan Tantikul	
10	ผศ. ดร. สุเนตร สืบคำ	มหาวิทยาลัยแม่โจ้
	Asst. Prof. Dr. Sunate Surbkar	
11	ดร. ญาณการ สุทัสนมาลี	มหาวิทยาลัยแม่โจ้
	Dr. Nyanakorn Sutassanamarlee	
12	รศ. ดร. ปานมนัส ศิริสมบูรณ์	สถาบันเทคโนโลยีพระจอมเกล้าเจ้าคุณทหารลาดกระบัง
	Assoc. Prof. Dr. Panmanas Sirisomboon	
13	รศ. สาทิป รัตนภาสกร	สถาบันเทคโนโลยีพระจอมเกล้าเจ้าคุณทหารลาดกระบัง
	Assoc. Prof. Satip Rattanapaskorn	
14	ผศ. ดร. ประสันต์ ชุ่มใจหาญ	สถาบันเทคโนโลยีพระจอมเกล้าเจ้าคุณทหารลาดกระบัง
	Asst. Prof. Dr. Prasan Choomjaihan	
15	ผศ. ดร. ทรงวุฒิ แสงจันทร์	สถาบันเทคโนโลยีพระจอมเกล้าเจ้าคุณทหารลาดกระบัง
	Asst. Prof. Dr. Songvoot Sangchan	
16	ดร. วสุ อุดมแพทยกุล	สถาบันเทคโนโลยีพระจอมเกล้าเจ้าคุณทหารลาดกระบัง
	Dr. Vasu Udompetaikul	





รายนามผู้ทรงคุณวุฒิ (REVIEWER)

- | | | | |
|----|-----------------------------|-------------|--------------------------------|
| 17 | ดร. รัชดาภรณ์ | แก้วกล้า | มหาวิทยาลัยบูรพา |
| | Dr. Rachadaporn Kaewklum | | |
| 18 | ผศ. ดร.จตุรงค์ | ลังกาพินธุ์ | สถาบันเทคโนโลยีราชมงคล ธัญบุรี |
| | Dr. Jaturong Langkapin | | |
| 19 | ดร. ตร.ธานีต้ยตา | เตี้ยต้อย | สถาบันเทคโนโลยีราชมงคล ธัญบุรี |
| | Asst. Prof. Sanidda Tiewtoy | | |
| 20 | ดร. อนุชิต | ฉ่ำสิงห์ | กรมวิชาการเกษตร |
| | Dr. Anuchit Chamsing | | |
| 21 | นาย วิบูลย์ | เทพนท์ | กรมวิชาการเกษตร |
| | Mr. Viboon Thepent | | |
| 22 | นาง ดาเรศร์ | กิตติโยภาส | กรมส่งเสริมการเกษตร |
| | Mrs. Dares Kittiopas | | |
| 23 | นาย ชีรวรรธก์ | มันักิจ | กรมส่งเสริมการเกษตร |
| | Mr. Cherawat Munkit | | |





TOT-01	การศึกษาระยะห่างที่เหมาะสมของโรงเรือนแบบอุโมงค์โดยการใช้พลศาสตร์ของไหลเชิงคำนวณ	124
TPT-04	ออกแบบ และพัฒนากลไกการปลดและเก็บใบอ้อย.....	125
TPT-05	ผลกระทบของอุณหภูมิที่มีผลต่อการอบแห้งมะพร้าวชุดด้วยเครื่องอบแห้งแบบสเปาเต็ดเบด.	126
TPT-06	การทดสอบความสามารถในการปกป้องผลแอปเปิ้ลด้วยกระดาษจากฟางข้าวด้วยวิธีการทดสอบ แบบ ballistic pendulum.....	127
TPT-07	ออกแบบและพัฒนาระบบปรับอากาศและระบบทำความเย็นสำหรับการเก็บรักษาเมล็ดพันธุ์พืช	128
TPT-08	การปรับปรุงประสิทธิภาพโรงสีข้าวชุมชน: กรณีศึกษา ชุมชนลานตากฟ้า อำเภอนครชัยศรี จังหวัดนครปฐม	129
TPT-09	คุณลักษณะและแบบจำลองการอบแห้งของใบโอฟล็อก.....	130
TPT-10	การพัฒนาเครื่องอบแห้งด้วยไอน้ำร้อนยวดยิ่งที่สภาวะความดันต่ำ	131
TPT-11	มุม cribwing เดื่อนที่มีผลต่อสมรรถนะในการกะเทาะข้าวโพดของชุดกะเทาะแบบไหลตามแกน..	132
TPT-12	ศึกษาและพัฒนาเทคโนโลยีการอบแห้งเนื้อมันคุดด้วยเครื่องอบแห้งลมร้อนแบบต่อเนื่อง	133
TPT-13	การศึกษาวิธีการเพิ่มคุณค่าของข้าวคุณภาพต่ำ: กรณีศึกษาการเพิ่มคาเทชินในเมล็ดข้าวโดย กระบวนการทำข้าวหนึ่ง.....	134
TPT-14	การคิดแยกเกรดมาตรฐานยางพาราแผ่นรมควัน โดยใช้วิธีการประมวลผลด้วยภาพ	135
TPT-16	การใช้โรงตากพลังงานแสงอาทิตย์ร่วมกับเครื่องอบลมร้อนแบบชั้นวางสำหรับอบแห้งผักและ ผลไม้.....	136
TPT-17	ออกแบบ และพัฒนาเตาชีวมวลก้านัดลมร้อนสำหรับเครื่องอบแห้งกาแฟอาราบิก้าแบบโรตารี	137
TPT-20	การออกแบบและพัฒนาเครื่องตัดชิ้นข้าวอัดใส่บับปลาทุ.....	138
TPT-21	การศึกษสมบัติเชิงกลของต้นมันสำปะหลัง.....	139
TPT-22	อิทธิพลของการอบแห้งถั่วเขียวเริ่มงอกต่อสารออกฤทธิ์ทางชีวภาพ	140
TSWE-01	การพัฒนาแหล่งน้ำขนาดเล็กขององค์กรปกครองส่วนท้องถิ่นกรณีศึกษา องค์การบริหารส่วน จังหวัดลำปาง.....	141
TSWE-03	การศึกษากาแทนที่ค่าสูญหายแบบหลายตัวแปรสำหรับการพยากรณ์ระดับน้ำลุ่มน้ำปากพอง	142
TSWE-05	อิทธิพลของปริมาณน้ำฝนเฉลี่ยรายปีต่อผลผลิตอ้อยโรงงานในพื้นที่ภาคกลางเขต 7.....	143
TAM-02	Test and Development Project on Weeding machine for Longan Orchard.....	144
TAM-04	Effect of Rice Field Size on Land Preparation Performance of a Small Tractor.....	145

การคัดแยกเกรดมาตรฐานยางพาราแผ่นรมควัน โดยใช้วิธีการประมวลผลด้วยภาพ
Ribbed of standard smoked sheets by using image processing

* วรวุฒิ กิ่งหัน¹ มนุศักดิ์ จานทอง²

¹ ภาควิชาวิศวกรรมเครื่องกล คณะวิศวกรรมศาสตร์ มหาวิทยาลัยเทคโนโลยีราชมงคลธัญบุรี

ถนนรังสิต - นครนายก ตำบลคลองหก อำเภอธัญบุรี จังหวัดปทุมธานี 12110

วรวุฒิ กิ่งหัน E-mail : worawut.millcon2557@gmail.com

² ภาควิชาวิศวกรรมเครื่องกล คณะวิศวกรรมศาสตร์ มหาวิทยาลัยเทคโนโลยีราชมงคลธัญบุรี

ถนนรังสิต - นครนายก ตำบลคลองหก อำเภอธัญบุรี จังหวัดปทุมธานี 12110

มนุศักดิ์ จานทอง E-mail : manusak.j@en.mutt.ac.th

บทคัดย่อ

ในปัจจุบันยางพาราถือเป็นพืชเศรษฐกิจที่สำคัญอย่างหนึ่งของประเทศไทย เพื่อให้ได้มาซึ่งผลิตภัณฑ์ที่มีคุณภาพต้องผ่านกระบวนการผลิตในภาคอุตสาหกรรมในหลายขั้นตอน ในปัจจุบันขั้นตอนการคัดแยกเกรดยางพารา ยังไม่มีเทคโนโลยีใดที่จะนำมาใช้ทดแทนผู้เชี่ยวชาญในการแบ่งเกรดยางพาราแผ่นรมควัน ในการคัดแยกโดยการใช้น้ำของมนุษย์มีโอกาสเกิดความผิดพลาดขึ้นได้สูง เนื่องจากช่วงสายตาของมนุษย์ในแต่ละบุคคลไม่เท่ากัน ผู้วิจัยจึงศึกษาการคัดแยกเกรดมาตรฐานยางพาราแผ่นรมควัน โดยนำเทคนิคการประมวลผลทางภาพมาช่วยในการคัดแยก โดยสกัดคุณลักษณะเด่น (Feature Extraction) จากการวิเคราะห์โครงร่างพื้นผิวภาพ โดยใช้วิธีเมทริกซ์ความสัมพันธ์ของระดับสีเทา GLCM : Gray-Level Co-Occurrence Matrices เพื่อเก็บค่าทางสถิติจากการวิเคราะห์โครงร่างพื้นผิวภาพ 10 รูปแบบ โดยใช้ระดับลำดับสถิติอันดับ 1 สามารถสกัดได้จากค่าของภาพต้นฉบับ (original- image) โดยดูจากค่าความถี่และความเข้มของฮิสโตแกรม โดยที่ไม่ต้องคำนึงถึงความสัมพันธ์ระหว่างจุดภาพใกล้เคียง คือรูปแบบ Autocorrelation และ Correlation และ ลำดับสถิติอันดับ 2 สามารถสกัดได้จากค่าเมทริกซ์ (GLCM) โดยดูจากค่าความเข้มระดับเทาที่ใกล้เคียงกันในตำแหน่งแต่ละจุดภาพโดยมีค่าคุณลักษณะโครงร่างที่ คือรูปแบบ Cluster Shade, Dissimilarity, Homogeneity, Entropy, Sum Variance, Sum Entropy, Difference Entropy และ Information measure of correlation จากนั้นใช้โมเดลโครงข่ายประสาทเทียมเป็นแบบแพร่กระจายย้อนกลับ (backpropagation neuron network) กำหนดพารามิเตอร์โครงสร้าง 20x18x5 ส่วน transfer function ใช้ 'tansig' 'tansig' 'purelin' และ training function ใช้ 'trainrp' โดยทุกโครงสร้างกำหนดจำนวนรอบเรียนรู้ (epochs) ไว้ที่ 1000 รอบ กำหนดเป้าหมายค่าความผิดพลาด (goal) ไว้ที่ 1×10^{-5} ในการประมวลผลเพื่อแยกเกรดยางพาราแผ่นรมควันในแต่ละเกรด

ผลการทดลองงานวิจัยนี้ใช้การเปรียบเทียบระดับในระบบ RGB เพื่อเปรียบเทียบความถูกต้องในการคัดแยกยางพาราแผ่นรมควันในแต่ละเกรด โดยใช้ตัวอย่างภาพยางพาราแผ่นรมควัน ขนาด 1280x720 พิกเซล จำนวน 145 ภาพ แยกเป็นภาพระดับ R ได้ความถูกต้อง 88.90% , ระดับ G ได้ความถูกต้อง 88.28% ,ระดับ B ได้ความถูกต้อง 91.72% และระดับ Gray ได้ความถูกต้อง 84.62%

คำหลัก: ประมวลผลด้วยภาพ, เทคนิคการสกัดคุณลักษณะพื้นผิวเมทริกซ์สีเทา, โครงข่ายประสาทเทียม

RIBBED OF STANDARD SMOKED SHEETS BY USING IMAGE PROCESSING

*Worawut KUNGHUN¹ and Mnuhak JANTHONG²

¹ Department of Mechanical Engineering, Faculty of Engineering, Rajamangala University of Technology Thanyaburi, Rangsit-Nakhonnayok Rd. (Klong6), Thanyaburi Pathum Thani 12110

² Department of Mechanical Engineering, Faculty of Engineering, Rajamangala University of Technology Thanyaburi, Rangsit-Nakhonnayok Rd. (Klong6), Thanyaburi Pathum Thani 12110

Corresponding author: Worawut KUNGHUN E-mail: worawut.milcon2557@gmail.com

ABSTRACT

In the present, rubber trees are regarded as one of Thailand's important industrial drops. For them to become quality products, they had to pass several steps of the manufacturing process in the industrial sector. In the present there are no technologies that can be used to replace specialists in the steps for the grade sorting of smoked rubber sheets. Sorting with the usage of human eyesight is highly prone to error, as the eyesight of each individual is not equal. The researcher saw this section of the problem and thus studied the standard grade sorting of smoked rubber sheets with image processing techniques to aid in the sorting process. Feature extraction was used on the analyses of image surface frameworks, where GLCM: Gray-Level Co-Occurrence Matrices were used to collect the statistical values of 10 different formats of image structure frameworks. The first level of statistical order was extracted from the values of the original image by viewing the depth and intensity of the histograms without considering the relationship between the neighboring pixels of autocorrelation and correlation, and the second level of statistical order was extracted from the values of the GLCM by viewing the gray intensity levels of each neighboring pixels, where the layout features were Cluster Shade, Dissimilarity, Homogeneity, Entropy, Sum Variance, Sum Entropy, Difference Entropy, and the Information measure of correlation. After that, a backpropagation neuron network model was used with structure parameters of 20x18x5. The transfer function used 'tansig', 'tansig', and 'purelin'. The training function used 'trainrp'. Every structure regulated the number of epochs at 1000 rounds. The goal error value was 1×10^{-5} in the processing for the sorting of smoked rubber sheets of each grade.

The results of this research's experiments compared levels of the RGB color model to compare the accuracy of the sorting of each grade of smoked rubber sheets, where 145 samples of smoked rubber sheet samples, each sized 1280x720 pixels, were used. Results of accuracy can be separated as 88.80% for R-levels, 88.28% for G-levels, 91.72% for B-levels, and 84.62% for Gray levels.

Keywords: image processing; gray-level co-occurrence matrices feature extraction; neural network

1. บทนำ

ยางพารา เป็นพืชอุตสาหกรรมที่สำคัญของประเทศไทย และภูมิภาคอาเซียน และส่งออกอันดับหนึ่งของโลก โดยมีพื้นที่ปลูกยางสำรวจโดยกรมวิชาการเกษตร พบว่ามีพื้นที่ปลูกยาง 18.76 ล้านไร่ [1] ก่อให้เกิดกิจกรรมต่อเนื่องทั้งภาคการผลิตภาคอุตสาหกรรม และภาคการตลาด กรมวิชาการเกษตรโดยสถาบันวิจัยยาง เป็นหน่วยงานหลักในการค้นคว้าวิจัย และพัฒนายางพารารวมทั้งการประสานงานระหว่างประเทศกับหน่วยงานที่เกี่ยวข้อง จึงรวบรวมข้อมูลผลการค้นคว้าวิจัย และพัฒนาอย่างต่อเนื่องทั้งด้านการผลิตยาง เศรษฐกิจและการตลาดการแปรรูปยางอุตสาหกรรมผลิตยาง อุตสาหกรรมไม้ยาง ตลอดจนการควบคุมพระราชบัญญัติ และหน่วยงานที่เกี่ยวข้องกับยางพาราทั้งในประเทศ และองค์การยางระหว่างประเทศ การควบคุมการซื้อขายยางพาราในประเทศ เป็นหน้าที่ของกรมวิชาการเกษตรโดยสถาบันวิจัยยางเป็นผู้กำหนดมาตรฐานยางพาราในการคัดแยกเกรดยางพาราแผ่นรมควันซึ่งยางพาราในประเทศไทยมีการแบ่งเกรดมาตรฐาน โดยกำหนดจากข้อบังคับตามพระราชบัญญัติควบคุมยาง พ.ศ. 2542 [1] โดยการคัดแยกเกรดยางพาราแผ่นรมควัน มีการแบ่งเกรดยางพาราแผ่นรมควัน 5 เกรด คือ ยางแผ่นรมควันชั้นที่ 1, ยางแผ่นรมควันชั้นที่ 2, ยางแผ่นรมควันชั้นที่ 3, ยางแผ่นรมควันชั้นที่ 4 และยางแผ่นรมควันชั้นที่ 5 ในขั้นตอนการคัดแยกเกรด จะเป็นเจ้าหน้าที่ของกรมวิชาการเกษตรโดยสถาบันวิจัยยาง เป็นหน่วยงานที่ทำกรอบรมให้ความรู้กับสถานประกอบการในวิธีการคัดแยกเกรด



รูปที่ 1 มาตรฐานเกรดยางพาราแผ่นรมควัน RSS 1, RSS 2, RSS 3, RSS 4 และ RSS 5



รูปที่ 2 กระบวนการแยกยางพาราแผ่นรมควันโดยใช้กำลังคน [2]

จากกระบวนการผลิตยางแผ่นดังรูปที่ 2 ในปัจจุบันขั้นตอนการคัดแยกเกรดยางพาราแผ่นรมควัน โดยการใช้สายตามนุษย์ในการคัดแยก คนที่จะคัดแยกได้ต้องได้รับการฝึกอบรม กับสถาบันวิจัยยาง อย่างน้อย 2-3 เดือนและต้องทดลองงานจริง จะเห็นได้ว่าคนที่จะสามารถคัดแยกเกรดยางพาราได้นั้นต้องเสียค่าใช้จ่ายและเวลาเพื่อฝึกอบรมจากเจ้าหน้าที่ ในการคัดแยกเกรดยางพาราแผ่นรมควัน และจากการที่ได้ลงสำรวจและเก็บข้อมูล สหกรณ์กองทุนสวนยางอำเภอบ่อทอง จำกัด 341 หมู่ 1 ตำบลบ่อทอง อำเภอบ่อทอง จังหวัดชลบุรี ซึ่ง ได้พบว่า การคัดแยกด้วยการใช้สายตาของมนุษย์มีโอกาสเกิดความผิดพลาดขึ้นได้สูง เนื่องจากช่วงสายตาของมนุษย์ในแต่ละคนไม่เท่ากัน และในปัจจุบันยังไม่มีเทคโนโลยีที่จะนำมาใช้ทดแทนผู้เชี่ยวชาญในการแบ่งเกรดยางพาราแผ่นรมควัน

ด้วยเหตุนี้ ผู้ทำวิจัยจึงเห็นปัญหาที่เกิดขึ้นจึงทำการคิดค้นเครื่องมือเพื่อช่วยในการคัดแยกเกรดยางพาราแผ่นรมควันที่สามารถคัดแยกให้ได้ตรงกับมาตรฐานยางพาราแผ่นรมควันของกรมวิชาการเกษตร โดยสถาบันวิจัยยาง

2. วัตถุประสงค์

1. เพื่อศึกษาเทคนิคการคัดแยกเกรดมาตรฐานยางพาราแผ่นรมควัน
2. เพื่อศึกษาการใช้ข้อมูลภาพ และเทคนิคการประมวลผลทางภาพมาช่วยในการคัดแยกเกรดมาตรฐานยางพาราแผ่นรมควัน

3. อุปกรณ์และวิธีการ

การออกแบบชุดอุปกรณ์คัดแยกเกรดมาตรฐานยางพาราแผ่นรมควัน มีวัตถุประสงค์ของการออกแบบคือในกระบวนการตรวจสอบมียางแผ่นจำนวนมาก ที่มีความแตกต่างกันทางด้านสีของเนื้อยางแผ่น สามารถทำงานได้อย่างต่อเนื่องสัมพันธ์กันของทุกส่วนรวมถึงความหนา และน้ำหนักเบาเพื่อเป็นต้นแบบในการประยุกต์ใช้งานต่อไปด้วยเหตุนี้ คณะผู้วิจัยได้เลือกใช้โครงสร้างแบบปิดเพราะจะสามารถควบคุมปริมาณแสงได้อย่างที่ ซึ่งเครื่องคัดแยกเกรดมาตรฐานยางพาราแผ่นรมควัน นี้เป็นเครื่องต้นแบบที่ออกแบบเพื่อนำไปสู่การพัฒนาเป็นเครื่องจักรกลในการคัดแยกเกรดมาตรฐานยางพาราแผ่นรมควัน แบบอัตโนมัติต่อไป



รูปที่ 3 โครงสร้างเครื่องมือเก็บภาพระบบปิด

3.1 ภาพ (Image)

ขนาดภาพที่นำมาวิเคราะห์ 1280x720 pixel ใช้กล้องเว็บแคมเป็นตัวเก็บข้อมูลภาพของแผ่นยางพารารมควัน จำนวน 145 ภาพ จากการสุ่มจากเตาอบรมควันที่ขนาด 30 ตัน หนึ่งในเตาในการถ่ายภาพแผ่นยางพารารมควันจะทำการควบคุมปริมาณแสงอยู่ในช่วง 700-800 ลักซ์ โดยขนาดมาตรฐานยางพาราแผ่นรมควัน จากกรมวิชาการเกษตร คือ กว้าง 38-46 เซนติเมตร และความยาว 80-90 เซนติเมตรในการคัดเกรดของแผ่นยางพารารมควันจะไม่คำนึงถึงความชื้นและความหนาของยางพาราแผ่นรมควัน การแบ่งเกรดแผ่นยางพาราแผ่นรมควันแบ่งตามมาตรฐานกรมวิชาการงานเกษตรคือ มาตรฐานยางแผ่นรมควันชั้น 1, มาตรฐานยางแผ่นรมควันชั้น 2, มาตรฐานยางแผ่น

รมควันชั้น 3, มาตรฐานยางแผ่นรมควันชั้น 4, และมาตรฐานยางแผ่นรมควันชั้น 5

โดยหน่วยพื้นฐานของภาพ เรียกว่า จุดภาพ (pixel) โดยจุดภาพหมายถึง จุดภาพในรูปภาพที่รวมกันเป็นภาพชั้น มีตำแหน่งพิกัด (x, y) และค่าความเข้ม (intensity) ของภาพ



รูปที่ 4 ตัวอย่างยางพาราแผ่นรมควันแต่ละเกรด ตารางที่ 1 ตัวอย่างยางพาราแผ่นรมควันในแต่ละเกรด (แผ่น)

Grad	R	G	B	Gray
RSS1	10	10	10	10
RSS2	15	15	15	15
RSS3	50	50	50	50
RSS4	50	50	50	50
RSS5	20	20	20	20

โดยภาพที่นำมาวิเคราะห์ของงานวิจัยคือ ภาพระดับสีเทา (Grayscale Image) จะอยู่ในรูปแบบของความเข้มแสงในแต่ละจุดภาพ โดยจะมีระดับความเข้มสีเทาคือ 0-255 (8 bit) โดยสีด่างแทนด้วยค่าตัวเลข 255 สีขาวจะแทนด้วยค่าของตัวเลขคือ 0 รวมทั้งสิ้น 256 ระดับสี ถึงแม้ว่าภาพระดับสีเทามีความซับซ้อนมากกว่าภาพ ขาว - ดำ แต่ภาพระดับ สีเทา สามารถให้ข้อมูลได้กว้างขวางมากกว่า ภาพ ขาว - ดำ เนื่องจากภาพระดับสีเทาเกิดจากการแปลงภาพสีในระบบ RGB มาเป็นภาพระดับสีเทา โดยใช้สูตรทางคณิตศาสตร์ ดังสมการที่ (1)

$$\text{Gray} = 0.299 \times R + 0.587 \times G + 0.114 \times B \quad (1)$$

3.2 การสกัดคุณลักษณะพิเศษจากภาพ

การสกัดคุณลักษณะพิเศษจากภาพ (Feature Extraction) เป็นวิธีหาจุดเด่นของภาพ เพื่อลดขนาดข้อมูล (Dimension) ของภาพ สำหรับการวิเคราะห์โครงร่างของภาพจะอาศัยเมทริกซ์ที่เรียกว่า Gray-Tone Spatial-Dependence Matrices หรือ Gray-Level Co-Occurrence Matrices (GLCM) การคำนวณหาค่าลักษณะเด่นจากการวิเคราะห์โครงร่างพื้นผิวภาพ โดยการสกัดจากเมทริกซ์ที่ฟังก์ชัน Gray-Level Co-Occurrence Matrices (GLCM) ใน MATLAB เพื่อนับจำนวนความสัมพันธ์ที่เกิดขึ้น (occurrence) โดยการนับจำนวนคู่จุดภาพ ที่อยู่ใกล้กัน (Neighboring Cells) นับค่าในระดับแนวนอน (Horizontal) และระดับแนวตั้ง (Vertical) ของภาพ

ลำดับสถิติอันดับ 1 สามารถสกัดได้จากค่าของภาพต้นฉบับ (Original Image) ได้เลย โดยดูจากค่าความถี่และความเข้มข้นของฮิสโตแกรม โดยไม่ต้องคำนึงถึงความสัมพันธ์ ระหว่างจุดภาพใกล้เคียง การหาคุณลักษณะโครงร่างในแบบนี้ได้แก่การหาค่าของ Entropy ดังแสดงได้ดังสมการที่ 2

$$\text{Entropy} = - \sum_{i=0}^{N-1} \sum_{j=0}^{N-1} p(i,j) \log(p(i,j)) \quad (2)$$

การหาค่าคุณลักษณะโครงร่างในแบบ Autocorrelation เป็นการหาค่าความสัมพันธ์เชิงเส้นระหว่างขนาดของพื้นที่กับลักษณะของพื้นผิวโดยดูจากความเข้มข้นของพื้นผิวทั่วทั้งภาพ โดยคำนวณได้จากสมการที่ 3

$$\text{Autocorrelation} = \frac{\sum_{u=0}^N \sum_{v=0}^N I(u,v)I(u+x,v+y)}{\sum_{u=0}^N \sum_{v=0}^N I^2(u,v)} \quad (3)$$

ลำดับสถิติอันดับ 2 สามารถหาได้จาก เมทริกซ์ GLCM โดยดูจากค่าความเข้มระดับเทาที่ใกล้เคียงกันในตำแหน่งแต่ละจุดภาพโดยมีค่าคุณลักษณะโครงร่างที่หาได้ดังสมการดังต่อไปนี้

$$\text{Correlation} = \frac{\sum_{i=0}^{N-1} \sum_{j=0}^{N-1} (i-j)p(i,j) - \mu_x \mu_y}{\sigma_x \sigma_y} \quad (4)$$

$$\text{Cluster Shade} = \sum_{i=0}^{N-1} \sum_{j=0}^{N-1} \{i+j-\mu_x-\mu_y\}^3 \times P(i,j) \quad (5)$$

$$\text{Dissimilarity} = \sum_{i,j=0}^{N-1} P(i,j) |i-j| \quad (6)$$

$$\text{Homogeneity} = \sum_{i,j=0}^{N-1} \frac{P(i,j)}{1+|i-j|} \quad (7)$$

$$\text{Sum variance} = \sum_{i=2}^{2N_g} (i - (iP_{x+y}(i)))^2 P_{x+y}(i) \quad (8)$$

$$\text{Sum entropy} = - \sum_{i=2}^{2N_g} P_{x+y}(i) \log\{P_{x+y}(i)\} \quad (9)$$

$$\text{Difference entropy} = - \sum_{i=0}^{N_g-1} P_{x-y}(i) \log\{P_{x-y}(i)\} \quad (10)$$

$$\text{Information measure of correlation} = \frac{\text{Entropy} - H(X,Y)}{\max\{H(X), H(Y)\}} \quad (11)$$

j = ระดับสีเทาตั้งแต่ 0 ถึง 255 (พิกเซลใกล้เคียง)

i = ระดับสีเทาตั้งแต่ 0 ถึง 255 (พิกเซลอ้างอิง)

x = ตำแหน่งพิกเซลแถวที่ i

y = ตำแหน่งพิกเซลหลักที่ j

$N = N_g$ = จำนวนของระดับสีเทานับวัตถุที่สนใจ

$$P_x(i) = \sum_{j=0}^{N-1} P(i,j) \quad , \quad P_y(j) = \sum_{i=0}^{N-1} P(i,j)$$

$p(i,j)$ = ความน่าจะเป็นของพิกเซลตำแหน่งแถวที่ i และ ตำแหน่งหลักที่ j

σ_i = ความเบี่ยงเบนมาตรฐานค่าระดับสีเทาพิกเซลอ้างอิง

σ_j = ความเบี่ยงเบนมาตรฐานระดับสีเทาพิกเซลใกล้เคียง

σ_x, σ_y = ความเบี่ยงเบนมาตรฐานของ p_x และ p_y

μ_i = ค่าเฉลี่ยระดับสีเทาพิกเซลอ้างอิง

μ_j = ค่าเฉลี่ยระดับสีเทาพิกเซลใกล้เคียง

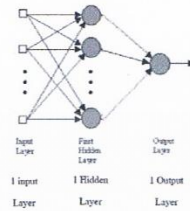
μ_x, μ_y = ค่าเฉลี่ยของ p_x และ p_y

HX, HY = ค่า entropy ของ p_x และ p_y

$$HXY_1 = \sum_i \sum_j P(i,j) \log\{P_x(i)P_y(j)\}$$

3.3 โครงข่ายประสาทเทียมเพื่อใช้ในการคัดแยก

โครงข่ายประสาทเทียม คือ แบบจำลองทางคณิตศาสตร์ที่พัฒนาขึ้นเพื่อจำลองการทำงานของโครงข่ายประสาทในสมองมนุษย์ โดยที่โครงข่ายประสาทของมนุษย์ประกอบด้วยเซลล์ประสาท (neuron) และจุดประสานประสาท หรือไซแนปส์ (synapses) โดยโครงสร้างของการส่งสัญญาณประสาท ประกอบจากการเชื่อมต่อระหว่างเซลล์ประสาทหลายพันล้านเซลล์ เซลล์ประสาทแต่ละเซลล์ประกอบด้วยแขนงรับสัญญาณประสาทซึ่งเป็นเสมือนหน่วยรับข้อมูลป้อนเข้า เรียกว่า เดนไดรต์ (dendrites) และส่วนปลายของเซลล์ประสาท ในการส่งสัญญาณประสาทซึ่งเป็นเสมือนหน่วยส่งข้อมูลออกของเซลล์ เรียกว่า แอคซอน (axon) โดยงานวิจัยนี้ใช้การแพร่ย้อนกลับ (back-propagation) การเรียนรู้แบบมีการควบคุม (Supervised Learning) ขึ้นต้นค่าน้ำหนัก ค่าความผิดพลาด จะถูกค่าน้ำหนักที่หน่วยประมวลผลทั้งหมด และค่าน้ำหนักที่เปลี่ยนของการเชื่อมต่อ การคำนวณนี้เริ่มที่ชั้นส่งข้อมูลออก และแพร่ย้อนกลับไปยังชั้นรับข้อมูลป้อนเข้า ชั้นปรับปรุงความผิดพลาด เกิดหลังจากที่ดำเนินการแพร่เดิหน้าแล้ว หน่วยประมวลผลแต่ละหน่วย ในชั้นส่งข้อมูลออกจะให้ค่าผลลัพธ์ที่ต้องนำมาเปรียบเทียบกับค่าผลลัพธ์เป้าหมาย ในชุดการสอน ความแตกต่างนั้นคือ ค่าความผิดพลาดสำหรับแต่ละหน่วยในชั้นส่งข้อมูลออก ซึ่งค่าน้ำหนักของการเชื่อมต่อไปยังชั้นส่งข้อมูลออก จะถูกปรับ จากนั้นค่าความผิดพลาด ของหน่วยในชั้นแอบแฝง จะถูกปรับเช่นกัน กระบวนการนี้จะดำเนินไปจนกระทั่งจะถึงชั้นรับข้อมูลป้อนเข้าค่าความผิดพลาด



รูปที่ 5 โครงสร้างโครงข่ายประสาทเทียม

ตารางที่ 2 กำหนดพารามิเตอร์ โครงข่ายประสาทเทียม

Neuron	20x18x5
Input layer	tansig
Hidden layer	tansig
Output layer	purelin
training function	trainrp
net.trainParam.epochs	1000
net.trainParam.show	10
net.trainParam.goal	1×10^{-5}

4. ผลการทดลอง

ในการทดลองใช้แผ่นยางพารารมควันจำนวน 145 แผ่น ทดลองผล ณ สหกรณ์กองทุนสวนยางอำเภอปอทอง จำกัด เป็นพื้นที่ต้นแบบในงานวิจัย ใช้ขนาดมาตรฐานยางพาราแผ่นรมควัน จากกรมวิชาการเกษตร [1] คือ กว้าง 38-46 เซนติเมตร และความยาว 80-90 เซนติเมตร ในการคิดเกรดของแผ่นยางพารารมควันจะไม่คำนึงถึง ความชื้นและความหนา ของยางพาราแผ่นรมควัน การแบ่งเกรดแผ่นยางพาราแผ่นรมควันแบ่งตามมาตรฐานกรมวิชาการงานเกษตรคือ มาตรฐานยางแผ่นรมควันชั้น 1, มาตรฐานยางแผ่นรมควันชั้น 2, มาตรฐานยางแผ่นรมควันชั้น 3, มาตรฐานยางแผ่นรมควันชั้น 4, และมาตรฐานยางแผ่นรมควันชั้น 5 ทดสอบในสภาพแวดล้อมแบบปิดเดียวกันโดยทำการควบคุมปริมาณแสงคงที่ กับภาพแม่แบบ ดึงคุณลักษณะเด่น 10 เครื่องมือคือ Autocorrelation, Correlation, Cluster Shade, Dissimilarity, Homogeneity, Entropy, Sum Variance, Sum

Entropy, Difference Entropy และ Information measure of correlation ผลผลการทดลองงานวิจัย ดัง ตารางที่ 3

ตารางที่ 3 ผลการทดลอง

ระดับ	อัตราความถูกต้องของการจำแนก%
R	88.90%
G	88.28%
B	91.72%
Gray	84.62%

5. บทสรุป

จากผลการทดสอบคัดแยกเกรตยงพาราแผ่นรมควีน โดยการประมวลผลด้วยภาพโดยใช้ คุณสมบัติของความใส, สิ่งสกปรก และความสม่ำเสมอของสีบนแผ่นยาง จากผลการทดสอบยาพาราแผ่นรมควีนตัวอย่าง 145 แผ่น แยกเป็นภาพระดับ R ได้ความถูกต้อง 88.90% , ระดับ G ได้ความถูกต้อง 88.28% , ระดับ B ได้ความถูกต้อง 91.72% และระดับ Gray ได้ความถูกต้อง 84.62% โดยระดับ R, G และ B ได้ความถูกต้องที่สูง อาจเนื่องจากการแยกเป็นแต่ละระดับสีทำให้ความซับซ้อนของแต่ละพิกเซลน้อยลง ส่งผลให้การเรียนรู้ของโครงข่ายประสาทเทียม ส่งผลให้ค่าความถูกต้องที่สูง ส่วนระดับ Gray ได้ความถูกต้องที่ต่ำ อาจเนื่องจากใช้ระดับ RGB จากนั้นแปลงเป็น Gray ทำให้มีความซับซ้อนของแต่ละพิกเซลสูง ส่งผลให้การเรียนรู้ของโครงข่ายประสาทเทียม ส่งผลให้ค่าความถูกต้องที่ต่ำ ซึ่งแนวทางในการพัฒนาจำเป็นต้องอาศัยหลักการต่างๆ เนื่องด้วยความซับซ้อนของแผ่นยาง และในแต่ละเกรตมีความใกล้เคียงกันมาก เพื่อให้การคัดแยกเหมาะสมกับงาน และเหมาะสมกับพื้นที่นั้นๆ ซึ่งผู้ทำการศึกษาปัญหานี้ได้เสนอแนวทางอีกหนึ่งแนวทางในการคัดแยกชั้นคุณภาพยางพาราแผ่นรมควีน

6. กิตติกรรมประกาศ

งานวิจัยนี้ขอขอบคุณ ทางสหกรณ์กองทุนสวนยางอำเภอบ่อทอง จำกัด 341 หมู่ 1 ตำบลบ่อทอง อำเภอบ่อทอง จังหวัดชลบุรี 20270 และผู้มีสวานเกี่ยวข้องที่

ให้ความอนุเคราะห์สำหรับการเก็บข้อมูล และทดลองผลและสิ่งที่น่าสนใจความสะอาดระหว่างการศึกษาปฏิบัติงานวิจัยในแต่ละขั้นตอนของงานวิจัยเป็นอย่างดี

7. เอกสารอ้างอิง

- [1] สถาบันวิจัยยางกรมวิชาการเกษตรข้อมูลวิชาการยางพารา. (2550). สืบค้นจาก : www.rubberthai.com (9 สิงหาคม 2557)
- [2] เก็บภาพจาก สหกรณ์กองทุนสวนยางอำเภอบ่อทอง จำกัด 341 หมู่ 1 ตำบลบ่อทอง อำเภอบ่อทอง จังหวัดชลบุรี 20270 สืบค้นจาก : <http://www.coopthai.com/bothongrubber/> (26 กันยายน 2557)
- [3] นายจิรายุทธ พัดประดิษฐ์ และนายธนศ สีโอเสวลักษณ์. (2553). เครื่องคัดขนาดคุณภาพผลสับปะรด ด้วยการประมวลผลภาพ ครุศาสตร์อุตสาหกรรมบัณฑิต สาขาวิศวกรรมเครื่องกล ภาควิชาครุศาสตร์เครื่องกล คณะครุศาสตร์อุตสาหกรรม มหาวิทยาลัยเทคโนโลยีพระจอมเกล้าพระนครเหนือ
- [4] นายปฐมพล พักทอง และนายพยง มีสัง. (2555). การค้นคืนข้อมูลพระเครื่องจากภาพดิจิทัลโดยเทคนิคการสกัดคุณลักษณะและวิธีเพื่อนบ้านใกล้สุด ภาควิชาเทคโนโลยีสารสนเทศ คณะเทคโนโลยีสารสนเทศ มหาวิทยาลัยเทคโนโลยีพระจอมเกล้าพระนครเหนือ
- [5] นายสิทธิโชค อุ้นแก้ว. (2550). การศึกษาวิธีการตรวจสอบราวขบวนผิวเนื้อยางแผ่น โดยใช้วิธีการประมวลผลภาพ ภาควิชาวิศวกรรมคอมพิวเตอร์ คณะวิศวกรรมศาสตร์ มหาวิทยาลัยสงขลานครินทร์ วิทยาเขตหาดใหญ่
- [6] นายปรัชญา บำรุงกุล. (2550). กูล ระบบคัดแยกคุณภาพยางพาราโดยการประมวลผลภาพ สาขาวิศวกรรมไฟฟ้า และสารสนเทศ คณะวิศวกรรมศาสตร์ มหาวิทยาลัยเทคโนโลยีพระจอมเกล้าธนบุรี
- [7] นายชาติรี กอบัวแก้ว. (2550). การจำแนกพระผงโดยการเปรียบเทียบลักษณะพิเศษ สาขาวิทยาการคอมพิวเตอร์ ภาควิชาคอมพิวเตอร์ มหาวิทยาลัยศิลปกร
- [8] ร้อยโท ปฐมพล พักทอง. (2553). การจำแนกพระเครื่องด้วยเทคนิคการสกัดคุณลักษณะเด่นแบบพื้นผิวโดยการ ใช้วิธี K-nearest neighbor ภาควิชา

- เทคโนโลยีสารสนเทศ คณะเทคโนโลยีสารสนเทศ
มหาวิทยาลัยเทคโนโลยีพระจอมเกล้าพระนครเหนือ
- [9] รศ.ดร.สมเกียรติ อุดมทรรษากุล การประมวลผล
ภาพดิจิทัลเบื้องต้น (Fundamentals of Digital
Image Processing) ครั้งที่พิมพ์ 1/2554
- [10] Alasdair McAndrew an Introduction to
Digital Image Processing with Matlab Notes for
SCM2511 Image Processing 1 School of
Computer Science and Mathematics
Victoria University of Technology
- [11] Howard Demuth and Mark Beale (2002).
Neural Network Toolbox for Use with MATLAB
- [12] De Matos, G. (1994). Neural Networks for
forecasting foreign exchange rates. M.Sc. thesis
Canada : University of Manitoba
- [13] Limin, F. (1994). Neural Networks in
Computer Intelligence. New York : Mcgraw-Hill.





การคัดแยกเกรดมาตรฐานยางพาราแผ่นรมควัน โดยใช้วิธีการประมวลผลด้วยภาพ

*วรุฒิ กิ่งหัน¹ มนูญศักดิ์ จานทอง²

¹ภาควิชาวิศวกรรมเครื่องกล คณะวิศวกรรมศาสตร์ มหาวิทยาลัยเทคโนโลยีราชมงคลธัญบุรี
ถนนรังสิต - นครนายก ตำบลคลองหก อำเภอธัญบุรี จังหวัดปทุมธานี 12110

²ภาควิชาวิศวกรรมเครื่องกล คณะวิศวกรรมศาสตร์ มหาวิทยาลัยเทคโนโลยีราชมงคลธัญบุรี
ถนนรังสิต - นครนายก ตำบลคลองหก อำเภอธัญบุรี จังหวัดปทุมธานี 12110

วรุฒิ กิ่งหัน E-mail : worawut.millcon2557@gmail.com มนูญศักดิ์ จานทอง E-mail : manusak.j@en.rmutt.ac.th

บทคัดย่อ

ในปัจจุบันยางพาราถือเป็นพืชเศรษฐกิจที่สำคัญอย่างหนึ่งของประเทศไทย เพื่อให้ได้มาซึ่งผลิตภัณฑ์ที่มีคุณภาพต้องผ่านกระบวนการผลิตในภาคอุตสาหกรรมในหลายขั้นตอน ในปัจจุบันขั้นตอนการคัดแยกเกรดยางพารา ยังไม่มีเทคโนโลยีใดที่จะนำมาใช้ทดแทนผู้เชี่ยวชาญในการแบ่งเกรดยางพาราแผ่นรมควัน ในการคัดแยกโดยใช้สายตาของมนุษย์มีโอกาสเกิดความผิดพลาดขึ้นได้สูง เนื่องจากช่วงสายตาของมนุษย์ในแต่ละบุคคลไม่เท่ากัน ผู้วิจัยจึงศึกษาการคัดแยกเกรดมาตรฐานยางพาราแผ่นรมควัน โดยนำเทคนิคการประมวลผลทางภาพมาช่วยในการคัดแยก โดยสกัดคุณลักษณะเด่น (Feature Extraction) จากการวิเคราะห์โครงร่างพื้นผิวภาพ โดยใช้วิธีเมทริกซ์ความสัมพันธ์ของระดับสีเทา GLCM : Gray-Level Co-Occurrence Matrices เพื่อเก็บค่าทางสถิติจากการวิเคราะห์โครงร่างพื้นผิวภาพ 10 รูปแบบ โดยใช้ระดับค่าสีเทาดั้งเดิม 1 สามารถสกัดได้จากค่าของภาพต้นฉบับ (original - image) โดยดูจากค่าความถี่ และความเข้มขั้นของฮิสโตแกรม โดยที่ไม่ต้องคำนึงถึงความสัมพันธ์ระหว่างจุดภาพใกล้เคียง คือรูปแบบ Autocorrelation และ Correlation และ ลำดับสีเทาดั้งเดิม 2 สามารถสกัดได้จากค่าเมทริกซ์ (GLCM) โดยดูจากค่าความเข้มระดับเทาที่ใกล้เคียงกันในตำแหน่งแต่ละจุดภาพโดยมีค่าคุณลักษณะโครงร่างที่ คือรูปแบบ Cluster Shade, Dissimilarity, Homogeneity, Entropy, Sum Variance, Sum Entropy, Difference Entropy และ Information measure of correlation จากนั้นใช้โมเดลโครงข่ายประสาทเทียมเป็นแบบแพร่กระจายย้อนกลับ (backpropagation neuron network) กำหนดพารามิเตอร์โครงสร้าง 20x18x5 ส่วน transfer function ใช้ 'tansig' 'purelin' และ training function ใช้ 'trainrp' โดยทุกโครงสร้างกำหนดจำนวนรอบเรียนรู้ (epochs) ไว้ที่ 1000 รอบ กำหนดเป้าหมายค่าความผิดพลาด (goal) ไว้ที่ 1×10^{-5} ในการประมวลผลเพื่อแยกเกรดยางพาราแผ่นรมควันในแต่ละเกรด

ผลการทดลองงานวิจัยนี้ใช้การเปรียบเทียบระดับในระบบ RGB เพื่อเปรียบเทียบความถูกต้องในการคัดแยกยางพาราแผ่นรมควันในแต่ละเกรด โดยใช้ตัวอย่างภาพยางพาราแผ่นรมควัน ขนาด 1280x720 พิกเซล จำนวน 145 ภาพ แยกเป็นภาพระดับ R ได้ความถูกต้อง 88.90%, ระดับ G ได้ความถูกต้อง 88.28%, ระดับ B ได้ความถูกต้อง 91.72% และระดับ Gray ได้ความถูกต้อง 84.62%

คำสำคัญ: ประมวลผลด้วยภาพ, เทคนิคการสกัดคุณลักษณะพื้นผิวเมทริกซ์สีเทา, โครงข่ายประสาทเทียม





สมาคมวิศวกรรมเกษตรแห่งประเทศไทย
THAI SOCIETY OF AGRICULTURAL ENGINEERING

Letter of Attendance

This is to certify that

Worawut KUNGHUN

has officially been presented (TPT14) in The 16th TSAE National Conference
and The 8th TSAE International Conference (TSAE 2015)

held at Bangkok International Trade and Exhibition Centre, Bangna, Bangkok Thailand

March 17-19, 2015

Dares Kitiyopas

Chair, Organizing Committee TSAE2015

ประวัติผู้เขียน

ชื่อ - นามสกุล	นายวรวุฒิ กิ่งหัน
วัน เดือน ปีเกิด	2 มีนาคม 2532
ที่อยู่	88 หมู่ที่ 5 ซ. 5 บ.ปงท่าข้าม ต.บ้านปง อ.สูงเม่น จ.แพร่ 54130
ประวัติการศึกษา	สำเร็จการศึกษาระดับ ครุศาสตร์อุตสาหกรรมบัณฑิต (คอบ.) สาขา วิศวกรรมเครื่องกล คณะ ครุศาสตร์อุตสาหกรรม มหาวิทยาลัยเทคโนโลยีพระจอมเกล้าพระนครเหนือ ปี พ.ศ.2554
ประวัติการทำงาน (ถ้ามี)	
พ.ศ. 2552-2554	เข้าร่วมชมรมติวเตอร์ วิชาคณิตศาสตร์และวิชาวิศวกรรม กับทาง สโมสรนักศึกษาและ ภาควิชาครุศาสตร์เครื่องกล ของ มหาวิทยาลัย เทคโนโลยีพระจอมเกล้าพระนครเหนือ ระดับ ปริญญาตรี
พ.ศ. 2553-2554	เข้าทำงานเป็นติวเตอร์ วิชาคณิตศาสตร์ และวิชาวิศวกรรม ใน โรงเรียนกวดวิชา Good Tutor ระดับ ปริญญาตรี โดยสอนนักศึกษา มหาวิทยาลัยเทคโนโลยีพระจอมเกล้าพระนครเหนือ
พ.ศ. 2554	ครูฝึกสอนโรงเรียนพระรามหกเทคโนโลยี แผนกเทคนิคพื้นฐาน
พ.ศ. 2555	เข้าทำงานเป็นติวเตอร์ วิชาคณิตศาสตร์ ในโรงเรียนกวดวิชา หมู น้อย ระดับ มัธยมศึกษาตอนต้นและมัธยมศึกษาตอนปลาย โดย สอนนักเรียน Gifted โรงเรียนมัธยมวัดสิงห์, โรงเรียนเทพศิรินทร์ นนทบุรี
พ.ศ. 2555-2556	บรรจุครูประจำแผนกช่างกลโรงงาน วิทยาลัยเทคโนโลยีกรุงธน
พ.ศ. 2557 - ปัจจุบัน	วิศวกร แผนกเครื่องกล บริษัท มิลล์คอน สตีล จำกัด (มหาชน) ครูพิเศษประจำแผนกช่างกลโรงงาน วิทยาลัยเทคโนโลยีกรุงธน